

สำนักหอสมุด มหาวิทยาลัยบูรพา  
ต.แสนสุข อ.เมือง จ.ชลบุรี 20131



## รายงานวิจัยฉบับสมบูรณ์

โครงการ : การผลิตคอนกรีตมวลอคชันด้วยน้ำหนักจากจีโอพอลิเมอร์จากถ่านหิน

(Utilization of fly ash-based geopolymers in hollow load-bearing concrete masonry blocks)

ผู้วิจัย

ผู้ช่วยศาสตราจารย์ ดร. วิเชียร ชาลี

ภาควิชาวิศวกรรมโยธา คณะวิศวกรรมศาสตร์ มหาวิทยาลัยบูรพา

A ๗ ๐๑๐๔๓๕๒  
- ๘ ม.ค. ๒๕๕๘  
๐๑ ๗ ๒ ๗ ๘ ๒  
๓ ๔ ๖ ๙ ๘ ๕

กันยายน พ.ศ. ๒๕๕๗

รัฐมนตรีกาว

- ๓ ก.ค. ๒๕๕๘

รหัสโครงการ 2557A10862004

## รายงานวิจัยฉบับสมบูรณ์

โครงการ : การผลิตคอนกรีตบล็อคชนิดรับน้ำหนักจากจีโอเพอลิเมอร์จากเก้า  
ถ่านหิน

(Utilization of fly ash-based geopolymers in hollow load-bearing concrete  
masonry blocks)

ผู้วิจัย

ผู้ช่วยศาสตราจารย์ ดร. วิเชียร ชาลี

ภาควิชาวิศวกรรมโยธา คณะวิศวกรรมศาสตร์ มหาวิทยาลัยบูรพา

ได้รับทุนสนับสนุนการวิจัยจาก สำนักบริหารโครงการวิจัยในอุดมศึกษาและพัฒนา  
มหาวิทยาลัยวิจัยแห่งชาติ สำนักคณะกรรมการการอุดมศึกษา ประจำปีงบประมาณ

พ.ศ. 2557

ทุนสนับสนุนการวิจัย สำนักบริหารโครงการวิจัยในอุดมศึกษาและพัฒนา มหาวิทยาลัยวิจัยแห่งชาติ  
สำนักคณะกรรมการการอุดมศึกษา ประจำปีงบประมาณ พ.ศ. 2557  
รายงานนวัตกรรมบันสมบูรณ์

ตามที่ นายวิเชียร ชาลี พนักงานมหาวิทยาลัย ตำแหน่งผู้ช่วยศาสตราจารย์ สำนักคณะกรรมการ  
วิศวกรรมโยธา คณะวิศวกรรมศาสตร์ มหาวิทยาลัยบูรพา ได้รับทุนอุดหนุนการวิจัย เรื่อง “การผลิต  
คอนกรีตบล็อกชนิดรับน้ำหนักจากถ่านหิน” จาก ทุนสนับสนุนการวิจัย สำนัก  
บริหารโครงการวิจัยในอุดมศึกษาและพัฒนา มหาวิทยาลัยวิจัยแห่งชาติ สำนักคณะกรรมการ  
อุดมศึกษา ประจำปีงบประมาณ พ.ศ. 2557 โดยมีงบประมาณทั้งโครงการ 360,000 บาท ขณะนี้ผล  
การดำเนินการวิจัยเสร็จล้วนเรียบร้อยแล้ว

รายละเอียดของโครงการวิจัย

ผู้เสนอ	:	นายวิเชียร ชาลี
หน่วยงาน	:	ภาควิชาวิศวกรรมโยธา คณะวิศวกรรมศาสตร์ มหาวิทยาลัยบูรพา
ระยะเวลาดำเนินการ	:	12 เดือน
งบประมาณ	:	360,000 บาท

## บทคัดย่อ

งานวิจัยนี้ศึกษาผลของปริมาณมวลรวม ความเข้มข้นของสารละลายนาโนโซเดียมไฮดรอกไซด์ ( $\text{NaOH}$ ) และอุณหภูมิบ่ำต่อกำลังอัด และการคุณค่าซึ่มน้ำของคอนกรีตบล็อกชนิดรับน้ำหนักจากจีโอพอลิเมอร์จากเด็ก้านหินโดยเตรียมจีโอพอลิเมอร์คอนกรีตบล็อกจากเด็ก้านหินแม่เม้าะ โซเดียมซิลิกาต ( $\text{Na}_2\text{SiO}_3$ ) และโซเดียมไฮดรอกไซด์ ( $\text{NaOH}$ ) ซึ่งกำหนดอัตราส่วนโดยโมลาร์ระหว่าง  $\text{SiO}_2/\text{Al}_2\text{O}_3$  คงที่ และใช้ความเข้มข้นของสารละลายนาโนโซเดียมไฮดรอกไซด์ เท่ากับ 12 14 16 และ 18 โมลาร์ ใช้หินผุนเป็นมวลรวมในส่วนผสมในอัตราส่วน เด็ก้านหิน:หินผุน เท่ากับ 1:4 (S) 1:6 (M) และ 1:8 (L) โดยน้ำหนักเตรียมจีโอพอลิเมอร์คอนกรีตบล็อกโดยใช้เครื่องอัดชนิดซินว่า-แรน หลังจากนั้นบ่มจีโอพอลิเมอร์คอนกรีตบล็อกในอากาศที่อุณหภูมิห้องและที่อุณหภูมิ  $65^{\circ}\text{C}$  เป็นเวลา 24 ชม. และบ่มต่อเนื่องที่อุณหภูมิห้องจนถึงอายุทดสอบ ทำการทดสอบกำลังอัดของคอนกรีตบล็อกที่อายุ 7 14 และ 28 วัน ตลอดจนทดสอบการคุณค่าซึมน้ำในจีโอพอลิเมอร์คอนกรีตบล็อกที่อายุทดสอบ 28 วัน

ผลการศึกษาพบว่า เมื่อความเข้มข้นของ  $\text{NaOH}$  และอุณหภูมิบ่ำต่ำสูงขึ้น ส่งผลให้กำลังอัดของจีโอพอลิเมอร์คอนกรีตบล็อกมากขึ้น การคุณค่าซึมน้ำในจีโอพอลิเมอร์บล็อกลดลงเมื่อกำลังอัดสูงขึ้น ปริมาณมวลรวมในส่วนผสมจีโอพอลิเมอร์คอนกรีตบล็อกที่มากขึ้นไม่เกินปริมาณ M (เด็ก้านหิน:หินผุน เท่ากับ 1:6) ให้กำลังอัดสูงขึ้น อย่างไรก็ตาม กำลังอัดมีแนวโน้มลดลงเมื่อใช้มวลรวมในส่วนผสมสูงถึงปริมาณ L (เด็ก้านหิน:หินผุน เท่ากับ 1:8) นอกจากนั้นพบว่า อุณหภูมิบ่ำต่ำสูงขึ้นมีประสิทธิภาพต่อการเพิ่มกำลังอัดของจีโอพอลิเมอร์คอนกรีตบล็อกในกลุ่มที่ใช้ความเข้มข้นของ  $\text{NaOH}$  ต่ำ มากกว่าความเข้มข้นของ  $\text{NaOH}$  สูง

**คำสำคัญ :** เด็ก้านหิน, จีโอพอลิเมอร์, คอนกรีตบล็อกรับน้ำหนัก, กำลังอัด, ความเข้มข้นของสารละลายนาโนโซเดียมไฮดรอกไซด์ ( $\text{NaOH}$ )

## Abstract

This research aimed to study the effect of aggregate content, sodium hydroxide (NaOH) concentrations and curing temperature on compressive strength and water absorption of geopolymers concrete masonry block. The geopolymers concrete block were prepared from Mae Moh fly ash with sodium silicate ( $\text{Na}_2\text{SiO}_3$ ) and sodium hydroxide (NaOH) solutions. The molar ratio of  $\text{SiO}_2/\text{Al}_2\text{O}_3$  was kept constant and concentration of NaOH was varied at 12, 14, 16, and 18 molar. The ratio of 1:4 (S), 1:6 (M) and 1:8 (L) by weight of fly ash : dust limestone were used as a aggregate. The geopolymers concrete block were prepared by using the Cinva-Ram machine. The samples were air cured at room temperature and  $65^\circ\text{C}$  for 24 hours and continuous curing until the age test in air. The geopolymers concrete block was tested for compressive strength at 7, 14, and 28 days air cure. In addition, water absorption of geopolymers concrete block was tested at 28 days.

The results showed that the compressive strength of geopolymers concrete block increase with the increase in NaOH concentration and curing temperature. The water absorption of geopolymers concrete block is low with the concrete of high compressive strength. An increase in amount of aggregate as high as M (the ratio of 1:6 by weight of fly ash : dust limestone) result in increased compressive strength; however, the compressive strength was found to decrease when using high amount of aggregate L (the ratio of 1:8 by weight of fly ash : dust limestone). In addition, high temperature curing has more effective on increasing of compressive strength in geopolymers concrete block with lower NaOH concentration than that with higher NaOH concentration.

**Keyword:** Fly ash, Geopolymer, Load-bearing concrete masonry blocks, Compressive strength, Sodium hydroxide concentration

## กิตติกรรมประกาศ

ผู้วิจัยขอขอบคุณ ทุนสนับสนุนการวิจัย สำนักบริหาร โครงการวิจัยในอุดมศึกษาและพัฒนามหาวิทยาลัยวิจัยแห่งชาติ สำนักคณะกรรมการการอุดมศึกษา ประจำปีงบประมาณ พ.ศ. 2557 ที่สนับสนุนทุนในการทำวิจัย ขอขอบคุณภาควิชาศึกษาศาสตร์ มหาวิทยาลัยบูรพาที่ให้ความสำคัญด้านเครื่องมือและห้องปฏิบัติการ เจ้าหน้าที่ธุรการ และช่างเทคนิคประจำภาควิชาศึกษาศาสตร์ มหาวิทยาลัยบูรพาทุกท่าน ที่ช่วยประสานงานและช่วยเหลือเป็นอย่างดี

สุดท้ายนี้ผู้วิจัยหวังเป็นอย่างยิ่งว่าผลงานวิจัยขึ้นนี้ จะเป็นฐานข้อมูลในการพัฒนาวัสดุจีโอโอลิเมอร์ เพื่อนำไปใช้ในงานก่อสร้างอย่างเป็นรูปธรรมมากขึ้น ตลอดจนเป็นการส่งเสริมการนำวัสดุเหลือทิ้งจากผลผลิตทางอุตสาหกรรมไปสร้างมูลค่า โดยใช้ให้เกิดประโยชน์ในอุตสาหกรรมก่อสร้าง ซึ่งเป็นการลดมลภาวะต่อสิ่งแวดล้อมและช่วยลดปัญหาโลกร้อนได้อีกด้วย

## สารบัญ

<b>เรื่อง</b>		<b>หน้า</b>
<b>บทคัดย่อภาษาไทย</b>		<b>๔</b>
<b>บทคัดย่อภาษาอังกฤษ</b>		<b>๕</b>
<b>กิตติกรรมประกาศ</b>		<b>๖</b>
<b>สารบัญ</b>		<b>๗</b>
<b>รายการตาราง</b>		<b>๘</b>
<b>รายการรูปประกอบ</b>		<b>๙</b>
 <b>บทที่ 1 บทนำ</b>		 <b>1</b>
1.1 ที่มาและความสำคัญของปัญหา		1
1.2 วัตถุประสงค์		2
1.3 ขอบเขตงานวิจัย		2
1.4 ประโยชน์ที่คาดว่าจะได้รับ		3
 <b>บทที่ 2 ทฤษฎีและงานวิจัยที่เกี่ยวข้อง</b>		 <b>4</b>
2.1 จีโอโพลิเมอร์		4
2.2 วัสดุป้องโชลน		7
2.3 เถ้าถ่านหิน		8
2.4 โซเดียมไฮดรอกไซด์		9
2.5 โซเดียมซิลิกา		10
2.6 คอนกรีตบล็อก		11
2.7 งานวิจัยที่เกี่ยวข้อง		23
 <b>บทที่ 3 วิธีการศึกษา</b>		 <b>27</b>
3.1 วัสดุที่ใช้ในการทดสอบ		27
3.2 อุปกรณ์และเครื่องมือทดสอบ		27
3.3 การเตรียมตัวอย่างทดสอบ		28
3.4 การทดสอบตัวอย่างจีโอโพลิเมอร์คอนกรีตบล็อก		30

## สารบัญ (ต่อ)

เรื่อง	หน้า
<b>บทที่ 4 ผลการศึกษาและการวิเคราะห์ผล</b>	<b>33</b>
4.1 สมบัติของวัสดุทดสอบ	33
4.2 กำลังอัดของจีโอพอลิเมอร์คอนกรีตบล็อก	35
4.3 การดูดซึมน้ำของจีโอพอลิเมอร์คอนกรีตบล็อก	48
<b>บทที่ 5 สรุปผลการวิจัยและข้อเสนอแนะ</b>	<b>51</b>
5.1 สรุปผลการวิจัย	51
5.2 ข้อเสนอแนะ	51
<b>เอกสารอ้างอิง</b>	<b>52</b>
<b>ภาคผนวก ก ผลผลิต (Output)</b>	<b>55</b>
<b>ภาคผนวก ข รายงานการเงิน</b>	<b>74</b>
<b>ภาคผนวก ค ประวัตินักวิจัย</b>	<b>76</b>

## รายการตาราง

ตาราง	หน้า
2.1 การเปรียบเทียบการสังเคราะห์ชีโอลิตและจีโอลิเมอร์	5
2.2 ขนาดของคอนกรีตบล็อกไม้รับน้ำหนัก	16
2.3 ความหนาของเปลือกและผนังกันไฟรง	18
2.4 ขนาดของคอนกรีตบล็อครับน้ำหนัก	18
2.5 ความต้านทานแรงอัดและการดูดซึมน้ำ	20
2.6 ความชื้น (เฉพาะคอนกรีตบล็อกไม้รับน้ำหนักประเภทควบคุมความชื้น)	20
3.1 ส่วนผสมจีโอลิเมอร์คอนกรีตบล็อก	29
4.1 องค์ประกอบทางเคมีของถ่านหิน	34
4.2 กำลังอัดของจีโอลิเมอร์คอนกรีตบล็อก	36

## รายการรูปประกอบ

รูป	หน้า
2.1 การเกิดสารจีโอลิเมอร์	5
2.2 โครงสร้างของสารจีโอลิเมอร์หรือโพลิไซอะเลต	7
2.3 ดีแทคบล็อก	12
2.4 ดีแทคบล็อกชนิดชาโดยว็บล็อก	13
2.5 การใช้อินเตอร์ล็อกกิ้งบล็อก	14
2.6 ถักยอนและขนาดของอินเตอร์ล็อกกิ้งบล็อก	15
3.1 อุปกรณ์และเครื่องมือทดสอบ	27
3.2 การอัดจีโอลิเมอร์คอนกรีตบล็อก โดยใช้เครื่องอัดชนิดชิน华เรน	30
3.3 การเตรียมตัวอย่างจีโอลิเมอร์คอนกรีตบล็อกเพื่อทดสอบกำลังอัด	31
3.4 การเตรียมตัวอย่างจีโอลิเมอร์คอนกรีตบล็อกเพื่อทดสอบการดูดซึมน้ำ	32
4.1 ภาพถ่ายข่ายของถ่าถ่านหินแม่เมะ	34
4.2 ความสัมพันธ์ระหว่างกำลังอัดและอายุบ่มจีโอลิเมอร์คอนกรีตบล็อก จากถ่าถ่านหินที่บ่มในอุณหภูมิห้อง	38
4.3 ความสัมพันธ์ระหว่างกำลังอัดและอายุบ่มจีโอลิเมอร์คอนกรีตบล็อกจาก ถ่าถ่านหินที่บ่มในอุณหภูมิ $65^{\circ}\text{C}$ .	39
4.4 ผลของความเข้มข้นของสารละลายโซเดียมไฮดรอกไซด์ต่อกำลังอัดของจีโอลิเมอร์ คอนกรีตบล็อกที่อายุ 7 วัน	41
4.5 ผลของความเข้มข้นของสารละลายโซเดียมไฮดรอกไซด์ต่อกำลังอัดของจีโอลิเมอร์ คอนกรีตบล็อกที่อายุ 28 วัน	42
4.6 ผลของปริมาณมวลรวมต่อกำลังอัดของจีโอลิเมอร์คอนกรีตบล็อกที่อายุ 28 วัน	44
4.7 ผลของอุณหภูมิบ่มต่อกำลังอัดของจีโอลิเมอร์คอนกรีตบล็อกที่อายุ 7 วัน	46
4.8 ผลของอุณหภูมิบ่มต่อกำลังอัดของจีโอลิเมอร์คอนกรีตบล็อกที่อายุ 28 วัน	48
4.9 ผลของความเข้มข้นของสารละลายโซเดียมไฮดรอกไซด์ต่อประสิทธิภาพของอุณหภูมิ บ่มในจีโอลิเมอร์คอนกรีตบล็อกที่ใช้มวลรวมปริมาณ S ที่อายุ 7 และ 28 วัน	48
4.10 ผลของความเข้มข้นของสารละลายโซเดียมไฮดรอกไซด์ต่อการดูดซึมน้ำใน จีโอลิเมอร์คอนกรีตบล็อกที่อายุ 28 วัน	50

## บทที่ 1

### บทนำ

#### 1.1 ที่มาและความสำคัญของปัจจุบัน

ตอนกรีตบล็อกเป็นวัสดุก่อที่ทำจากปูนซีเมนต์ผสมกับทราย หินขนาดเล็ก และน้ำ ผสมให้เข้ากันดี แล้วอัดในแบบเหล็กให้แน่นและบ่มในอากาศจนมีความแข็งตัวพอที่จะนำไปใช้ในการก่อสร้างได้ ตอนกรีตบล็อกมีทั้งแบบรับน้ำหนัก (load-bearing concrete masonry blocks) และไม่รับน้ำหนัก (concrete masonry blocks) ซึ่งมาตรฐานของสำนักงานมาตรฐานผลิตภัณฑ์อุตสาหกรรมของกระทรวงอุตสาหกรรม (มอก. 57-2533) ได้กำหนดให้ตอนกรีตบล็อกชนิดรับน้ำหนักต้องสามารถรับน้ำหนักได้ไม่ต่ำกว่า  $110 \text{ กก}/\text{ซม}^2$  ส่วนตอนกรีตบล็อกชนิดไม่รับน้ำหนักได้ไม่ต่ำกว่า  $25 \text{ กก}/\text{ซม}^2$  การใช้งานตอนกรีตบล็อกในอุตสาหกรรมก่อสร้างมีมากขึ้น เนื่องจากเป็นวัสดุก่อที่ก่อสร้างได้ง่าย โดยตอนกรีตบล็อกชนิดรับน้ำหนักสามารถรับน้ำหนักบรรทุกได้ในระดับหนึ่งเท่านั้น ดังนั้น การก่อสร้างใช้งานจึงเหมาะสมกับอาคารหรือสิ่งก่อสร้างขนาดเล็ก ซึ่งไม่มีความซับซ้อนของการรับแรงเชิงกลของโครงสร้าง

แนวคิดของการผลิตตอนกรีตโดยไม่ใช้ปูนซีเมนต์เป็นส่วนผสม เริ่มจากการใช้สารปอชโซลานที่ประกอบด้วยซิลิกาและอะลูมินาเป็นหลัก เมื่อผสมกับด่างอัลคาไล่ครอคไชด์ สารละลายโซเดียมซิลิกेट และเร่งปฏิกิริยาด้วยความร้อน สามารถก่อตัวและแข็งตัวให้มีกำลังรับแรงได้ สามารถใช้เป็นวัสดุเชื่อมประสานเช่นเดียวกับซีเมนต์เพสต์ (Davidovits, 1991; Rattanasak *et al.*, 2009 ; Chindaprasirt *et al.*, 2009) ซึ่งสารจีโอพอลิเมอร์จะใช้หลักการของการทำปฏิกิริยาของซิลิกาและอะลูมินา ให้เป็นโมเลกุลลูกโซ่ในลักษณะของพอลิเมอร์ โดยการทำปฏิกิริยาลูกโซ่ที่เกิดจากซิลิกอนและอะลูมิเนียมจะใช้สารละลายที่เป็นด่างสูง โดยใช้ความร้อนเป็นตัวกระตุ้น จะได้สารซีเมนต์ที่สามารถรับกำลังได้ และปัจจุบันพบว่า วัสดุจีโอพอลิเมอร์สามารถทำปฏิกิริยาสมบูรณ์ได้ในอุณหภูมิปกติ (Ambient Temperature) โดยไม่ต้องใช้ความร้อนในการช่วยเร่งปฏิกิริยาอีกด้วยไป (Davidovits, 1991) โดยงานวิจัยที่ผ่านมา (Huajun *et al.*, 2013 ; Gum Sung Ryu *et al.*, 2013 ; Anurag *et al.*, 2008 ; Chindaprasirt *et al.*, 2009) ได้ศึกษาถึงปัจจัยต่างๆ ที่มีผลต่อสมบัติเชิงกลของวัสดุจีโอพอลิเมอร์ เช่น ลักษณะของการบ่ม ความเข้มข้นของด่าง และชนิดของวัสดุปอชโซลาน เป็นต้น ซึ่งผลการศึกษาโดยภาพรวม พบว่า การใช้ด่างที่มีความเข้มข้นสูงขึ้นสามารถชะลอเชิงกลและการอุดมจากวัสดุปอชโซลานได้ดี และส่งผลต่อสมบัติเชิงกลของวัสดุจีโอพอลิเมอร์ที่ดีขึ้น ตลอดจน

การบ่มวัสดุจีโอพอลิเมอร์ในอุณหภูมิที่สูงขึ้นไม่เกิน  $90^{\circ}\text{C}$  เป็นเวลาไม่เกิน 48 ชม. ก็ส่งผลดีต่อการรับแรงเชิงกลของวัสดุจีโอพอลิเมอร์อีกด้วย

สำหรับประเทศไทยยังไม่มีการใช้งานคอนกรีตที่ใช้จีโอพอลิเมอร์เป็นวัสดุประسانในอุตสาหกรรมก่อสร้าง ทั้งนี้เนื่องจากขาดความมั่นใจในการนำมาใช้งาน เพราะมีฐานข้อมูลที่ได้จากการศึกษาวิจัยที่น้อยเกินไป และยังไม่เกิดปัญหาดัดแปลงปูนซีเมนต์อย่างไรก็ตามแนวการส่งเสริมเพื่อให้เกิดการใช้งานอย่างจริงจังในอุตสาหกรรมก่อสร้าง ควรเริ่มจากการศึกษาข้อมูลที่เป็นการสนับสนุนและเพิ่มความมั่นใจในการใช้งานให้มากขึ้น โดยเริ่มจากการใช้งานก่อสร้างคอนกรีตที่มีความซับซ้อนไม่นัก และมีลักษณะการรับแรงเชิงกลที่ไม่เสี่ยงต่อการวินาศัยและก่อให้เกิดอันตราย เช่น คอนกรีตล็อกหรือวัสดุงานก่อผนังหรือโครงสร้างง่ายๆ เป็นต้น ดังนั้นการศึกษาระดับนี้ จึงมีวัตถุประสงค์เพื่อศึกษาการผลิตจีโอพอลิเมอร์คอนกรีตบล็อกชนิดรับน้ำหนักน้ำหนัก (load-bearing concrete masonry blocks) จากวัสดุจีโอพอลิเมอร์จากถ่านหิน โดยไม่ใช้ปูนซีเมนต์เป็นส่วนผสมแต่ได้ใช้ถ่านหินที่เป็นผลผลิตโดยได้จากการเผาถ่านหินในโรงงานผลิตไฟฟ้าในการทำวัสดุประسانแทน โดยมุ่งประเด็นไปที่ผลของปริมาณของมวลรวมของยาบ อุณหภูมิที่ใช้บ่มและความเข้มข้นของโซเดียมไออกไซด์ต่อกำลังรับแรงอัด และการดูดซึมน้ำในจีโอพอลิเมอร์คอนกรีตบล็อก เพื่อเพิ่มฐานข้อมูลการวิจัยที่น่าเชื่อถือประกอบการใช้งานให้มั่นใจยิ่งขึ้น

## 1.2 วัตถุประสงค์

งานวิจัยนี้ศึกษาการผลิตคอนกรีตบล็อกชนิดรับน้ำหนักจากวัสดุจีโอพอลิเมอร์จากถ่านหินโดยมีวัตถุประสงค์ดังนี้

- 1) ศึกษาผลของการบ่มของยาบ โซเดียมไออกไซด์ต่อการพัฒนากำลังอัด ความหนาแน่น และการดูดซึมน้ำในจีโอพอลิเมอร์คอนกรีตบล็อกที่ใช้จีโอพอลิเมอร์เพสต์จากถ่านหินเป็นวัสดุประسان
- 2) ศึกษาผลของปริมาณของมวลรวมของยาบ ต่อคุณสมบัติของจีโอพอลิเมอร์คอนกรีตบล็อกที่ใช้จีโอพอลิเมอร์เพสต์จากถ่านหินเป็นวัสดุประسان
- 3) ศึกษาผลของการบ่มของยาบ โซเดียมไออกไซด์ต่อคุณสมบัติของจีโอพอลิเมอร์คอนกรีตบล็อกที่ใช้จีโอพอลิเมอร์เพสต์จากถ่านหินเป็นวัสดุประسان

## 1.3 ขอบเขตงานวิจัย

งานวิจัยนี้ได้ศึกษาการผลิตจีโอพอลิเมอร์คอนกรีตบล็อกชนิดรับน้ำหนักจากวัสดุจีโอพอลิเมอร์จากถ่านหิน โดยทำการทดสอบกำลังอัด ความหนาแน่น และการดูดซึมน้ำโดยเตรียมจีโอพอลิเมอร์เพสต์จากถ่านหินแม่เมาะ โซเดียมชิลิกเกต ( $\text{Na}_2\text{SiO}_3$ ) และโซเดียมไออกไซด์ ( $\text{NaOH}$ ) ซึ่งกำหนดอัตราส่วนระหว่าง  $\text{Si}/\text{Al}$  คงที่ และใช้ความเข้มข้นของสารละลายโซเดียมไออกไซด์เท่ากับ

12, 14, 16 และ 18 มิลาร์ และใช้หินฝุ่นเป็นมวลรวมแทนที่ในสัดส่วนที่ต่างกัน 3 ขนาด โดยใช้อัตราส่วน เถ้าถ่านหิน:หินฝุ่น เท่ากับ 1:4, 1:6 และ 1:8 โดยน้ำหนัก โดยมีส่วนผสมทั้งหมด 12 ส่วนผสม หลังจากนั้น ทำการอัดจีโอพอลิเมอร์คอนกรีตบล็อกในเครื่องอัดคอนกรีตบล็อก โดยจะบ่มจีโอพอลิเมอร์คอนกรีตบล็อกในอุณหภูมิ 65 °C เป็นเวลา 24 ชม. จากนั้นใช้พลาสติกใสพันรอบไว้และบ่มที่อุณหภูมิห้องจนถึงอาบุกทดสอบ ในการศึกษาจะทดสอบกำลังอัดความหนาแน่น ที่อายุ 7, 14, และ 28 วัน ตลอดจนทดสอบการดูดซึมน้ำที่อายุ 28 วัน

#### 1.4 ประโยชน์ที่คาดว่าจะได้รับ

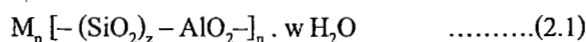
ได้ทราบถึงอัตราส่วนผสมที่เหมาะสมในการผลิตจีโอพอลิเมอร์คอนกรีตบล็อกชนิดรับน้ำหนักจากถ่านหิน เพื่อให้ได้คอนกรีตบล็อกที่มีกำลังอัดสูง การดูดซึมน้ำต่ำ และความหนาแน่นต่ำ ตลอดจนสามารถใช้เป็นข้อมูลพื้นฐานในการผลิตคอนกรีตบล็อก โดยไม่ใช้ปูนซีเมนต์ให้สามารถใช้งานได้จริงในอุตสาหกรรมก่อสร้าง

## บทที่ 2

### ทฤษฎีและงานวิจัยที่เกี่ยวข้อง

#### 2.1 จีโอโพลิเมอร์

สารจีโอโพลิเมอร์เป็นวัสดุเชื่อมประสาน ทำจากสารปอชโซลานที่ประกอบด้วยซิลิกาและอะลูมิเนียมเป็นหลัก เมื่อผสมกับด่างอัลคาไลอัครอกไซด์ สารละลายโซเดียมซิลิกेट และเร่งปฏิกิริยาด้วยความร้อน สามารถก่อตัวและแข็งตัวให้มีกำลังรับแรงได้ สามารถใช้เป็นวัสดุเชื่อมประสาน เช่นเดียวกับซีเมนต์เพสต์สารปอชโซลานที่นิยมใช้กันได้แก่ เถ้าถ่านหิน และดินขาวเผา ซึ่งสารจีโอโพลิเมอร์จะใช้หลักการของการทำปฏิกิริยาของซิลิกา (Si) และอะลูมิเนียม (Al) ให้เป็นโมเลกุลลูกโซ่ดังในสมการที่ (2.1) โดยการทำปฏิกิริยาลูกโซ่ที่เกิดจากซิลิกอนและอะลูมิเนียมจะใช้สารละลายที่เป็นด่างสูง โดยใช้ความร้อนเป็นตัวกระตุ้น จะได้สารซีเมนต์ที่สามารถรับกำลังได้ (Davidovits, 1991; Rattanasak *et al.*, 2009 ; Chindaprasirt *et al.*, 2009)

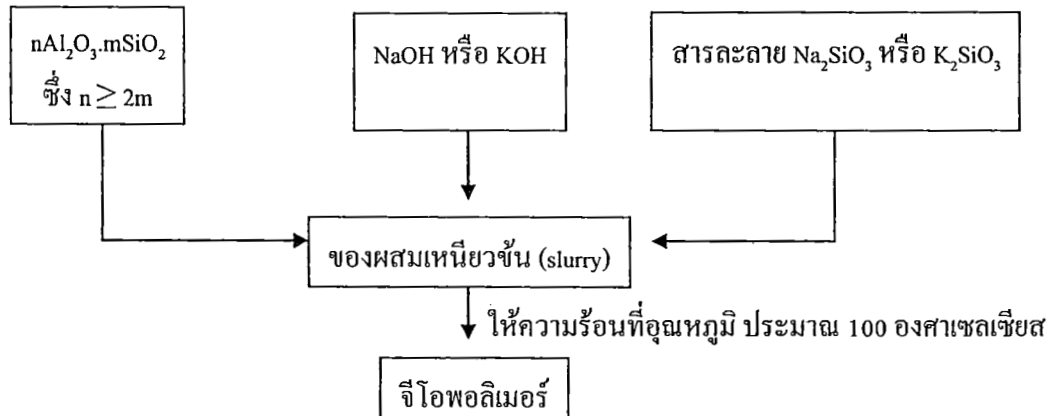


โดยที่	M	คือ ธาตุอัลคาไล
	-	คือ การยึดเกาะพื้นที่
	z	คือ จำนวนโมเลกุลของ Si – O <sub>2</sub> เท่ากับ 1, 2 หรือ 3
	n	คือ หน่วยซ้ำของโมเลกุลลูกโซ่
	w	คือ จำนวนโมเลกุลของน้ำ

#### 2.1.1 โครงสร้างที่เป็นไปได้ของจีโอโพลิเมอร์

สารจีโอโพลิเมอร์เกิดจากการก่อตัวโดยปฏิกิริยาที่ไม่รุนแรงทำให้องค์ประกอบของซิลิกา ( $SiO_2$ ) และอะลูมินา ( $Al_2O_3$ ) รวมตัวกัน และสารประกอบอื่นที่เนื้อยต่อปฏิกิริยาเกิดการอัดตัวทำให้เกิดความแข็งแรงกล้ายกับการก่อตัวและการแข็งตัวของซีเมนต์เพสต์ การเกิดแคลเซียมซิลิกेटไ索เดรต ( $CaO \cdot 2SiO_2 \cdot 3H_2O$ ) ปกติสารจีโอโพลิเมอร์มีโครงสร้างแบบล็อก (Block) ที่เป็นหน่วยทรงเหลี่ยมสี่หน้า (Tetrahedral) ของ  $AlO_4$  และ  $SiO_4$  ดังแสดงในรูปที่ 2.1 สารประกอบที่ใช้ทำจีโอโพลิเมอร์ไม่จำเป็นต้องผ่านการเผาที่อุณหภูมิสูงมากเหมือนกับปูนซีเมนต์จึงทำให้ลดการใช้พลังงานลงไปมาก และทำให้ลดต้นทุนในการผลิต

### ปฏิกริยาจีโอโพลิเมอไรเซชัน



รูปที่ 2.1 การเกิดสารจีโอโพลิเมอร์ (อุบลลักษณ์ รัตนศักดิ์ และคณะ, 2549)

ปฏิกริยาทางเคมีของจีโอโพลิเมอร์จะใกล้เคียงกับการสังเคราะห์โซไลต์ (Zeolite) แต่ผลิตภัณฑ์ที่ได้จะมีองค์ประกอบทางเคมีและโครงสร้างที่แตกต่างกัน แต่พบว่าการสังเคราะห์จีโอไลต์จะใช้อุณหภูมิสูงกว่าจีโอโพลิเมอร์มาก และให้โครงสร้างที่เป็นผลึกอีกทั้งให้คุณสมบัติเชิงกลที่ดี ดังตารางที่ 2.1 แสดงการเปรียบเทียบการสังเคราะห์โซไลต์และจีโอโพลิเมอร์

ตารางที่ 2.1 การเปรียบเทียบการสังเคราะห์โซไลต์และจีโอโพลิเมอร์

	การสังเคราะห์โซไลต์	ปฏิกริยาจีโอโพลิเมอไรเซชัน
สารตั้งต้น	สารละลายนซิงชั่อน Al + สารละลายนซิงชั่อน Si	วัสดุที่มี Al-Si เป็นส่วนประกอบ + สารละลายนอลาย + ชิคลิก
ปฏิกริยาช่วงเริ่มต้น	การเกิดนิวเคลียส (nucleation) ใน สารละลายน	การซะของแข็งที่ Al-Si เป็น <sup>ส่วนประกอบของมาสู่เพสต์</sup>
ปฏิกริยาช่วงปลาย	การโตขึ้นของผลึกในสารละลายน	การแพร่และควบแน่นของสาร ซิงชั่อน Al และ Si ที่จะออกมานใน เพสต์
อุณหภูมิที่ทำปฏิกริยา	90 - 300 องศาเซลเซียส	อุณหภูมิปกติ
ช่วงความเป็นกรด-เบส	6 - 11	14

ผลิตภัณฑ์ที่ได้	ซีโอไอลิตที่เป็นผลึก	ของผสมของเจลและวัสดุที่ Al-Si เป็นส่วนประกอบ
องค์ประกอบทางเคมี	มีสูตรปริมาณสารสัมพันธ์ที่แน่นอน	มีสูตรปริมาณสารสัมพันธ์ที่ไม่แน่นอน
โครงสร้าง	ผลึกที่มีเอกลักษณ์เฉพาะตัว (unique crystal)	ของผสมของเฟลเจลแบบสัมฐาน และกั่งสัมฐาน และวัสดุที่มี Al-Si เป็นส่วนประกอบ
ความแข็งแรงเชิงกล	ต่ำ	สูง

### 2.1.2 ปฏิกิริยาจีโอโพลิเมอร์

สารจีโอโพลิเมอร์เป็นสารจำพวกอลูมิโนซิลิเกต (aluminosilicate) ที่มีรูบปรรณสัมฐาน แน่นอนเป็นส่วนประกอบของสารลักษณะสัมฐาน (amorphous) และสารกึ่งผลึก (semi-crystalline) สารดังต่อไปนี้ในการทำจีโอโพลิเมอร์จะเป็นสารประกอบที่มีอลูมินาและซิลิเกตที่ว่องไวต่อการทำปฏิกิริยา เมื่อผสมสารละลายนอกอัลคาไลสามารถทำปฏิกิริยาที่อุณหภูมิปกติหรือสูงกว่า และก่อตัวและให้กำลังรับแรงได้ดีปฏิกิริยานี้ทำให้เกิดความร้อนเข่นเดียวกับปฏิกิริยาของปูนซีเมนต์กันน้ำปฏิกิริยาของจีโอโพลิเมอร์สามารถแบ่งได้เป็น 2 ชั้น (Davidovits, 1991)

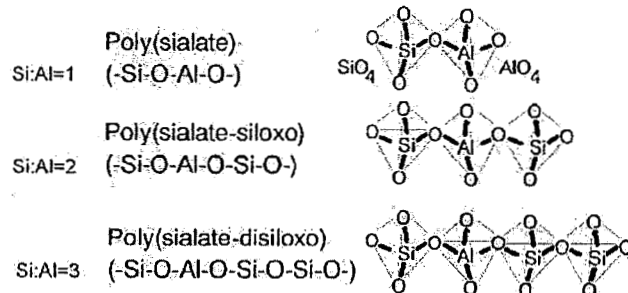
#### 2.1.2.1 การละลาย (dissolution)

เดาต่านหินมีผู้ผสมกับสารละลายน้ำที่มีความเป็นด่างสูง เช่นโซเดียมไฮดรอกไซด์จะเกิดการละลายของสารประกอบต่างๆ โดยอัลูมิเนียม ( $Al$ ) และซิลิคอน ( $Si$ ) จะถูกละลายออกมากเนื่องจากเป็นสารหลัก เมื่อเกิดการละลายมากขึ้นส่วนหนึ่งของเดาต่านหินจะถูกทำลายที่ผิวทำให้เกิดเป็นช่องที่ผิวและสารละลายน้ำเข้าไปทำปฏิกิริยาได้ง่ายขึ้น

#### 2.1.2.2 การทำปฏิกิริยาลูกโซ่ (polymerization)

ผลผลิตของปฏิกิริยาบีogg ต้นเป็นหน่วยปิรามิดสามเหลี่ยมคลื่นด้านของ  $Si^{4+}$  และ  $Al^{3+}$  ที่เกิดโดยอัลูมิเนียม 4 แยมกับออกซิเจน หน่วยเหล่านี้จะกระจายตัวอยู่ในลักษณะของโพลิเมอร์ที่เชื่อมขวางกัน ในช่วงต้นจะได้หน่วยที่กึ่งเสถียร (meta-stable) ซึ่งจะมีปริมาณ  $Al$  สูง เมื่อเกิดปฏิกิริยามากขึ้นหน่วยดังกล่าวจะเปลี่ยนไปเป็นหน่วยที่มี  $Si$  มากขึ้น [8] โครงสร้างหลักจะประกอบไปด้วยหน่วยปิรามิดสามเหลี่ยมคลื่นด้านเท่ากันสอง สาม และสี่หน่วยได้แก่โพลิไซอะเลต (polysialate, PS) โพลิไซอะเลตไซโลกโซ (Polysialate disiloxo , PSDS ) ตามลำดับดังแสดงใน

รูปที่ 2.2 ปริมาณของ  $\text{SiO}_4$  เพิ่งขึ้นจากหนึ่งเป็นสามหน่วยเมื่อปฏิกิริยาเกิดมากขึ้น การเชื่อม โยงของโพลิเมอร์ที่เชื่อม โยงทางกันก็จะเกิดมากขึ้นและหนาแน่นขึ้นทำให้เกิดโครงสร้างที่แน่นและสามารถรับแรงได้



รูปที่ 2.2 โครงสร้างของสารจีโอโพลิเมอร์หรือโพลิไซอะเลต (Davidovits, 1991)

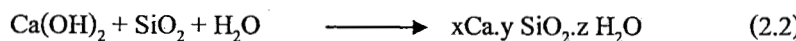
## 2.2 วัสดุปอชโซลาน (บะญญา จินดาประเสริฐ และชัย ชาตรุพิทักษ์กุล, 2547)

วัสดุปอชโซลาน (Pozzolan) เป็นวัสดุที่ประกอบด้วยออกไซด์ของซิลิกา (Siliceous) หรือซิลิกาและอลูมินา (Siliceous and Aluminous) เป็นองค์ประกอบหลัก โดยทั่วไปแล้ววัสดุปอชโซลานมีคุณสมบัติของวัสดุประสานน้อยมากหรือไม่มีเลย แต่เมื่อมีความละเอียดที่เหมาะสมและมีความชื้นที่เพียงพอจะสามารถทำปฏิกิริยากับด่างหรือแคลเซียมไฮดรอกไซด์ ( $\text{Ca}(\text{OH})_2$ ) ทำให้ได้สารประกอบที่มีคุณสมบัติในการยึดประสานได้ดี คล้ายกับปูนซีเมนต์เรียกปฏิกิริยาที่เกิดขึ้นนี้ว่า ปฏิกิริยาปอชโซลาน (Pozzolanic Reaction) วัสดุปอชโซลานที่มีอยู่ในปัจจุบันแบ่งได้ 2 ประเภท ใหญ่ ๆ คือ วัสดุปอชโซลันธรรมชาติ (Natural Pozzolan) ซึ่งเกิดจากกระบวนการตามธรรมชาติ เช่น เถ้าภูเขาไฟ และดินขาว (Matakaolin) เป็นต้น ส่วนอีกประเภทหนึ่ง คือ วัสดุปอชโซลันสังเคราะห์ (Artificial Pozzolan) ซึ่งส่วนใหญ่เป็นวัสดุผลิตได้จากการบดในงานอุตสาหกรรม เช่น ซิลิกาฟูน เถ้าถ่านหิน เท้าแกลง และตะกรันเตาถุงเหล็ก เป็นต้น เถ้าถ่านหินเป็นวัสดุปอชโซลันที่มีการใช้งานในเชิงพาณิชย์อย่างแพร่หลายในปัจจุบัน เพื่อแทนที่ปูนซีเมนต์ปอร์ตแลนด์บางส่วน เพื่อให้เป็นวัสดุประสานในงานคอนกรีต ซึ่งในประเทศไทยเถ้าถ่านหินจากโรงไฟฟ้าแม่مهame มีคุณภาพที่ดี เมื่อจากมีอนุภาคที่กลมคัน มีความละเอียดโดยไม่ต้องผ่านกระบวนการดักก่อนนำมาใช้งาน ซึ่งจะทำให้เกิดความประยัดค์ในงานก่อสร้าง

ปฏิกิริยาปอชโซลาน (pozzolanic reaction) เป็นปฏิกิริยาที่เกิดขึ้นภายหลังจากการทำปฏิกิริยาไชเดรชันของปูนซีเมนต์กับน้ำ โดยใช้แคลเซียมไฮดรอกไซด์ ( $\text{Ca}(\text{OH})_2$ ) ที่เกิดจากปฏิกิริยาไชเดรชันเป็นสารตั้งต้นทำปฏิกิริยาร่วมกับซิลิกอนไดออกไซด์ ( $\text{SiO}_2$ ) และอลูมินาไครออกไซด์ ( $\text{Al}_2\text{O}_3$ ) ในวัสดุปอชโซลาน ผลตัวผลที่ได้จากปฏิกิริยาปอชโซลาน คือ แคลเซียมซิลิกेटไชเดรต (C-S-H) และแคลเซียมอลูมิเนียมไชเดรต (C-A-H) ที่ทำให้กำลังอัดของคอนกรีตเพิ่มขึ้น

และลดช่องว่างระหว่างอนุภาคของปูนซีเมนต์ลง ทำให้คุณค่าต่ำมีเนื้อแน่นขึ้น ปฏิกิริยาปอชโซลานนี้จะเริ่มเกิดขึ้นเมื่ออายุประมาณ 7 วัน และทำปฏิกิริยาต่อไปเรื่อยๆ แม้ว่าคุณค่าต่ำมีอายุมากกว่า 3 ปีครึ่งก็ตาม การศึกษาที่ผ่านมาได้มีการใช้วัสดุปอชโซลานแทนที่ปูนซีเมนต์บางส่วนในงานคุณค่าต่ำ ซึ่งส่งผลให้คุณค่าต่ำมีคุณสมบัติด้านความคงทนที่ดีขึ้น ซึ่งมีการพัฒนาอย่างต่อเนื่อง จนสามารถใช้งานได้จริงในเชิงพาณิชย์ได้ โดยวัสดุปอชโซลานที่นิยมใช้งานมากในปัจจุบันได้แก่ เถ้าถ่านหิน และชิลิก้าฟูน อย่างไรก็ตามวัสดุประสานดังกล่าวยังจำเป็นต้องใช้ปูนซีเมนต์ปอร์ตแลนด์เป็นส่วนผสมอยู่

### ปฏิกิริยาปอชโซลานเกิดขึ้นดังสมการที่ 2.2 และ 2.3



ค่า x, y และ z จากสมการที่ 2.2 และ 2.3 จะเปลี่ยนไปตามชนิดของแคลเซียมชิลิกेट ไฮเดรต และแคลเซียมอลูมิเนต ไฮเดรต ซึ่งสมการที่ 2.2 เป็นการทำปฏิกิริยากันระหว่างแคลเซียมไฮดรอกไซด์กับออกไซด์ของชิลิกาทำให้ได้สารประกอบใหม่ คือ แคลเซียมชิลิกेट ไฮเดรต และสมการที่ 2.3 เป็นการทำปฏิกิริยากันระหว่างแคลเซียมไฮดรอกไซด์กับออกไซด์ของอลูมินาทำให้ได้สารประกอบใหม่ คือ แคลเซียมอลูมิเนต ไฮเดรต ซึ่งสารประกอบทั้งสองชนิดนี้ให้กำลังกับคุณค่าต่ำหรือมอร์ตาร์ตัวร์ เพราะมีคุณสมบัติในการยึดประสาน

### 2.3 เถ้าถ่านหิน (ปริญญา จิตาประเสริฐ และ อรุณ พิทักษ์กุล, 2547)

เถ้าถ่านหิน (Fly ash) เป็นผลพลอยได้จากการเผาไหม้ถ่านหินในโรงงานผลิตกระแสไฟฟ้า ในปัจจุบัน โรงไฟฟ้าแม่مه้า การไฟฟ้าฝ่ายผลิตแห่งประเทศไทย (กฟผ.) เมื่อเดือนเครื่องเติ่มที่จะใช้ถ่านหินลิกไนต์ จำกัดเมืองลิกไนต์แม่مه้า จังหวัดลำปาง ประมาณวันละ 40,000 ตัน เป็นเชื้อเพลิงในการผลิตกระแสไฟฟ้า การเผาถ่านหินลิกไนต์ที่โรงไฟฟ้าแม่مه้า การเผาถ่านหินจะใช้อุณหภูมิประมาณ 900-1000 °C โดยถ้าถ่านหินลิกไนต์จะมีลักษณะเป็นฝุ่นลอยปนกับไก๊ชาร้อน ซึ่งสามารถดักจับได้ด้วยเครื่องดักจับฝุ่นไฟฟ้าสถิต (Electrostatic Precipitator) โดยทำการแยกฝุ่นออกจากไก๊ชาร้อนก่อนปล่อยจากปล่องควัน ส่วนเถ้าถ่านเตาเกิดจากอนุภาคเล็กๆ ประทัศกันเองหรือประทัศกันผนังเตา แล้วหลอมติดกันเป็นอนุภาคขนาดใหญ่ เรียกว่าตะกรัน (Slag) เมื่อน้ำหนักมากขึ้นตะกรันจะหล่นลงมาสู่ก้นเตาจึงเรียกว่า เถ้าก้นเตา (Bottom ash)

#### 2.3.1 ชนิดของเถ้าถ่านหิน

ASTM C618 ได้แบ่งชนิดของเถ้าถ่านหินออกตามองค์ประกอบทางเคมีเป็น 2 ชนิด คือ Class F และ Class C โดย Class F จะประกอบด้วย ชิลิก้า ( $\text{SiO}_2$ ) อลูมิเน่ ( $\text{Al}_2\text{O}_3$ ) และ เหล็ก ( $\text{FeO}_3$ ) รวมกันไม่น้อยกว่าร้อยละ 70 ของน้ำหนัก ส่วน Class C ประกอบด้วย ชิลิก้า ( $\text{SiO}_2$ ) อลูมิเน่ ( $\text{Al}_2\text{O}_3$ ) และ เหล็ก ( $\text{FeO}_3$ ) รวมกันไม่น้อยกว่าร้อยละ 50 ของน้ำหนัก แต่ไม่เกินร้อยละ 70 ของ

น้ำหนัก นอกจากนี้ยังมีข้อกำหนดอื่น ๆ ที่เหมือนกันทั้ง Class F และ Class C คือ มีปริมาณ ซัลเฟอร์ไตรออกไซด์ ( $\text{SO}_3$ ) ไม่เกินร้อยละ 5 ของน้ำหนัก มีความชื้นไม่เกินร้อยละ 3 ของน้ำหนัก มีค่าการสูญเสียน้ำหนักเนื่องจากการเผา (Loss on Ignition , LOI) ไม่เกินร้อยละ 6 ของน้ำหนักแต่ถ้าเป็น Class F อนุโลมให้มีค่าการสูญเสียน้ำหนักเนื่องจากการเผาไม่เกินร้อยละ 12 ของน้ำหนัก มีปริมาณอนุภาคที่ค้างบนตะแกรงมาตรฐานเบอร์ 325 (ขนาดช่องเปิด 45 ไมโครเมตร) ไม่เกินร้อยละ 34 ของน้ำหนักทั้งหมด มีดัชนีกำลังหรือร้อยละกำลังอัดเมื่อแทนที่ปูนซีเมนต์ด้วยวัสดุปอชโซลาน ในอัตราส่วนร้อยละ 20 โดยน้ำหนักวัสดุประสานที่อายุ 7 หรือ 28 วัน ไม่น้อยกว่าร้อยละ 75 ของกำลังอัดมอร์ต้าร์ควบคุม (ใช้ปูนซีเมนต์เป็นวัสดุประสานทั้งหมด) และมีความต้องการน้ำไม่เกินร้อยละ 105 ของมอร์ต้าร์ควบคุม แต่เนื่องจากถ้าถ่านหินที่ทึบแล้วมีคุณภาพที่ไม่แน่นอนเป็นอย่างมาก ซึ่งขึ้นอยู่กับชนิดของถ่านหินที่นำมาทึบ สถานที่จัดทึบบางแห่งอาจทึบในเย็นน้ำหรือทึบแบบแห้งในที่โล่ง นอกจากนี้ถ้าถ่านหินที่ทึบแล้วอาจมีสิ่งเจือปนได้ง่ายเพระคิดว่าถ้าถ่านหินที่ทึบแล้วไม่สามารถนำมาใช้ประโยชน์อะไรได้อีก เช่น โรงไฟฟ้าแม่مهาน้ำผลพลอยได้จากการตักจับก้าวซัลเฟอร์ไตรออกไซด์มาทึบรวมกับถ่านหิน ส่วนถ้าถ่านหินมีลักษณะการเกิดเช่นเดียวกับถ้าถ่านหินแต่ไม่มีขนาดใหญ่กว่ามาก ดังนั้นการนำถ้าถ่านหินมาใช้เป็นวัสดุปอชโซลานโดยตรงจึงไม่เหมาะสม เพราะถ้าถ่านหินมีขนาดใหญ่ทำให้มีพื้นที่ผิวในการทำปฏิกิริยาปอชโซลานได้น้อยอีกทั้งมีรูพรุนสูงทำให้มีความต้องการน้ำมากขึ้นด้วย

### 2.3.2 ความถ่วงจำเพาะ

ความถ่วงจำเพาะ (ด.พ.) ของถ้าถ่านหินสามารถวัดได้โดยการทดสอบเช่นเดียวกับปูนซีเมนต์ตามมาตรฐาน ASTM C 188 ถ้าถ่านหินมีความถ่วงจำเพาะ ประมาณ 1.9 - 2.9 ซึ่งต่ำกว่าความถ่วงจำเพาะของปูนซีเมนต์ปอร์ตแลนด์ ความถ่วงจำเพาะของถ้าถ่านหินที่สูงส่วนใหญ่มาจากการถ่านหินที่มีรากเหล็กและแคลเซียมออกไซด์ผสมอยู่มาก ความถ่วงจำเพาะของถ้าถ่านหินที่ได้จากการเผาครั้งเดียวกันขึ้นอยู่กับความละเอียด ถ้าถ่านหินส่วนละเอียดจะมีความถ่วงจำเพาะสูงกว่าถ้าถ่านหินส่วนที่หยาบ ทั้งนี้เนื่องจากถ้าถ่านหินหยาบจะมีผิวชุรุยะเป็นรูโพรงและยังมีถ้าถ่านหินกลวงผสมอยู่มากกว่าถ้าถ่านหินละเอียด

## 2.4 โซเดียมไฮดรอกไซด์

โซเดียมไฮดรอกไซด์ (Sodium hydroxide) หรือ โซดาไฟ (Caustic soda) เป็นสารเคมีที่มีฤทธิ์เป็นค่างแก่ ที่ละลายได้ในน้ำ ประกอบด้วยโซเดียม และเบสไฮดรอกไซด์ มีลักษณะเป็นของแข็ง (ในรูปแบบผง เกล็ด เป็นแท่งหรือ เม็ดกลม) ขาว ไม่มีกลิ่น ดูดความชื้นและคาร์บอนไดออกไซด์ในอากาศ มีจุดหลอมเหลวอยู่ที่ 318 องศาเซลเซียส ผลิตได้จากการกระบวนการแยกสารทางไฟฟ้า (Electrolysis) ของน้ำเกลือ และเป็นสารเคมีที่ใช้ทั่วไปในห้องปฏิบัติการ และใช้

ในอุตสาหกรรมเคมี เช่น อุตสาหกรรมการผลิตเยื่อกระดาษ สมูทและผลิตภัณฑ์ซักฟอก เคมีภัณฑ์ทำความสะอาด โรงกลั่นน้ำมัน อุตสาหกรรมโลหะ อาหาร เส้นใยเรยอน สิ่งทอ ใช้ในการฟอกย้อม ล้างสีไหม และช่างเจียระไนพลอยก์ให้ในขั้นตอนล้างเม็ดพลอยที่เจียระไนเสร็จแล้ว นอกจากนั้นยังใช้ปรับสภาพน้ำทึบที่มีมุกทึบเป็นครด ให้เป็นกลางก่อนปล่อยสู่แหล่งน้ำธรรมชาติอีกด้วย

โซเดียมไฮดรอกไซด์มีคุณสมบัติเป็นสารไอออนิก ประกอบด้วย  $\text{Na}^+$  (sodium cation) และ  $\text{OH}^-$  (hydroxide anion) โดย  $\text{OH}^-$  จะทำให้มีคุณสมบัติเป็นเบสแก่ เมื่อทำปฏิกิริยากับกรดแล้วจะได้ผลิตภัณฑ์ที่เป็นเกลือ และน้ำ เอนทาลปีของกระแสลาย,  $\Delta H^\circ$  หรือความร้อนที่ได้จากการกระแสลายมีค่าเท่ากับ  $-44.45 \text{ kJ/mol}$

ถึงแม้ว่าโซดาไฟเป็นสารไม่คิดไฟ แต่ถ้าสัมผัสกับสารบางชนิด เช่นกรดเข้มข้น หรือทำปฏิกิริยาอย่างรุนแรงกับน้ำ จะทำให้เกิดปฏิกิริยาเคมีกันจนเกิดความร้อนพอเพียงและทำให้สารที่วางอยู่ใกล้ลูกติดไฟได้ การดับเพลิงจึงต้องดูสารที่เป็นคู่ปฏิกิริยาและใช้เครื่องดับเพลิงให้ถูกต้อง การเก็บ ดูแลรักษา และใช้งานควรอยู่ในภาชนะที่กันน้ำปิดสนิทมิดชิดในที่ยืน หลีกเลี่ยงการสัมผัสโดยตรง ควรจัดให้มีอุปกรณ์ป้องกัน เช่น หน้ากาก แวนนิรภัย ถุงมือ ชุดคลุมหัวตัว รองเท้าบู๊ต และจัดให้มีฝักบัวล้างตาหรือล้างด้าอยู่ใกล้เคียงบริเวณที่ทำงาน

## 2.5 โซเดียมซิลิเกต

โซเดียมซิลิเกต (Sodium Silicate) หรือที่รู้จักกันในชื่อ "น้ำแก้ว หรือ น้ำขาว" ในรูปที่ 2.5 เป็นสารประกอบไปด้วย โซเดียมออกไซด์, ซิลิกา และน้ำ ผสมกันอยู่ในอัตราส่วนต่าง ๆ กัน และสารเคมีตัวนี้เป็นน้ำยาบ่มคอนกรีตชนิด โซเดียม ซิลิเกต สามารถแทรกซึมบนพื้นผิวของคอนกรีต และปูนปนได้เป็นอย่างดี หน้าที่ลูก กำหนดให้มาทำปฏิกิริยากับหินปูน ส่วนที่เหลือจากปฏิกิริยาไฮโดรชั่นอีกรึหนึ่ง จึงทำให้พิวน้ำของคอนกรีตแข็งขึ้น ลดรูพรุนที่เกิดจากน้ำในคอนกรีตที่ระยะยาวลงมาได้

### 2.5.1 กระบวนการผลิตโซเดียมซิลิเกต

เริ่มจากการนำเอาโซดาแอ็อกบับซิลิกามาหลอมให้เป็นน้ำแก้วที่อุณหภูมิ 1200 องศาเซลเซียส แล้วทำให้เย็นตัวเป็นก้อนแก้วแล้วนำไปเข้า เครื่องบ่มอัตโนมัติ เพื่อละลายอีกรึหนึ่ง ให้กลาญเป็นน้ำแก้ว สัดส่วนของโซเดียม กับซิลิกาจะบ่งบอกถึงคุณสมบัติของ โซเดียมซิลิเกต ถ้าทำให้สัดส่วนใกล้กันมากเราจะได้เป็นผลึกของของแข็งที่เรียกว่า โซเดียมเมตาซิลิเกต

### 2.5.2 ประโยชน์ของโซเดียมซิลิเกต

โซเดียมซิลิเกตมีประโยชน์มากสำหรับอุตสาหกรรมผงซักฟอก อุตสาหกรรมก่อสร้าง และกำลังมีบทบาทในฐานะเป็นตัวเชื่อมและทำให้เกิดโครงสร้างของพวงกีโตกันเมอร์ที่ไม่จำเป็นต้องเผาสูงเหมือนการผลิตเซรามิก สำหรับในอุตสาหกรรมเซรามิกถือว่าเป็นสัดส่วนที่น้อยมากๆ

เพียงกับการใช้งานในอุตสาหกรรมอื่นๆ เราอาจไว้ใช้สำหรับเป็นตัวช่วยกระจายโดยตัว เป็นตัวเชื่อมประสานสำหรับการค่ออิฐเตา เป็นเครื่องไสสำหรับผลิตภัณฑ์ที่ต้องการความมันแบบไม่มากนัก เป็นแค่ปีกผิวทางๆ

## 2.6 คอนกรีตบล็อก

### 2.6.1 ลักษณะทั่วไปของคอนกรีตบล็อก

โดยทั่วไปแล้วคอนกรีตบล็อกเป็นวัสดุก่อที่ทำจากปูนซีเมนต์ผสมกับทราย หินเดือด ๆ และน้ำ แต่ในงานวิจัยของเราระงนี้ ได้ผลิตคอนกรีตบล็อกชนิดรับน้ำหนักจากจีโอลิเมอร์ จากส่วนผสมของถ่านหิน โซเดียมซิลิกेट โซเดียมไฮดรอกไซด์ และ หินฟูน มาตรฐานของสำนักงานมาตรฐานผลิตภัณฑ์อุตสาหกรรมของกระทรวงอุตสาหกรรมกำหนดรายละเอียดของคอนกรีตบล็อกแต่ละชนิด ไว้ดังนี้

มอก. 57-2516 เป็นข้อกำหนดเกี่ยวกับ คอนกรีตบล็อกรับน้ำหนัก

มอก. 58-2516 เป็นข้อกำหนดเกี่ยวกับ คอนกรีตบล็อกไม่รับน้ำหนัก

มอก. 59-2516 เป็นข้อกำหนดเกี่ยวกับ อิฐคอนกรีต

มอก. 60-2516 เป็นข้อกำหนดเกี่ยวกับ คอนกรีตบล็อกเชิงตันรับน้ำหนัก

### 2.6.2 ชนิดของคอนกรีตบล็อก

#### 2.6.2.1 คอนกรีตบล็อกที่เรียกตามชื่อสินค้า

คอนกรีตบล็อกมีบริษัทผลิตจำหน่ายในส่วนกลาง มีชื่อสินค้าต่างๆ กัน เช่น ชีแพคบล็อก ดีแทคบล็อก ดังตัวอย่าง ในรูปที่ 2.3

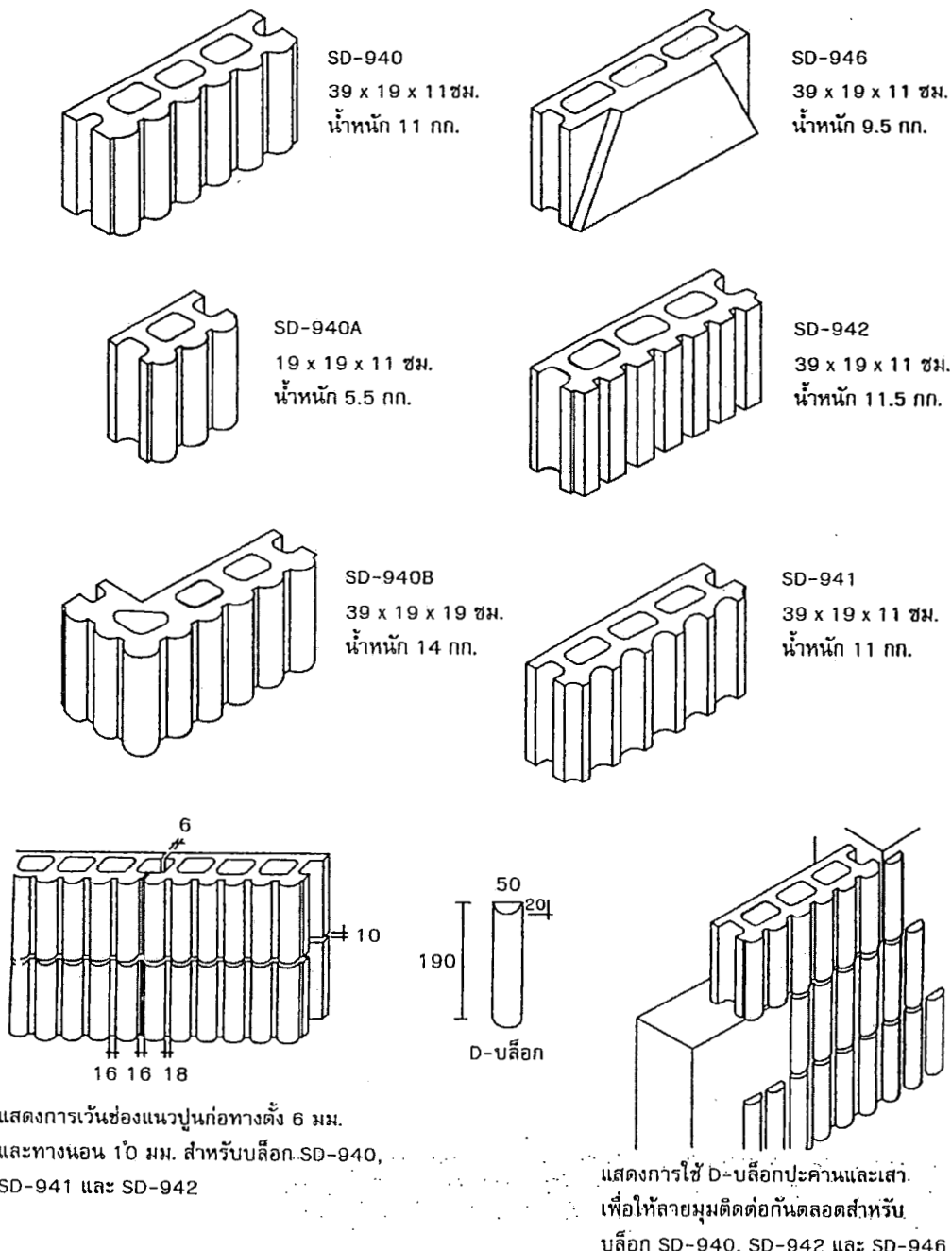
ขนาด 7 ซม. (3 หน้า)	ขนาด 9 ซม. (4 หน้า)	ขนาด 14 ซม. (6 หน้า)
BW 701 เมเนบล็อก 39 x 19 x 7 ซม. น้ำหนัก 7 กก.	BW 910 เมเนบล็อก 39 x 19 x 9 ซม. น้ำหนัก 6.5 กก.	BW 141 เมเนบล็อก 39 x 19 x 14 ซม. น้ำหนัก 13 กก.
BW 705 ยู-บล็อก 39 x 19 x 7 ซม. น้ำหนัก 7.5 กก.	BW 901 เมเนบล็อก 39 x 19 x 9 ซม. น้ำหนัก 8 กก.	BW 143 บล็อกมุน 39 x 19 x 14 ซม. น้ำหนัก 13.5 กก.
BW 702 1/2 บล็อก 19 x 19 x 7 ซม. น้ำหนัก 4 กก.	BW 903 บล็อกมุน 39 x 19 x 9 ซม. น้ำหนัก 8.5 กก.	BW 145 ยู-บล็อก 39 x 19 x 14 ซม. น้ำหนัก 13 กก.
	BW 915 ยู-บล็อก 39 x 19 x 9 ซม. น้ำหนัก 9.5 กก.	BW 142 1/2 บล็อก 19 x 19 x 14 ซม. น้ำหนัก 6 กก.
	BW 912 1/2 บล็อก 19 x 19 x 9 ซม. น้ำหนัก 4.5 กก.	BW 144 1/2 บล็อกมุน 19 x 19 x 14 ซม. น้ำหนัก 6.5 กก.

รูปที่ 2.3 ดีแทเก็บล็อก

ชาโคว์บล็อก เป็นผลิตภัณฑ์ใหม่ล่าสุด ซึ่งได้รับการมาจากการคิดค้นและพัฒนาเพื่อให้สามารถนำไปใช้ในการก่อสร้างทั่วไป สำหรับก่อกำแพงและตกแต่งเสริมเรียบร้อยไว้ในตัว ทำให้ประหยัดค่า ตกแต่งลงไปได้อีกมาก เหมาะกับการใช้ทั้งภายในและภายนอกอาคาร ชาโคว์บล็อกมีลักษณะเป็น ก้อนกรีต บล็อกที่มีผิวนานาจຸนขึ้นเป็นลวดลาย จากลวดลายนี้สามารถที่จะประسانลายขึ้นใหม่ได้ อีกอย่างครบถ้วนตามความประสงค์ของผู้ใช้ ลวดลายเหล่านี้เมื่อกระทบกับแสงแดด เงาที่ตกหอด อย่างสลับซับซ้อนจะก่อให้เกิดความสวยงามอย่างวิจิตรพิสดารยิ่งขึ้น

นอกจากนี้ ชาโคว์บล็อกยังมีคุณสมบัติพิเศษในการรับน้ำหนักได้ถึง 5,000 กิโลกรัมต่อ 1 ก้อน ดังนั้นจึงสามารถก่อเป็นกำแพงรับน้ำหนักได้โดยไม่ต้องมีเสา ทำให้ลวดลายของบล็อก ประسانต่อเนื่องกันตลอดทั้งผนัง

ตัวอย่างของชาโคว์บล็อกในรูปที่ 2.4 เป็นเพียงบางส่วนเท่านั้น ผู้ใช้สามารถออกแบบให้เกิด ลวดลายขึ้นใหม่ได้ และยังสามารถก่อสลับกับก้อนกรีตบล็อกชนิดผิวนิ่วเรียบธรรมชาติได้ เมื่อต้องการ เน้นลวดลายเป็นบางส่วน



รูปที่ 2.4 ดีแทคบล็อกชนิดชาโดว์บล็อก

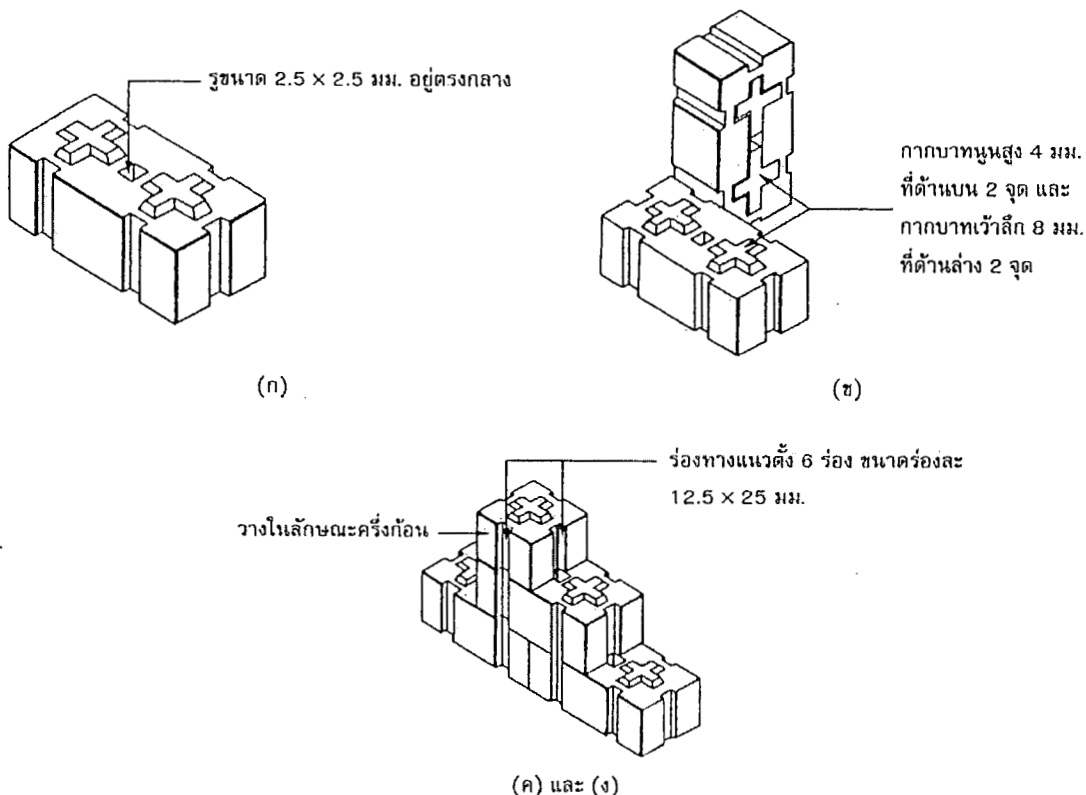
2.6.2.2 อินเตอร์ล็อกกิ้งบล็อก (Inter Locking Block) คือบล็อกที่ได้รับการออกแบบพัฒนาให้มีลักษณะพิเศษตามหน้าที่การใช้งานอย่างแท้จริง ซึ่งมีการใช้งาน 4 ลักษณะดังนี้

ก. จากรูปที่ 2.5 (ก) มีรูขนาด  $2.5 \times 2.5$  มิลลิเมตรอยู่ตรงกลางสำหรับหยอดน้ำปูนทรายเขื่อนระหว่างก้อนบนและล่างทางแนวดึง และใช้เสริมเหล็กยึดโครงหลังคา

ช. จากรูปที่ 2.5 (ข) มี kakabathun สูง 4 มิลลิเมตรที่ด้านบน 2 จุด และมี kakabath เว้าลึก 8 มิลลิเมตรที่ด้านล่าง 2 จุด เมื่อวางมาซ้อนทับเป็นแนวตรงหรือแนวสลับจะครอบกันได้สนิท (locked block) ทำให้ไม่สามารถเคลื่อนทางแนวนอนได้

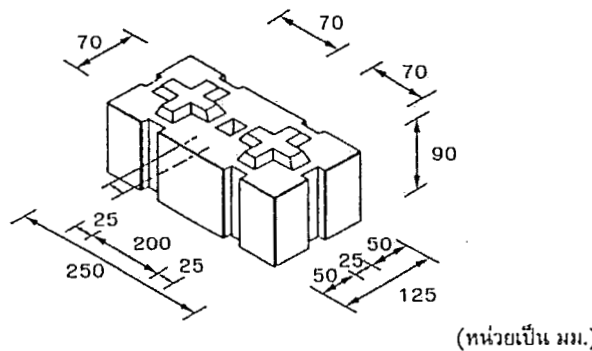
ค. จากรูปที่ 2.5(ค) มีร่องทางแนวตั้งได้ 6 ร่อง ขนาดร่องละ  $12.5 \times 25$  มิลลิเมตรสำหรับวางบล็อกต่อและหยุดน้ำปูนทรายเชื่อมตามแนวนอน ร่องแต่ละร่องสามารถถอดออกได้

ง. จากรูปที่ 2.5 (ง) สามารถทำครึ่งก้อนได้ เพื่อใช้ในการก่อแบบสลับแนวให้ได้แนวตรงทางแนวดิ่งตรงมุมหรือหัวท้ายผนัง



รูปที่ 2.5 การใช้อินเตอร์ล็อกกิงบล็อก

ขนาดของอินเตอร์ล็อกกิงบล็อก ขนาดเติมก้อน มีความกว้าง 125 มิลลิเมตร ยาว 250 มิลลิเมตร และสูง 90 มิลลิเมตร และขนาดครึ่งก้อน มีความกว้าง 125 มิลลิเมตร ยาว 125 มิลลิเมตร และสูง 90 มิลลิเมตร ดังรูปที่ 2.6



**รูปที่ 2.6 ลักษณะและขนาดของอินเตอร์ล็อกกิงบล็อก**

### 2.6.3 ข้อกำหนดเกี่ยวกับคอนกรีตบล็อก

มาตรฐานของสำนักงานมาตรฐานผลิตภัณฑ์อุตสาหกรรม กระทรวงอุตสาหกรรม กำหนดรายละเอียดของมาตรฐานผลิตภัณฑ์อุตสาหกรรม มอก. 58-2533 หมายถึงคอนกรีตบล็อกไม่รับน้ำหนัก ได้กำหนดรายละเอียดไว้ดังนี้

#### 2.6.3.1 ขอบข่าย

มาตรฐานผลิตภัณฑ์อุตสาหกรรมนี้กำหนด ประเภทและสัญลักษณ์ ขนาดและเกณฑ์ความถูกต้อง วัสดุ คุณลักษณะที่ต้องการ เครื่องหมายและฉลาก การหักตัวอย่างและเกณฑ์ตัดสิน และการทดสอบคอนกรีตบล็อก ไม่รับน้ำหนัก

#### 2.6.3.2 บทนิยาม

คอนกรีตบล็อก (Hollow concrete block or hollow concrete masonry unit) หมายถึง ก้อนคอนกรีตทำจากปูนซีเมนต์ปอร์ตแลนด์ น้ำ และวัสดุผสมที่เหมาะสมชนิดต่างๆ และจะมีสารอื่นผสมอยู่ด้วยหรือไม่ก็ได้ สำหรับก่อผนังหรือกำแพง มีรูหรือโพรงขนาดใหญ่ทะลุตลอดก้อน และมีพื้นที่หน้าตัดสูตรที่ระนาบขนาดกับผิวฐานน้อยกว่าร้อยละ 75 ของพื้นที่หน้าตัดรวมที่ระนาบเดียวกัน

คอนกรีตบล็อก ไม่รับน้ำหนัก (Hollow non-load-bearing concrete masonry unit) หมายถึง คอนกรีตบล็อกใช้สำหรับผนังที่ออกแบบไม่รับน้ำหนักบรรทุกใด ๆ นอกจากน้ำหนักตัวเอง

เปลือก (Face-shell) หมายถึง ผนังของคอนกรีตบล็อก ซึ่งเชื่อมต่อด้วยผนังกันโพรง

#### 2.6.3.3 ประเภทและชั้นคุณภาพ

##### a) คอนกรีตบล็อกไม่รับน้ำหนัก

คอนกรีตบล็อกไม่รับน้ำหนักตามมาตรฐานนี้ แบ่งออกเป็น 2 ประเภทคือ

ก. ประเภท 1 คอนกรีตบล็อกไม่รับน้ำหนักที่ควบคุมความชื้น ใช้สัญลักษณ์ 1

ข. ประเภท 2 คอนกรีตบล็อกไม่รับน้ำหนักที่ไม่ควบคุมความชื้น ใช้สัญลักษณ์ 2  
a-1) ขนาดและเกณฑ์ความคลาดเคลื่อน

ก. ความหนาของเปลือกต้องไม่น้อยกว่า 12 มิลลิเมตร

ข. ขนาดของคอนกรีตบล็อกไม่รับน้ำหนัก

ให้มีขนาดดังแสดงในตารางที่ 2.2 โดยจะคลาดเคลื่อนได้ไม่เกิน  $\pm 2$  มิลลิเมตร

**ตารางที่ 2.2 ขนาดของคอนกรีตบล็อกไม่รับน้ำหนัก**

ขนาด หนา x สูง x ยาว ( มม. <sup>3</sup> )
70 x 190 x 140
90 x 190 x 140
140 x 190 x 140
190 x 190 x 140
70 x 190 x 190
90 x 190 x 190
140 x 190 x 190
190 x 190 x 190
70 x 190 x 290
90 x 190 x 290
140 x 190 x 290
190 x 190 x 290
70 x 190 x 390
90 x 190 x 390
140 x 190 x 390
190 x 190 x 39

หมายเหตุ ขนาดของคอนกรีตบล็อกไม่รับน้ำหนักที่กำหนดนี้ เป็นขนาดที่ออกแบบ เพื่อให้เป็นไปตามระบบการประสานทางพิกัดในการก่อสร้างอาคาร ซึ่งได้กำหนดหน่วยพิกัดมูลฐานให้เท่ากับ 100 มิลลิเมตร และกำหนดความหนาของปูนก่อในรอยต่อมาตรฐานเท่ากับ 10 มิลลิเมตร

a-2) กำลังรับแรงกดอัด

- กำลังรับแรงกดอัดเฉลี่ยของพื้นที่รวมของคอนกรีตล็อกจะต้องไม่ต่ำกว่า 2.5 MPa (25 ksc) โดยต้องใช้คอนกรีตล็อกในการทดสอบไม่น้อยกว่า 5 ก้อน

- กำลังรับแรงกดอัดของคอนกรีตล็อกแต่ละก้อนจะต้องไม่ต่ำกว่า 2 MPa (20 ksc)

b ) คอนกรีตล็อกรับน้ำหนัก

คอนกรีตบล็อกรับน้ำหนักซึ่งทำขึ้นตามมาตรฐานนี้ แบ่งออกเป็น 2 ประเภทคือ

ก. ประเภท 1 คอนกรีตบล็อกรับน้ำหนักที่ควบคุมความชื้น

ข. ประเภท 2 คอนกรีตบล็อกรับน้ำหนักที่ไม่ควบคุมความชื้น

คอนกรีตบล็อกรับน้ำหนักแต่ละประเภทแบ่งออกเป็น 3 ชั้นคุณภาพ คือ

ก. ชั้นคุณภาพ ก ใช้สำหรับกำแพงภายนอกทึ้งต่ำกว่าและเหนือกว่าระดับดิน โดยไม่มีการป้องกันผิวแต่อย่างใด เห็น ใช้ในกรณีซึ่งการรั่วซึมจากน้ำได้ดีนและฝน ไม่ทำให้ความเสียหายต่องานนั้น

ข. ชั้นคุณภาพ ข ใช้สำหรับกำแพงภายนอกทึ้งต่ำกว่าและเหนือกว่าระดับดิน แต่มีการป้องกันผิว

ค. ชั้นคุณภาพ ค ใช้ทั่วไปสำหรับกำแพงภายนอก และ กำแพงภายนอกเหนือระดับดิน ที่มีการป้องกันความเสียหายเนื่องจากดินฟ้าอากาศ

b-1 ขนาดและเกณฑ์ความคลาดเคลื่อน

ก. ความหนาของเปลือกและผนังกัน propane ต้องเป็นไปตามตารางที่ 2.3

หมายเหตุ : คอนกรีตบล็อกรับน้ำหนักที่ออกแบบพิเศษให้มีโลหะหนต่อการกัดกร่อน เพื่อยึดระหว่างเปลือกของก้อน อาจอนุญาตให้ทำได้ เมื่อการทดสอบแสดงว่าโลหะยึดนั้นมีสภาพโครงสร้างเทียบเท่ากับผนังกัน propane คอนกรีตในทางความยึดตัวแข็งกำลังและการยึดกับผนังกัน propane

ข. ขนาดของคอนกรีตบล็อกรับน้ำหนัก

ให้มีขนาดดังแสดงในตารางที่ 2.3 และ ตารางที่ 2.4 โดยจะคลาดเคลื่อนได้ไม่เกิน  $\pm 2$  มิลลิเมตร

**ตารางที่ 2.3 ความหนาของเปลือกและผนังกันไฟ (หน่วยเป็นมิลลิเมตร)**

ความหนาระบุของ ก้อน	ความหนาของเปลือก ต่ำสุด <sup>1)</sup>	ความหนาของผนังกันไฟ <sup>2)</sup>	
		ผนังกันไฟต่ำสุด <sup>1)</sup>	ความหนาผนังกันไฟ เทียบเท่าต่ำสุด ต่อ ความยาว 1 เมตร
90	19	19	135
140	25	25	185
190	31	25	185

หมายเหตุ เนื่องจาก การวัด ก้อน โดยวัดจากส่วนที่บางที่สุดเมื่อวัดตามวิธีที่กำหนด ใน มาตรฐานผลิตภัณฑ์อุตสาหกรรม วิธีชักตัวอย่างและการทดสอบคุณภาพ ซึ่งทำด้วยคอนกรีต มาตรฐานเลขที่ มอง. 109 ผลรวมจากการวัดความหนาของผนังกันไฟทั้งหมดในก้อน คุณด้วย 1000 หารด้วยความยาวของคอนกรีตบล็อกรับน้ำหนักเป็นมิลลิเมตร

**ตารางที่ 2.4 ขนาดของคอนกรีตบล็อกรับน้ำหนัก**

มิติพิกัด หนา x สูง x ยาว	ขนาดที่ทำ หนา x สูง x ยาว มิลลิเมตร x มิลลิเมตร x มิลลิเมตร
$1 \times 2 \times 1\frac{1}{2}$	$90 \times 190 \times 140$
$1\frac{1}{2} \times 2 \times 1\frac{1}{2}$	$140 \times 190 \times 140$
$2 \times 2 \times 1\frac{1}{2}$	$190 \times 190 \times 140$
$1 \times 2 \times 2$	$90 \times 190 \times 190$
$1\frac{1}{2} \times 2 \times 2$	$140 \times 190 \times 190$
$2 \times 2 \times 2$	$190 \times 190 \times 190$
$1 \times 2 \times 3$	$90 \times 190 \times 290$
$1\frac{1}{2} \times 2 \times 3$	$140 \times 190 \times 290$
$2 \times 2 \times 3$	$190 \times 190 \times 290$
$1 \times 2 \times 4$	$90 \times 190 \times 390$
$1\frac{1}{2} \times 2 \times 4$	$140 \times 190 \times 390$
$2 \times 2 \times 4$	$190 \times 190 \times 390$

**หมายเหตุ:** ขนาดของคอนกรีตบล็อกรับน้ำหนักที่กำหนดนี้เป็นขนาดที่ออกแบบเพื่อให้เป็นไปตามระบบการประสานงานทางพิกัด ในการก่อสร้างอาคาร ซึ่งได้กำหนดหน่วยพิกัด มูลฐาน พ ให้เท่ากับ 100 มิลลิเมตร และกำหนดความหนาของปูนก่อในรอยต่อมาตรฐาน เท่ากับ 10 มิลลิเมตร

#### 2.6.4 คุณลักษณะที่ต้องการ

##### ก. ลักษณะทั่วไป

- คอนกรีตบล็อกรับน้ำหนักทุกก้อน ต้องแข็งแรง ปราศจากรอยแตกร้าว หรือส่วนเสียอื่นใด อันเป็นอุปสรรคต่อการก่อคอนกรีตบล็อกรับน้ำหนักอย่างถูกต้องหรือทำให้สิ่งก่อสร้างเสียกำลัง หรือความคงทนถาวร รอยแตกร้าวเล็กน้อยที่มักเกิดขึ้นในกรรมวิธีผลิตตามปกติหรือรอยปริ เล็กน้อยเนื่องจากวิธีการเคลื่อนย้ายหรือขนส่งอย่างธรรมดा จะต้องไม่เป็นสาเหตุอ้างในการไม่ ยอมรับ

- คอนกรีตบล็อกรับน้ำหนัก ซึ่งต้องการปูนหรือเต่งปูนต้องมีผิวน้ำหนาอย่างพอดี การจับยึดของปูนป่นหรือปูนแต่ง ได้อย่างดี

- คอนกรีตบล็อกรับน้ำหนัก ซึ่งต้องการก่อแบบผิวเผย ด้านผิวเผยจะต้องไม่มีรอยปืน รอย ร้าว หรือตำหนิอื่นๆ ถ้าในการสั่งครัวหนึ่งมีก้อนซึ่งมีรอยบินเล็กน้อยที่ยาวมากกว่า 25 มิลลิเมตร เป็นจำนวนไม่นักกว่าร้อยละ 5 จะต้องไม่ถือเป็นสาเหตุในการไม่ยอมรับ การทดสอบให้ทำโดย การตรวจพินิจ

ข. ความต้านทานแรงอัดและการดูดกลืนน้ำของคอนกรีตบล็อกรับน้ำหนักเมื่อส่งถึงที่ ก่อสร้าง ต้องเป็นไปตามตาราง ที่ 2.5

- ห้องค่าเฉลี่ยและค่าแต่ละก้อนต้องเป็นไปตามตารางที่ 2.5

- การทดสอบให้ปฏิบัติตามมาตรฐานผลิตภัณฑ์อุตสาหกรรม วิธีชักตัวอย่างและการทดสอบ วัสดุงานก่อซึ่งทำด้วยคอนกรีต มาตรฐานเลขที่ มาตรฐาน 109

**ตารางที่ 2.5 ความต้านทานแรงอัดและการดูดกลืนน้ำ**

		ความต้านทานแรงอัด ต่ำสุด (MPa)				การดูดกลืนน้ำ สูงสุด เนื้อจากคอนกรีตบล็อก 5 ก้อน ( $\text{kg}/\text{m}^3$ )					
ชั้น คุณภาพ 1)	เนื้อจากพื้นที่รวม	เนื้อจากพื้นที่สูตร		น้ำหนักคอนกรีตเมื่ออบแห้ง ( $\text{kg}/\text{m}^3$ )							
		เนื้อจาก คอนกรีต บล็อก 5 ก้อน	คอนกรีต บล็อกแต่ ละก้อน	เนื้อจาก คอนกรีต บล็อก 5 ก้อน	คอนกรีต บล็อกแต่ ละก้อน	และ น้อย กว่า	1680	1681	1761	1841	1921
ก	7	5.5	14	14	240	224	208	192	176	240	มาก กว่า 2000
ข	7	5.5	-	-	288	272	256	240	224	288	
ค	5	4	-	-	-	-	-	-	-	-	

หมายเหตุ : <sup>1)</sup> ดูวัตถุประสงค์ในการใช้คอนกรีตบล็อกชั้นคุณภาพต่างๆ ตามภาคผนวก ก.

ค. ปริมาณความชื้น (เฉพาะคอนกรีตบล็อกไม่รับน้ำหนักประเภทควบคุมความชื้น) เมื่อส่งถึงที่ก่อสร้าง ต้องเป็นไปตามตารางที่ 2.6

**ตารางที่ 2.6 ความชื้น (เฉพาะคอนกรีตบล็อกไม่รับน้ำหนักประเภทควบคุมความชื้น )**

ร้อยละของการหดตัวทางยาว <sup>1)</sup>	ความชื้น สูงสุด ร้อยละของการดูดกลืนน้ำทั้งหมด (เนื้อจากคอนกรีตบล็อก 5 ก้อน)		
	ความชื้นสัมพัทธ์รายปีเฉลี่ย ร้อยละ <sup>2)</sup>		
	น้อยกว่า 50	50 ถึง 75	มากกว่า 75
0.03 และน้อยกว่า	35	40	45
มากกว่า 0.03 ถึง 0.045	30	35	40
มากกว่า 0.045	25	30	35

หมายเหตุ <sup>1)</sup> ทดสอบตามมาตรฐานผลิตภัณฑ์อุตสาหกรรม วิธีทดสอบการทดสอบของคอกนกรีบล็อก (ในกรณีที่ยังไม่ได้มีการประปาศก้าหนามาตรฐานดังกล่าวให้เป็นไปตาม ASTM C 426)

<sup>2)</sup> อาศัยสอดคล้องประภาศของกรมอุตุนิยมวิทยา สำหรับสถานีที่ใกล้แหล่งผลิตมากที่สุด

#### 2.6.5 เครื่องหมายและผลลัพธ์

ก. ที่คอกนกรีบล็อกไม่รับน้ำหนักทุกกรณี อย่างน้อยต้องมีเลข อักษรหรือเครื่องหมาย แจ้งรายละเอียดต่อไปนี้ให้เห็นได้ชัดเจน

- สัญลักษณ์แสดงประเภท

- ชื่อผู้ทำหรือโรงงานที่ทำ หรือเครื่องหมายการค้า ในกรณีที่ใช้ภาษาต่างประเทศ ต้องมีความหมายตรงกับภาษาไทยที่กำหนดไว้ข้างต้น

ข. ผู้ทำผลิตภัณฑ์อุตสาหกรรมที่เป็นไปตามนี้ จะแสดงเครื่องหมายมาตรฐานกับผลิตภัณฑ์อุตสาหกรรมนั้นได้ต่อเมื่อได้รับใบอนุญาตจากคณะกรรมการมาตรฐานผลิตภัณฑ์อุตสาหกรรม

#### 2.6.6. การซักตัวอย่างและเกณฑ์ตัดสิน

ก. รุ่น ในที่นี้ หมายถึง คอกนกรีบล็อกไม่รับน้ำหนักประเภทและขนาดเดียวกัน ที่ทำหรือส่งมอบหรือซื้อขายในระยะเวลาเดียวกัน

ข. การซักตัวอย่างเพื่อการทดสอบ ให้กระทำณ สถานที่ผลิต และต้องให้เวลาสำหรับการทดสอบจนครบถ้วนอย่างน้อย 10 วัน

ค. การซักตัวอย่างและเกณฑ์ตัดสิน ให้เป็นไปตามแผนการซักตัวอย่างที่กำหนดต่อไปนี้ หรืออาจใช้แผนการซักตัวอย่างอื่นที่เทียบเท่ากันทางวิชาการกับแผนที่กำหนดไว้

- การซักตัวอย่าง ให้เป็นไปตาม มอก. 109 โดยคัดตัวอย่างที่บกพร่องเนื่องจากการขนส่งออกเสียก่อน และจึงซักตัวอย่างโดยวิธีสุ่มจากรุ่นเดียวกันมาทำเป็นตัวอย่างทดสอบ

- เกณฑ์ตัดสิน ตัวอย่างต้องเป็นไปตามข้อ 2.6.3.3 และข้อ 2.6.4 ทุกข้อ จึงจะถือว่าคอกนกรีบล็อกไม่รับน้ำหนักรุ่นนั้นเป็นไปตามมาตรฐานผลิตภัณฑ์อุตสาหกรรมนี้ ในกรณีที่มีตัวอย่างได้ไม่เป็นไปตามข้อ 2.6.3.3 ข้อ 2.6.4 (ก.) ข้อ 2.6.4 (ข.) ข้อ 2.6.4 (ค.) รายการได้รายการหนึ่ง ให้ซักตัวอย่างจากรุ่นเดียวกันจำนวน 2 เท่าของชุดตัวอย่าง มาทดสอบช้า ในรายการนั้นผลการทดสอบช้าตัวอย่างทุกชุดต้องเป็นไปตามข้อ 2.6.3.3 ข้อ 2.6.4 (ก.) ข้อ 2.6.4 (ข.) หรือข้อ 2.6.4 (ค.) และแต่กรณี จึงจะถือว่าคอกนกรีบล็อกไม่รับน้ำหนักรุ่นนั้นเป็นไปตามมาตรฐานผลิตภัณฑ์อุตสาหกรรมนี้ ยกเว้นรายการความด้านแรงอัด ตัวอย่างต้องมีความด้านแรงอัดไม่ต่ำกว่าร้อยละ 85 ของเกณฑ์ที่กำหนด จึงจะยอมให้ทดสอบช้าในรายการความด้านแรงอัดได้

### 2.6.7 การทดสอบคุณสมบัติของคอนกรีตบล็อก

#### 2.6.7.1 ความหนาแน่น

ความหนาแน่น หมายถึง อัตราส่วนระหว่างมวลต่อหนึ่งหน่วยปริมาตร เมื่อมวลหาได้โดยการซึ่ง ซึ่งมีหน่วยเป็น กิโลกรัม ส่วนปริมาตรของบล็อคคอนกรีตนั้นหาได้โดยวิธีการแทนที่น้ำ เช่น อาจทำได้โดยการจมวัตถุน้ำลงในภาชนะที่มีน้ำอยู่ ทราบได้วัตถุไม่ละลายหรือดูดซับน้ำ ปริมาตรของน้ำส่วนที่เพิ่มขึ้น หรือปริมาตรของน้ำที่ล้นออกมากในกรณีเดิมที่มีน้ำอยู่เต็มภาชนะพอดี จะเท่ากับปริมาตรของวัตถุนั้น วิธีการนี้เป็นการหาปริมาตรของวัตถุโดยการแทนที่น้ำ แล้วปริมาตร มีหน่วยเป็นลูกบาศก์เมตร เป็นต้น

จากความสัมพันธ์ดังกล่าว จะได้ว่า

$$\rho = \frac{m}{V} \text{ กก./ม}^3 \quad (2.4)$$

โดยที่  $\rho$  = ความหนาแน่น (กก./ม<sup>3</sup>)

$m$  = มวล หาได้โดยการซึ่ง (กก.)

$V$  = ปริมาตร (ม<sup>3</sup>)

สำหรับค่าความหนาแน่นของน้ำ  $\rho_w$  มีค่าเท่ากับ 1,000 กก./ม<sup>3</sup>

ความหนาแน่นของบล็อคคอนกรีตเป็นการศึกษาคุณสมบัติทางด้านฟิสิกส์หรือทางด้านกายภาพน้ำหนักขึ้นอยู่กับวัสดุ

#### 2.6.7.2 ปริมาณความชื้น

ปริมาณความชื้นหมายถึง อัตราส่วนระหว่างน้ำหนักของน้ำที่มีอยู่ในบล็อคคอนกรีตต่อน้ำหนักของบล็อคคอนกรีตที่อบแห้งแล้ว คูณด้วย 100 คิดเป็นเปอร์เซ็นต์ เ肄ิ่นสูตรได้ว่า

$$\omega = \frac{W_w \times 100}{W_s} (\%) \quad (2.5)$$

โดยที่  $\omega$  = ปริมาณความชื้นของบล็อคคอนกรีต (%)

$W_w$  = น้ำหนักของน้ำที่มีอยู่ในบล็อคคอนกรีต (กรัม) หาได้โดยเอาน้ำหนักบล็อคคอนกรีตชื่นลงด้วยน้ำหนักบล็อคคอนกรีตอบแห้ง

$W_s$  = น้ำหนักบล็อคคอนกรีตที่อบแห้ง (กรัม)

#### 2.6.7.3 การดูดซึมน้ำของบล็อคคอนกรีต

การดูดซึมน้ำของบล็อคคอนกรีตสามารถบอกถึงความคงทนของบล็อคคอนกรีต การทดสอบการดูดซึมน้ำของบล็อคคอนกรีตก่อสร้าง ปกติให้เช่นบล็อคคอนกรีตในน้ำ 24 ชั่วโมง

การดูดซึมน้ำของอิฐ หมายถึงอัตราส่วนระหว่างน้ำหนักของน้ำที่มีอยู่ในอิฐหลังจากนำไปแช่น้ำต่อน้ำหนักอิฐอบแห้ง นิยมบอกเป็นเปอร์เซ็นต์ ซึ่งคูณด้วย 100 เ肄ิ่นเป็นสูตรได้ว่า

$$\text{เปอร์เซ็นต์การดูดซึมน้ำของบล็อคคอนกรีต} = \frac{W' - W_s}{W_s} \times 100(\%) \quad (2.6)$$

สำนักหอสมุด มหาวิทยาลัยบูรพา  
ต.แสนสุข อ.เมือง จ.ชลบุรี 20131

23

โดยที่  $W'$  = น้ำหนักของล้อคคอนกรีตหลังจากแร่น้ำ (กรัม)

$W_s$  = น้ำหนักล้อคคอนกรีตที่อบแห้ง (กรัม)

การคูดซึ่มน้ำมากน้อยเท่าใดเป็นเครื่องแสดงคุณภาพของบล็อกคอนกรีต เช่น บล็อกคอนกรีตถ้าบล็อกคอนกรีตคูดซึ่มน้ำมากแสดงว่ามีความพรุนของเนื้อบล็อกคอนกรีตมาก สำหรับงานก่อกำแพงบล็อกคอนกรีตควรนำบล็อกคอนกรีตน้ำ มาชุบน้ำให้ชุ่มและอิ่มตัว และทึงไว้ให้ผิวแห้ง ถ้าบล็อกคอนกรีตชุมน้ำมากเกินไป จะทำให้ปูนก่อให้หลุดลงมาได้ การก่อผนังยาก ช่างก่อมั้กไม่ค่อยทำ เพราะยากกว่าก่อบล็อกคอนกรีตแห้ง

#### 2.6.7.4 กำลังอัด

บล็อกคอนกรีตต้องมีความแข็งแรงทนทาน สามารถต้านทานแรงอัดได้ดีพอสมควร หากไม่แน่ใจว่ามีความแข็งแรงทนทาน จำเป็นต้องนำไปทดสอบเพื่อตรวจสอบความแข็งแรงตามสถาบันของทางราชการที่เขื่อถือได้

การทดสอบรับแรงอัด กระทำได้โดยวางบล็อกคอนกรีตบนเครื่องทดสอบแล้วอัดแรงกดจนกระแทบบล็อกคอนกรีตแตก แล้วอ่านค่าน้ำหนักสูงสุดที่บล็อกคอนกรีตรับได้เพื่อเปรียบเทียบกับค่ามาตรฐาน

หน่วยแรงอัดสูงสุด หมายถึงอัตราส่วนระหว่างแรงอัดสูงสุดต่อพื้นที่รับแรง มีหน่วยเป็น กก./ซม.<sup>2</sup> เอียนเป็นสูตรได้ว่า

$$\text{หน่วยแรงอัดสูงสุด} = \frac{\text{น้ำหนักกดสูงสุด (กก.)}}{\text{พื้นที่รับแรง (ซม.<sup>2</sup>)}} \quad (2.7)$$

#### 2.7 งานวิจัยที่เกี่ยวข้อง

ในงานวิจัยนี้มุ่งเน้นเพื่อที่จะลดการใช้ปูนซีเมนต์ปอร์ตแลนด์และพัฒนาวัสดุประสานชนิดใหม่ โดยไม่ใช้ปูนซีเมนต์ปอร์ตแลนด์ เพื่อทำความสะอาดบล็อกหินด้วยน้ำหนัก ซึ่งเป็นการส่งเสริมให้วัสดุจีโพลิเมอร์ให้สามารถใช้งานในอุตสาหกรรมก่อสร้างได้อย่างเป็นรูปธรรมมากขึ้น การศึกษาที่ผ่านมา มีนักวิจัยหลายท่าน ได้ศึกษาคุณสมบัติของคอนกรีตบล็อกเพื่อพิจารณาถึงส่วนผสม คอนกรีตบล็อกที่เหมาะสมในเพื่อใช้ในงานก่อสร้าง อย่างไรก็ตาม การศึกษาส่วนใหญ่จะใช้ปูนซีเมนต์ปอร์ตแลนด์เป็นส่วนผสมเพื่อเป็นวัสดุประสาน และยังไม่พูดงานวิจัยที่เกี่ยวกับการทำคอนกรีตบล็อกหินด้วยน้ำหนักจากวัสดุจีโพลิเมอร์

สูรพันธ์ สุกันธปรีญ และคณะ (2546) ได้ทำการวิจัยการศึกษาคอนกรีตบล็อกที่มีถ่านแกลน-เปลือก ไม่ซึ่งเป็นผลพลอยได้จากการเผาแกลนและเปลือกไม้จากโรงไฟฟ้า มาใช้ในการศึกษา โดยนำถ่านแกลน-เปลือกไม้ที่มาจากการเผาแกลนและเปลือกไม้จากโรงไฟฟ้า มาใช้ในการศึกษา โดยนำถ่านแกลน-เปลือกไม้ที่มาจากการเผาแกลนและเปลือกไม้จากโรงไฟฟ้า มาใช้ในการศึกษา โดยร้อยละ 25 ถึง 30 มาแทนที่ปูนซีเมนต์ปอร์ตแลนด์ ประเภทที่ 1 ร้อยละ 10, 20 และ 30 เพื่ออัดอิฐคอนกรีตคอนกรีตที่พสมถ่านแกลน-เปลือกไม้และทดสอบกำลังอัดของอิฐคอนกรีตที่อายุ 1, 3, 7, 14, 28 และ 60 วัน พนบว่ากำลังอัดของอิฐคอนกรีตที่พสมถ่านแกลน-เปลือกไม้ ขึ้นอยู่กับการแทนที่

๔๒๐. ๑๓๗

๑๗๗๑

๑.๒

346985

ปูนซีเมนต์และความละเอียดของถ้าแกลบ-เปลือกไม้ ก่อราก็อ เมื่อแทนที่ถ้าแกลบ-เปลือกไม้มากขึ้น กำลังอัดยิ่งต่ำและความละเอียดของถ้าแกลบ-เปลือกไม้สูงขึ้นยิ่งทำให้กำลังอัดของอิฐคอนกรีตสูงขึ้นตามไปด้วย ผลการทดสอบแสดงให้เห็นว่าการพัฒนาถ้าแกลบ-เปลือกไม้โดยการบดอนุภาคน้ำมีความละเอียดขึ้น สามารถทำให้มีคุณสมบัติการเป็นวัสดุปูช้โซลันที่ดี และนำมาใช้ผลิตอิฐคอนกรีตได้ดี

ยุวดี หริรัญ (2551) ได้ทำการศึกษาการอัดกล่องปูนคอนกรีตพรุน เพื่อศึกษาส่วนผสมของคอนกรีตพรุนที่สามารถอัดขึ้นรูปเป็นกล่องปูนได้ โดยทำการศึกษาความสัมพันธ์ด้านกำลังรับแรงอัด ความชื้นน้ำ และความสามารถในการอัดขึ้นรูปกล่องปูน ส่วนผสมของคอนกรีตพรุนใช้หินกรวดที่ร่อนผ่านตะแกรงตามมาตรฐาน ASTM และเลือกใช้หินกรวดที่ค้างบนตะแกรงเบอร์ 2 ( $3/8"$ ) , เบอร์ 4 และเบอร์ 8 มาผสมกัน โดยใช้ปริมาณปูนซีเมนต์ร้อยละ 18, 20 และ 22 โดยน้ำหนักหิน และอัตราส่วนน้ำต่อปูนซีเมนต์ (W/C) เท่ากับ 0.35 และ 0.40 จากการวิจัยพบว่า ส่วนผสมคอนกรีตพรุนที่ใช้สัดส่วนคละของหินกรวดที่ค้างบนตะแกรงเบอร์ 2 ( $3/8"$ ) และเบอร์ 8 อย่างละเท่าๆกัน โดยน้ำหนักหิน และส่วนผสมคอนกรีตพรุนที่ใช้สัดส่วนคละของหินกรวดที่ค้างบนตะแกรงเบอร์ 2 ( $3/8"$ ), เบอร์ 4 และเบอร์ 8 อย่างละเท่าๆกัน โดยน้ำหนักหิน และใช้ปริมาณปูนซีเมนต์ร้อยละ 20 หรือร้อยละ 22 โดยน้ำหนักหิน จะมีความสามารถในการอัดขึ้นรูปกล่องปูนได้ดี และส่วนผสมที่มีอัตราส่วนน้ำต่อปูนซีเมนต์ (W/C) 0.40 ซีเมนต์เพสต์จะเคลือบผิวน้ำลงได้

ชринทร์ เสนาวงษ์ และ คณะ (2552) ได้ศึกษาการทำคอนกรีตบล็อกชนิดรับน้ำหนักจากถ้ากันเดา โดยใช้ถ้ากันเดาที่ได้จากการเผาถ้ากันเดาแบบฟลูอิด ไดซ์เบด มาใช้เป็นมวลรวมหยาในส่วนผสมคอนกรีตบล็อก และทำการอัดคอนกรีตบล็อกโดยใช้เครื่องอัดชนิดชินวา-แรม (Cinvaram) หลังจากนั้นบ่มคอนกรีตบล็อกในอากาศและทดสอบกำลังอัดของคอนกรีตบล็อกที่อายุ 7, 28 และ 60 วัน ตลอดจนทดสอบความหนาแน่น และเบอร์เรชันต์การดูดซึมน้ำในคอนกรีตบล็อกที่อายุทดสอบ 28 วัน ผลการศึกษาพบว่า ร้อยละการดูดซึมน้ำของคอนกรีตบล็อกมีค่าสูงขึ้นตามปริมาณของถ้ากันเดาที่มากขึ้น และเมื่อใช้ถ้ากันเดาในส่วนผสมคอนกรีตบล็อกมากขึ้น ส่งผลให้กำลังอัดและความหนาแน่นของคอนกรีตบล็อกมีค่าลดลงอย่างชัดเจน อย่างไรก็ตามกำลังอัดของคอนกรีตบล็อกทุกส่วนผสม ที่ได้จากการศึกษามีค่าสูงกว่ามาตรฐานของคอนกรีตบล็อกชนิดรับน้ำหนัก (มอก. 57-2533) ที่กำหนดให้ไม่ต่ำกว่า  $110 \text{ กก./ซม}^2$  และมีค่าเบอร์เรชันต์การดูดซึมน้ำอย่างกว่าค่ามาตรฐาน โดยกำหนดไว้ไม่ให้เกินร้อยละ 30 ซึ่งถือว่าคอนกรีตบล็อกมีกำลังอัดที่ดีเมื่อเทียบกับค่ามาตรฐาน โดยจัดเป็นคอนกรีตบล็อกรับน้ำหนักประเภท ก ได้

จากการวิจัยที่ผ่านมาแสดงให้เห็นว่า ได้มีการนำเอาวัสดุต่างๆ มาเป็นส่วนผสมเพื่อใช้เป็นวัสดุปูช้โซลันและแทนที่ปูนซีเมนต์ปอร์ตแลนด์ในการทำคอนกรีตบล็อก จะทำให้ได้กำลังอัดที่แตกต่างกัน ขึ้นอยู่กับวัสดุที่นำมาเป็นส่วนผสม ซึ่งวัสดุประสานหลักที่ใช้ในการผลิตคอนกรีตบ

ลักษณะเป็นปูนซีเมนต์ปอร์ตแลนด์ ดังนั้นการศึกษาครั้งนี้จึงพยายามศึกษาการทำคอนกรีตบล็อกโดยไม่ใช้ปูนซีเมนต์เป็นส่วนผสม แต่จะใช้วัสดุจีโอพอลิเมอร์เป็นวัสดุประสานแทน การศึกษาที่เกี่ยวกับวัสดุจีโอพอลิเมอร์ในประเทศไทยมีน้อย และยังไม่พบการใช้งานจริงในเชิงพาณิชย์ การศึกษาที่เกี่ยวกับวัสดุจีโอพอลิเมอร์ที่สำคัญมีดังนี้

อุบลลักษณ์ รัตนศักดิ์ และคณะ (2548) ได้ทำการวิจัยเกี่ยวกับการศึกษาโครงสร้างจุลภาคของวัสดุจีโอพอลิเมอร์ หรือสารประกอบอะลูมิโนซิลิเกตที่เตรียมจากถ่านหิน โดยนำถ่านหินที่ทำปฏิกิริยากับสารละลายโซเดียมซิลิเกต และสารละลายโซเดียมไฮดรอกไซด์ความเข้มข้นสูง ในช่วงอัตราส่วนผสมโดยโมลดังนี้  $\text{Na}_2\text{O}/\text{SiO}_2 = 0.2 - 0.48$ ,  $\text{SiO}_2/\text{Al}_2\text{O}_3 = 3.3 - 4.5$ ,  $\text{H}_2\text{O}/\text{Na}_2\text{O} = 10 - 25$  และ  $\text{Na}_2\text{O}/\text{Al}_2\text{O}_3 = 0.8 - 1.2$  โดยทำการบ่มที่อุณหภูมิ  $65^\circ\text{C}$  เป็นเวลา 48 ชั่วโมง จากนั้นทำการศึกษาโครงสร้างทางจุลภาคด้วยเครื่อง Optical Microscope (OM) และ Scanning Electron Microscope (SEM) ที่เป็นอัตราส่วนผสมต่างกัน เพื่อดูการเปลี่ยนแปลงโครงสร้างวัสดุ โดยจะเห็นเม็ดเจลเกิดการก่อตัวรอบๆ ถ่านหิน ซึ่งแสดงให้เห็นว่า มีการเปลี่ยนแปลงเกิดสารจีโอพอลิเมอร์ขึ้น ส่วนการทดสอบกำลังอัดของมอร์ตาร์จะให้กำลังอัดสูงสุด 56 MPa ที่ระยะเวลาบ่ม 48 ชั่วโมง

สมิตร ส่างพิริยะกิจ และวรเชษฐ์ ป้อมเชียงพิม (2552) ได้ศึกษาเกี่ยวกับกำลังอัดของจีโอพอลิเมอร์คอนกรีต และอุณหภูมิบ่มที่เหมาะสมของคอนกรีตที่ใช้สารโซเดียมไฮดรอกไซด์ สารละลายโซเดียมซิลิเกต และน้ำเป็นส่วนผสม โดยหล่อเป็นตัวอย่างขนาด  $10 \times 10 \times 10 \text{ ซม.}^3$  ซึ่งกำหนดอัตราส่วนทางเคมีต่างกัน 7 ส่วนผสม แบ่งอุณหภูมิบ่มเป็น 2 ชุด บ่มอุณหภูมิห้อง และบ่มอุณหภูมิ  $60^\circ\text{C}$  ทดสอบกำลังอัดที่อายุ 1, 3 และ 7 วัน จากการศึกษาพบว่า พฤติกรรมการรับแรงอัดของจีโอพอลิเมอร์คอนกรีต ซึ่งมีสัดส่วนน้ำต่อวัสดุประสาน 0.463 และอัตราส่วนผสมของถ่านหินต่อวัสดุประสานเท่ากับ 0.60 ให้กำลังอัดสูงสุด กำลังอัดของจีโอพอลิเมอร์คอนกรีตที่บ่มอุณหภูมิห้อง มีค่าเท่ากับ 161 กก./ซม.<sup>2</sup> และจีโอพอลิเมอร์คอนกรีตที่บ่มอุณหภูมิ  $60^\circ\text{C}$  เป็นเวลา 24 ชั่วโมง มีค่ากำลังอัดเท่ากับ 329 กก./ซม.<sup>2</sup> จากผลการทดสอบพบว่า เมื่อมีการเพิ่มปริมาณของโซเดียมออกไซด์ ( $\text{Na}_2\text{O}$ ) จะได้กำลังอัดเพิ่มขึ้น และเมื่อลดปริมาณน้ำต่อถ่านหินลงก็จะได้ค่ากำลังอัดที่สูงขึ้น เช่นเดียวกัน

ชรินทร์ เสนาวงษ์ และ คณะ (2552) ได้ศึกษาผลของการเพิ่มขั้นของสารละลายโซเดียมไฮดรอกไซด์ ( $\text{NaOH}$ ) ต่อกำลังอัดของจีโอพอลิเมอร์คอนกรีตจากถ่านหิน และกำลังอัดเฉลี่ยระหว่างเหล็กข้ออ้อยกับจีโอพอลิเมอร์คอนกรีตจากถ่านหิน ผลการศึกษาพบว่า กำลังอัดของจีโอพอลิเมอร์คอนกรีตมีค่าเพิ่มขึ้นตามความเข้มข้นของสารละลายโซเดียมไฮดรอกไซด์ที่เพิ่มขึ้น และมีการพัฒนากำลังอัดในอัตราที่สูงช่วง 14 วันแรก หลังจากนั้นกำลังอัดมีอัตราการเพิ่มลดลงอย่างไรก็ตามในกลุ่มที่ใช้สารละลายโซเดียมไฮดรอกไซด์เพิ่มขึ้น 14 โมลาร์ มีอัตราการเพิ่มของกำลังอัดสูงกว่ากลุ่มที่ใช้สารละลายโซเดียมไฮดรอกไซด์ที่มีความเข้มข้นต่ำ ส่วนกำลังอัดเฉลี่ยระหว่างจีโอ

พอลิเมอร์คอนกรีตกับเหล็ก มีค่าเพิ่มขึ้นตามความเข้มข้นของสารละลายโซเดียมไฮดรอกไซด์ที่เพิ่มขึ้น แต่กลับมีค่าต่ำลงเล็กน้อยที่ความเข้มข้น 14 โมลาร์

วิเชียร ชาลี และ กิตติกร เจริญพร้อม (2555) ได้ศึกษาผลของความเข้มข้นของสารละลายโซเดียมไฮดรอกไซด์ ( $\text{NaOH}$ ) และอัตราส่วน  $\text{Si}/\text{Al}$  ต่อกำลังอัดของจีโอพอลิเมอร์คอนกรีตจากถ่านหิน ที่ เช่น ในสารละลายแมกนีเซียมชัลฟีต ( $\text{MgSO}_4$ ) โดยเตรียมจีโอพอลิเมอร์คอนกรีตจากถ่านหินแม่เม้า โซเดียมซิลิกเกต ( $\text{Na}_2\text{SiO}_3$ ) และ โซเดียมไฮดรอกไซด์ ( $\text{NaOH}$ ) กลุ่มแรกใช้ความเข้มข้นของสารละลาย  $\text{NaOH}$  เท่ากับ 8, 10, 12, 14, 16, และ 18 โมลาร์ กำหนดอัตราส่วนของ  $\text{Si}/\text{Al}$  คงที่ 2 ใช้ความเข้มข้นของสารละลาย  $\text{NaOH}$  คงที่เท่ากับ 14 โมลาร์ และใช้อัตราส่วนของ  $\text{Si}/\text{Al}$  เท่ากับ 2.2, 2.4, 2.6, และ 2.8 หล่อตัวอย่างจีโอพอลิเมอร์คอนกรีตรูปทรงทรงกระบอกขนาดเส้นผ่านศูนย์กลาง 100 มม. สูง 200 มม. ทำการบ่มจีโอพอลิเมอร์คอนกรีตที่แข็งตัวแล้วในอากาศ และแช่ในสารละลายแมกนีเซียมชัลฟีตเข้มข้นร้อยละ 5 โดยน้ำหนัก ทดสอบกำลังอัดของจีโอพอลิเมอร์คอนกรีตหลังแช่ในสารละลายแมกนีเซียมชัลฟีตเป็นเวลา 90 และ 180 วัน ตลอดจนทดสอบกำลังอัดของจีโอพอลิเมอร์คอนกรีตที่บ่มในอากาศที่ อายุ 7, 14, 28, 60, 90 และ 180 วัน ผลการศึกษาพบว่า ความเข้มข้นของ  $\text{NaOH}$  ที่มากขึ้น ส่งผลให้กำลังอัดของจีโอพอลิเมอร์คอนกรีตจากถ่านหินมีค่าสูงขึ้น การสูญเสียกำลังอัดเนื่องจากสารละลายแมกนีเซียมชัลฟีตของจีโอพอลิเมอร์คอนกรีตมีค่าเพิ่มขึ้นตามความเข้มข้นของ  $\text{NaOH}$  และอัตราส่วน  $\text{Si}/\text{Al}$

จากการวิจัยที่ผ่านมาพบว่า สารจีโอพอลิเมอร์เป็นวัสดุเชื่อมประสาน ทำจากสารปอชโซลานที่ประกอบด้วยซิลิกาและอะลูมินาเป็นหลัก เมื่อผสมกับโซเดียมไฮดรอกไซด์ สารละลายโซเดียมซิลิกเกต และเร่งปฏิกิริยาด้วยความร้อน สามารถก่อตัวและแข็งตัวให้มีกำลังรับแรงได้ ซึ่งมีแนวโน้มที่จะสามารถใช้เป็นวัสดุประสานในการผลิตคอนกรีตบล็อกได้

## บทที่ 3

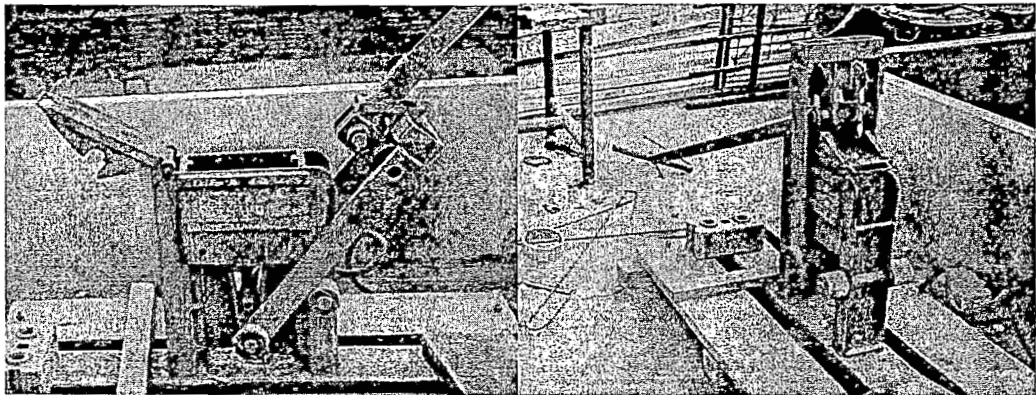
### อุปกรณ์และวิธีการทดสอบ

#### 3.1 วัสดุที่ใช้ในการทดสอบ

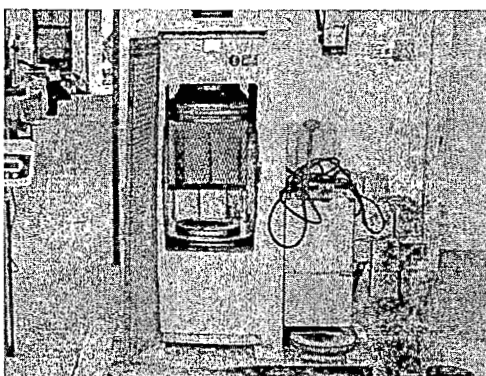
- 3.1.1 โซเดียมซิลิกาต (Na<sub>2</sub>O:SiO<sub>2</sub>) สารละลายน้ำโซเดียมซิลิกาตที่อัตราส่วน SiO<sub>2</sub>ต่อ Na<sub>2</sub>O เท่ากับ 3.4 ความถ่วงจำเพาะเท่ากับ 1.36 ที่อุณหภูมิ 30°C
- 3.1.2 เถ้าถ่านหิน (Fly Ash) ใช้ถ่านหิน Class F จาก โรงงานผลิตกระแสไฟฟ้าเมืองใน การทดสอบ
- 3.1.3 โซเดียมไฮดรอกไซด์ (NaOH) : โดยใช้ความเข้มข้นของสารละลายน้ำโซเดียมไฮดรอกไซด์ เท่ากับ 12, 14, 16 และ 18 โมลาร์
- 3.1.4 หินผุน

#### 3.2 อุปกรณ์และเครื่องมือทดสอบ

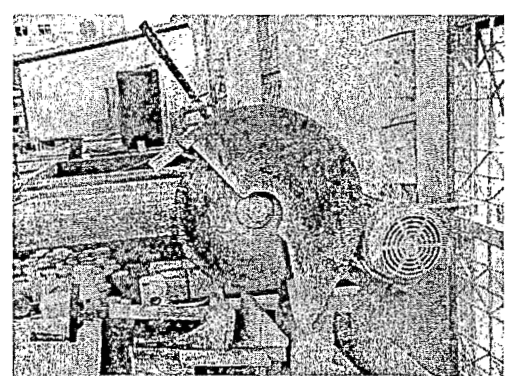
- 3.2.1 เครื่องอัดบล็อกคอนกรีต ชนิดซินวา-รัม (Cinva-ram)
  - เป็นเครื่องอัดดินซีเมนต์บล็อกแบบไม่ต้องใช้ไฟฟ้า (ดังรูปที่ 3.1 ก) เคลื่อนย้ายสะดวก แข็งแรงทนทาน สามารถอัดบล็อกได้ด้วยตนเอง คุณสมบัติพิเศษ ใช้แรงคนโดยอัดบล็อกด้วยคานทดสอบ อัดได้ครั้งละ 1 ก้อน ทำบล็อกประสานแบบเติมก้อนและครั้งก้อน ได้ในเครื่องเดียว อัตราการผลิต ประมาณ 300 -400 ก้อน ต่อวัน ตัวเครื่องผลิตจากเหล็กหนา แข็งแรงทนทานต่อการใช้งานหนัก ผลิต ก้อนขนาด 10 x 12.50 x 25 ซม.<sup>3</sup>. โดยใช้ 32 ก้อน ต่อ 1 ตร.ม.
- 3.2.2 เครื่องทดสอบกำลังอัด (รูปที่ 3.1 ข)
- 3.2.3 เครื่องตัดบล็อกคอนกรีต (รูปที่ 3.1 ค)
- 3.2.4 ตู้อบ (รูปที่ 3.1 ง)
- 3.2.5 เครื่องชั่งน้ำหนัก (รูปที่ 3.1 จ)
- 3.2.6 อุปกรณ์อื่นๆ เช่น ภาชนะผสมสาร เกรียง แผ่นพลาสติกใส



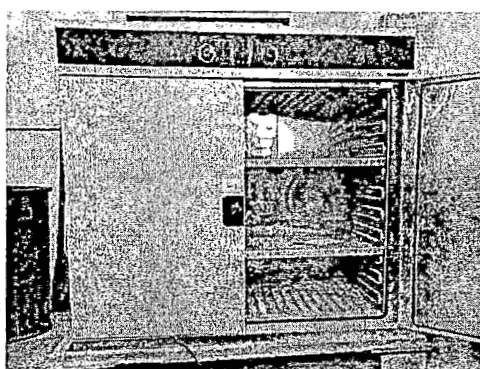
ก) เครื่องอัดบล็อกคอนกรีตชนิดชินวา-ราม (Cinva-ram)



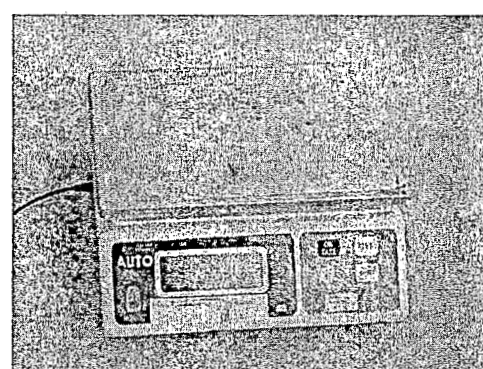
ข) เครื่องทดสอบกำลังยืด



ค) เครื่องตัดบล็อคคอนกรีต



ง) ตู้อบคอนกรีตบล็อค



จ) เครื่องซั่งน้ำหนัก

### รูปที่ 3.1 ขุปกรณ์และเครื่องมือทดสอบ

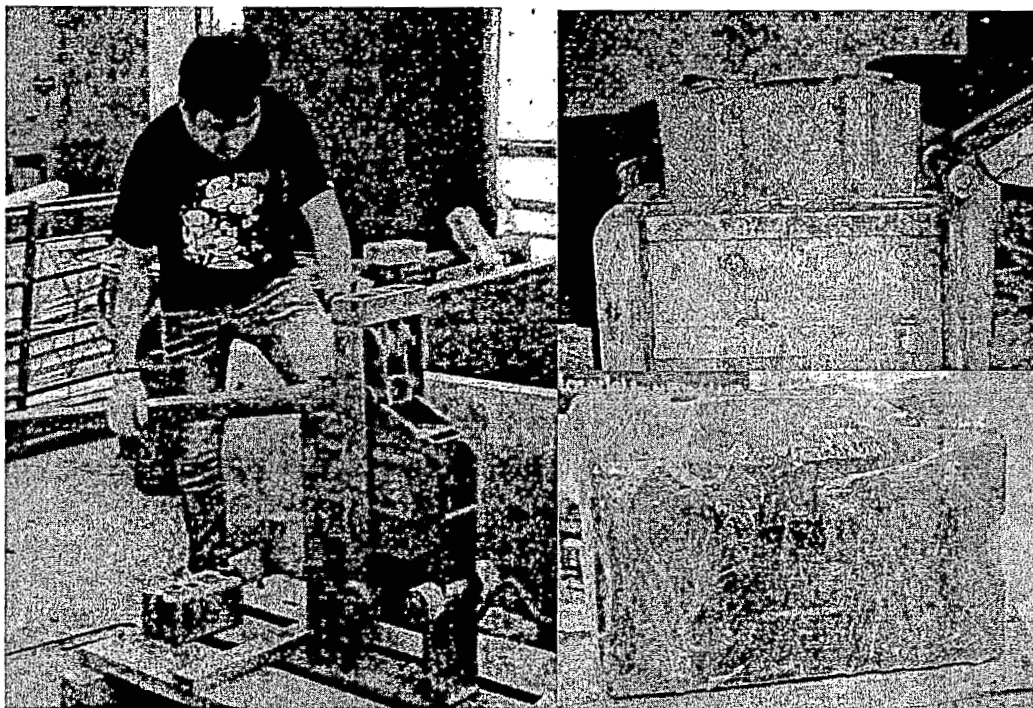
#### 3.3 การเตรียมตัวอย่างทดสอบ

งานวิจัยได้ศึกษาการผลิตคอนกรีตบล็อคชนิดรับน้ำหนักจากวัสดุจีโอพอลิเมอร์จากถ่านหินโดยเพริบมีจีโอพอลิเมอร์เพสต์จากถ่านหินแม่เม้า โซเดียมซิลิกเกต ( $Na_2SiO_3$ ) และโซเดียมไฮดรอกไซด์ ( $NaOH$ ) ซึ่งกำหนดอัตราส่วนโดยไมาร์ราห์ว่าง  $SiO_2/Al_2O_3$  คงที่ และใช้ความเข้มข้นของ

สารละลายน้ำดีมีไฮดรอกไซด์ เท่ากับ 12 14 16 และ 18 โมลาร์ และใช้หินผุนเป็นมวลรวมในสัดส่วนที่ต่างกัน 3 ขนาด โดยใช้อัตราส่วน เถ้าถ่านหิน:หินผุน เท่ากับ 1:4(S) 1:6(M) และ 1:8(L) โดยน้ำหนัก โดยมีส่วนผสมทึ้งหมด 12 ส่วนผสม ตามตารางที่ 3.1 ทำการอัดจีโอพอลิเมอร์คอนกรีตบล็อกโดยใช้เครื่องอัดชนิดชินวาร์เระดับรูปที่ 3.2 และบ่มจีโอพอลิเมอร์คอนกรีตบล็อกในอุณหภูมิห้องและที่อุณหภูมิ 65 °C เป็นเวลา 24 ชม. จากนั้นใช้พลาสติกใสพันรอบไว้และบ่มต่อเนื่องที่อุณหภูมิห้องจนถึงอายุทดสอบ

ตารางที่ 3.1 ส่วนผสมจีโอพอลิเมอร์คอนกรีตบล็อก

ส่วนผสม	ส่วนผสมจีโอพอลิเมอร์คอนกรีตบล็อก						ความ เข้มข้นของ NaOH (โม ลาร์)				
	เถ้าถ่านหิน (กรัม)	หินผุน (กรัม)			NaOH (กรัม)	$\text{Na}_2\text{O}:\text{SiO}_3$ (กรัม)					
		เถ้าถ่านหิน : หินผุน									
		1:4	1:6	1:8							
12M-S	1544	6176	0	0	336	668	12				
12M-M	1544	0	9264	0	336	668	12				
12M-L	1544	0	0	12352	336	668	12				
14M-S	1544	6176	0	0	336	668	14				
14M-M	1544	0	9264	0	336	668	14				
14M-L	1544	0	0	12352	336	668	14				
16M-S	1544	6176	0	0	336	668	14				
16M-M	1544	0	9264	0	336	668	14				
16M-L	1544	0	0	12352	336	668	16				
18M-S	1544	6176	0	0	336	668	12				
18M-M	1544	0	9264	0	336	668	18				
18M-L	1544	0	0	12352	336	668	18				



รูปที่ 3.2 การอัดเจ๊โอพอลิเมอร์คอนกรีตบล็อกโดยใช้เครื่องอัดชนิดชินวาเรม

### 3.4 การทดสอบตัวอย่างเจ๊โอพอลิเมอร์คอนกรีตบล็อก

การศึกษาครั้งนี้ได้ทำการทดสอบสมบัติของวัสดุที่ใช้ทำเจ๊โอพอลิเมอร์คอนกรีตบล็อก กำลังอัดและการดูดซึมน้ำของเจ๊โอพอลิเมอร์คอนกรีตบล็อก ดังนี้

3.4.1 ทดสอบคุณสมบัติทางกายภาพและองค์ประกอบเคมีของวัสดุประสานและมวลรวม ดังนี้

- ทดสอบความถ่วงจำเพาะของถ้าถ่านแม่เมะ โดยใช้ขวดทดลองมาตรฐานเหลาเตอลิเอร์ (Le Chatelier) ตามมาตรฐาน ASTM C 188 ซึ่งค่าความถ่วงจำเพาะเป็นอัตราส่วนระหว่างน้ำหนักของวัสดุต่อน้ำหนักของน้ำที่มีปริมาตรเท่ากับวัสดุนั้น โดยปริมาตรของวัสดุที่ทำการทดสอบหาได้จากการแทนที่ในน้ำมันก้าด หั้งนี้เนื่องจากปฏิกิริยาที่เกิดขึ้นระหว่างน้ำกับถ้าถ่านหิน ทำให้ถ้าถ่านหินอาจแข็งตัวและมีปริมาตรเปลี่ยนไปได้

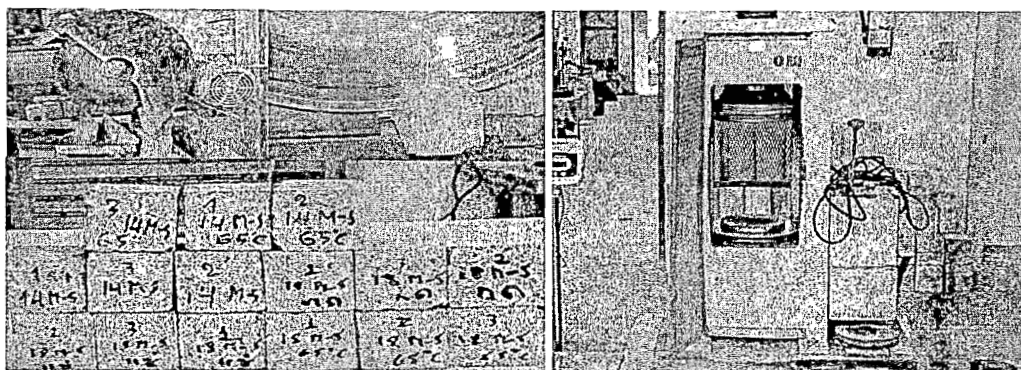
- ทดสอบความละเอียดของถ้าถ่านแม่เมะ โดยการร่อนผ่านตะแกรงมาตรฐานเบอร์ 325 (มีขนาดช่องเปิดเท่ากับ 45 ไมโครเมตร) ด้วยวิธีร่อนแบบเปียก ซึ่งทำโดยการหั่นน้ำหนักวัสดุก่อนนำไปร่อนผ่านตะแกรงโดยใช้น้ำ เมื่อน้ำไปอบให้แห้งจะได้ส่วนที่เหลือบนตะแกรง ซึ่งเป็นน้ำหนักที่ค้างบนตะแกรงมาตรฐานเบอร์ 325

- ส่งตัวอย่างวัสดุประสานถ่ายภาพขยายกำลังสูงของถ้าถ่านหิน วิเคราะห์องค์ประกอบทางเคมีของถ้าถ่านหิน

- ทดสอบหาค่าความถ่วงจำเพาะการดูดซึมน้ำของมวลรวมหยาน ตามมาตรฐาน ASTM C 127 ซึ่งความถ่วงจำเพาะของมวลรวม คือ อัตราส่วนของน้ำหนักมวลรวมในอากาศเทียบกับน้ำหนักของน้ำที่มีปริมาตรเท่ากันที่อุณหภูมิเดียวกัน และทำการทดสอบค่าการดูดซึมน้ำ เพื่อทราบถึงปริมาณน้ำที่ถูกดูดซึมเข้าไปจนเต็มช่องว่างที่น้ำซึมผ่านได้ของมวลรวม แต่ไม่รวมน้ำที่เกาะอยู่ผิวนอกของมวลรวม

### 3.4.2 การทดสอบกำลังอัด

ทดสอบกำลังอัดที่อายุ 7-14 และ 28 วัน โดยมีน้ำจืดอพอลิเมอร์คอนกรีตบล็อกที่อุณหภูมิห้องและอบในตู้อบที่อุณหภูมิ 65 °C เป็นเวลา 24 ชม. หลังจากนั้นใช้พลาสติกใสพันรอบและบ่มในอากาศจนถึงเวลาที่ทดสอบ เมื่อครบกำหนดทดสอบแต่ละก้อนของอิฐบล็อก ได้ตัดตัวอย่างจีโนพอลิเมอร์คอนกรีตบล็อกเป็นทรงลูกบาศก์ขนาด  $50 \times 50 \times 50$  มม.<sup>3</sup> ดังรูปที่ 3.3(ก) เพื่อใช้ทดสอบกำลังอัด (เฉลี่ยจาก 3 ก้อน) โดยใช้เครื่องทดสอบกำลังอัดขนาด 300 ตัน (รูป 3.3(ข))

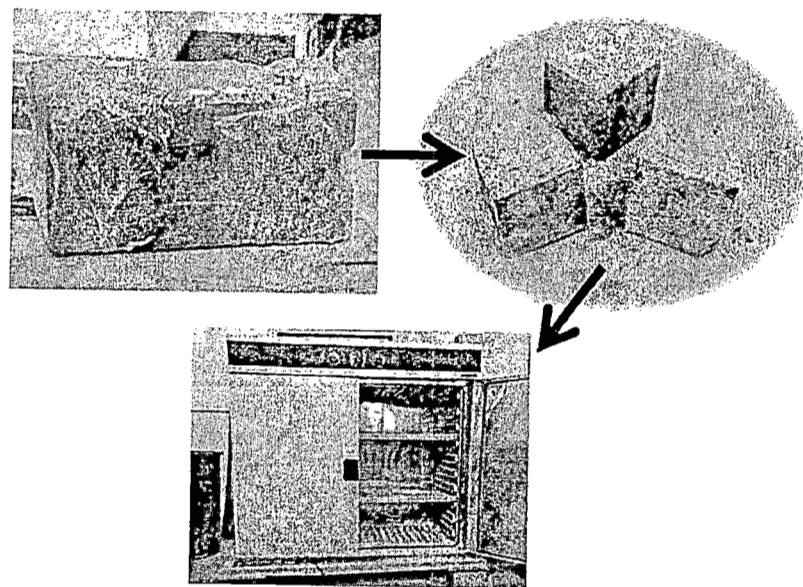


(ก) การตัดตัวอย่างจีโนพอลิเมอร์คอนกรีตบล็อก (ข) เครื่องทดสอบกำลังอัดขนาด 300 ตัน

รูปที่ 3.3 การเตรียมตัวอย่างจีโนพอลิเมอร์คอนกรีตบล็อกเพื่อทดสอบกำลังอัด

### 3.4.3 ทดสอบการดูดซึมน้ำ

ในการทดสอบการดูดซึมน้ำ (absorption test) ตามมาตรฐาน ASTM C642-97 ได้ตัดตัวอย่างคอนกรีตบล็อก ให้มีขนาด  $50 \times 50 \times 50$  มม.<sup>3</sup> (รูปที่ 3.4) โดยนำตัวอย่างคอนกรีตบล็อกเข้าเตาอบที่อุณหภูมิ 100 – 110 °C เป็นเวลา 24 ชั่วโมง ชั่งน้ำหนักตัวอย่างแล้วแร่ตัวอย่างคอนกรีตบล็อกให้จมอยู่ในน้ำเป็นเวลา 24 ชั่วโมง แล้วใช้ผ้าเช็ดให้แห้งโดยรอบอย่างเร็ว และชั่งน้ำหนัก ภายใน 5 นาที คำนวณหาร้อยละการดูดซึมน้ำของคอนกรีตบล็อก จากน้ำหนักตัวอย่างคอนกรีตบล็อกหลังจากแร่น้ำ 24 ชั่วโมง ลบตัวยกน้ำหนักคอนกรีตบล็อกที่อบแห้งหาร้อยละการดูดซึมน้ำที่อายุ 28 วัน



รูปที่ 3.4 การเตรียมตัวอย่างจีโอพอดิมอร์ค่อนกรีดบล็อกเพื่อทดสอบการดูดซึมน้ำ

## บทที่ 4

### ผลการศึกษาและการวิเคราะห์ผล

ในบทนี้กล่าวถึงผลการทดสอบคุณสมบัติของวัสดุที่ใช้ในการศึกษา และคุณสมบัติของจีโอพอดิเมอร์คอนกรีตบล็อกจากเด็กต่ำนhin ได้แก่ กำลังอัด และความหนาแน่นที่อายุ 7, 14, และ 28 วัน และเปอร์เซ็นต์การดูดซึมน้ำที่อายุ 28 วัน ของคอนกรีตบล็อกที่บ่มในอากาศและบ่มในอุณหภูมิ 65° ตามมาตรฐาน ASTM C138

#### 4.1 สมบัติของวัสดุทดสอบ

##### 4.1.1 สมบัติของวัสดุประสาน

###### 4.1.1.1 สมบัติทางกายภาพของเด็กต่ำนhin

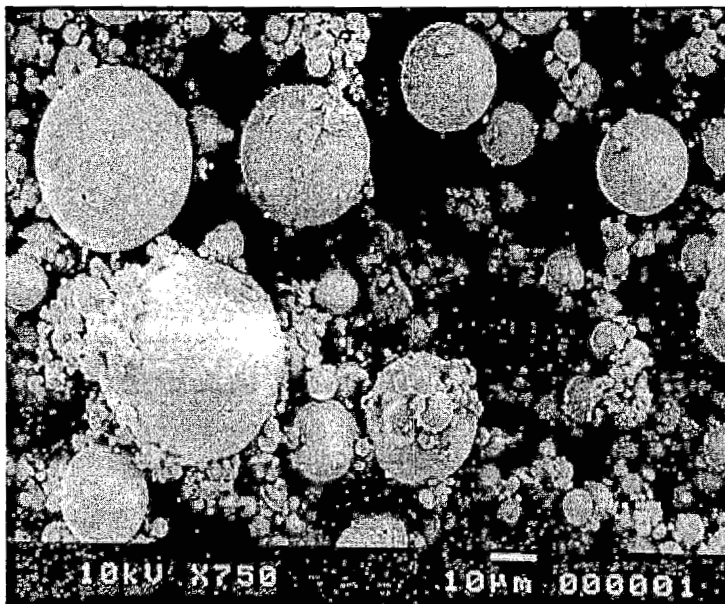
วัสดุประสานที่ใช้ในการศึกษารังนี้คือเด็กต่ำนhinลิกไนต์เมرم่าโดยมีคุณสมบัติดังนี้

###### 1. ความถ่วงจำเพาะและความละเอียดของเด็กต่ำนhin

เด็กต่ำนhinที่ได้โดยตรงจากโรงไฟฟ้าเมرم่า ซึ่งมีความถ่วงจำเพาะเท่ากับ 2.23 มีอนุภาคที่ค้างตะแกรงเบอร์ 325 ร้อยละ 32 และอยู่ในเกณฑ์มาตรฐาน ASTM C 618 ที่กำหนดไว้ไม่เกินร้อยละ 34 โดยน้ำหนัก มีขนาดอนุภาคเฉลี่ยที่ 30.4 ไมครอน ความละเอียดของเด็กต่ำนhinเป็นปัจจัยบ่งชี้ คุณสมบัติที่ดีอย่างหนึ่งเมื่อใช้เด็กต่ำนhinผสมคอนกรีต ความละเอียดของเด็กต่ำนhinมีความสำคัญ และส่งผลกระทบต่อคุณสมบัติของคอนกรีตอย่างมาก คือเมื่อเพิ่มความละเอียดของเด็กต่ำนhinให้สูงขึ้นพบว่าคุณสมบัติที่ดีของคอนกรีต ทั้งด้านกำลังอัด ความทึบนำไป และความสามารถในการเทของคอนกรีตเพิ่มขึ้นด้วย

###### 2. สีและรูปร่าง

เด็กต่ำนhinมีสีน้ำตาลแดงและมีรูปร่างกลมเป็นส่วนใหญ่เมื่อพิจารณารูปร่างของเด็กต่ำนhin จากภาพขยายกำลังสูงด้วยเครื่อง SEM แสดงดังรูปที่ 4.1 เด็กต่ำนhinขนาดเล็กจะมีทรงกลมและผิวเรียบและเด็กต่ำนhinขนาดใหญ่ที่เกิดจากการประทับกันของเด็กต่ำนhinขนาดเล็กจะมีรูปร่างที่ไม่แน่นอนผิวขรุขระและมีรูเล็กๆ ที่ผิว



รูปที่ 4.1 ภาพถ่ายขยายของถ้าถ่านหินแม่เมะ

#### 4.1.1.2 สมบัติทางเคมีของถ้าถ่านหิน

องค์ประกอบทางเคมีของถ้าถ่านหินแม่เมะ มีผลรวมของสารประกอบหลัก  $\text{SiO}_2$ ,  $\text{Al}_2\text{O}_3$ , และ  $\text{Fe}_2\text{O}_3$  เท่ากับร้อยละ 70.91 และ มีค่า LOI ร้อยละ 0.11 ซึ่งจัดเป็นถ้าถ่านหิน Class F ตามมาตรฐาน ASTM C 618 โดยองค์ประกอบทางเคมีของถ้าถ่านหินแสดงดังตารางที่ 4.1

ตารางที่ 4.1 องค์ประกอบทางเคมีของถ้าถ่านหิน

องค์ประกอบทางเคมี (%)	ถ้าถ่านหิน
Silicon Dioxide, $\text{SiO}_2$	34.10
Aluminum Oxide, $\text{Al}_2\text{O}_3$	19.90
Iron Oxide, $\text{Fe}_2\text{O}_3$	16.91
Calcium Oxide, $\text{CaO}$	18.75
Magnesium Oxide, $\text{MgO}$	-
Sodium Oxide, $\text{Na}_2\text{O}$	0.69
Potassium Oxide, $\text{K}_2\text{O}$	2.38
Sulfur Trioxide, $\text{SO}_3$	2.21
Loss On Ignition, LOI	0.11

#### 4.1.2 สมบัติของสารละลายที่ใช้ในการเตรียมจีโอพอลิเมอร์

สารละลายที่ใช้ในการเตรียมจีโอพอลิเมอร์เพื่อเป็นวัสดุประสานในคอนกรีตบล็อกประกอบด้วยสารละลายโซเดียมซิลิเกต ( $\text{Na}_2\text{SiO}_3$ ) ซึ่งอัตราส่วน  $\text{SiO}_2$  ต่อ  $\text{Na}_2\text{O}$  เท่ากับ 3.4 โดยน้ำหนัก ความต่อวงจำเพาะเท่ากับ 1.36 ที่อุณหภูมิ  $30^\circ\text{C}$  สารละลายโซเดียมไฮดรอกไซด์ ( $\text{NaOH}$ ) เช่นขั้น 12, 14, 16 และ 18 โมลาร์

#### 4.1.3 สมบัติของมวลรวม

มวลรวมที่ใช้ในการศึกษาครั้งนี้ ใช้หินผุนที่มีความต่อวงจำเพาะ และการดูดซึมน้ำของมวลรวมที่ทดสอบตามมาตรฐาน ASTM C127-88 เท่ากับ 2.67 และร้อยละ 9.58 ตามลำดับ

### 4.2 กำลังอัดของจีโอพอลิเมอร์คอนกรีตบล็อก

กำลังอัดของจีโอพอลิเมอร์คอนกรีตบล็อกที่ความเข้มข้นของสารละลายโซเดียมไฮดรอกไซด์เท่ากับ 12 14 16 และ 18 โมลาร์ ที่บ่มในอุณหภูมิห้อง และบ่มในอุณหภูมิ  $65^\circ\text{C}$  ดังตารางที่ 4.2

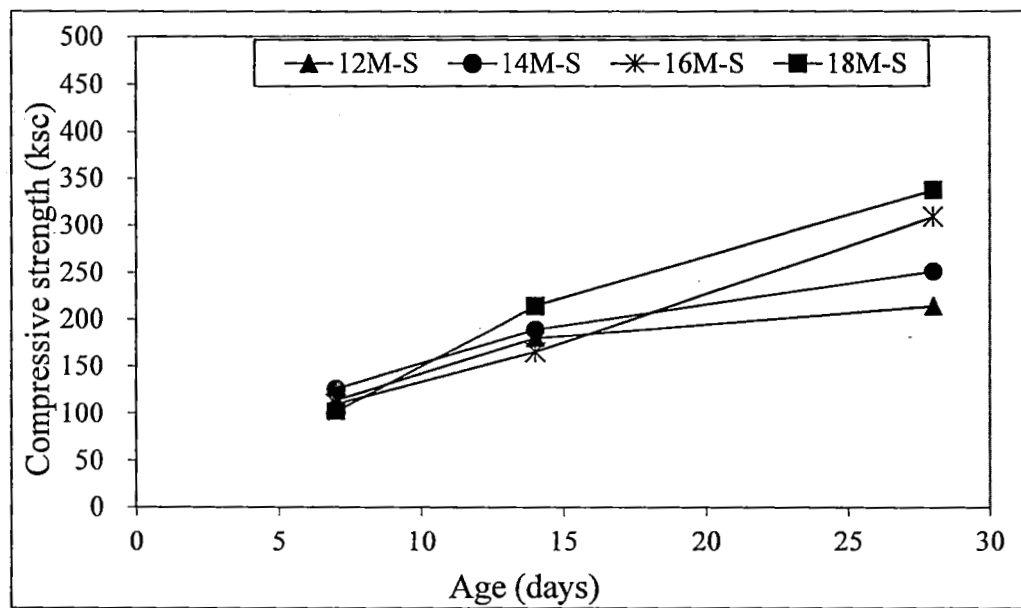
#### 4.2.1 การพัฒนากำลังอัดของจีโอพอลิเมอร์คอนกรีตบล็อก

เมื่อพิจารณาการพัฒนากำลังอัดของจีโอพอลิเมอร์คอนกรีตบล็อกดังตารางที่ 4.2 รวมทั้ง รูปที่ 4.2 และ 4.3 ที่แสดงความสัมพันธ์ระหว่างกำลังอัดและอายุบ่มจีโอพอลิเมอร์คอนกรีตบล็อกจากเด็กันหินที่บ่มในอุณหภูมิห้องและบ่มที่อุณหภูมิ  $65^\circ\text{C}$  ตามลำดับ ซึ่งพบว่า ทุกล่าวผสมมีการพัฒนากำลังอัดเพิ่มขึ้นตามระยะเวลา เช่น จีโอพอลิเมอร์คอนกรีตบล็อกที่ความเข้มข้นของสารละลายโซเดียมไฮดรอกไซด์เท่ากับ 12 โมลาร์ บ่มในอุณหภูมิห้อง และหินผุนที่ปริมาณ S M และ L มีกำลังอัดที่อายุ 7 วัน เท่ากับ 114 198 และ 155 กก./ซม.<sup>2</sup> ตามลำดับ และมีการพัฒนากำลังอัดเพิ่มขึ้นเป็น 214 268 และ 299 กก./ซม.<sup>2</sup> ที่อายุ 28 วัน ตามลำดับ ซึ่งแนวโน้มดังกล่าวนี้เป็นไปในทิศทางเดียวกับจีโอพอลิเมอร์คอนกรีตบล็อก ที่ความเข้มข้นของสารละลายโซเดียมไฮดรอกไซด์เท่ากับ 12 โมลาร์ ที่บ่มในอุณหภูมิ  $65^\circ\text{C}$  และ หินผุนที่ปริมาณ S M และ L มีกำลังอัดที่อายุ 7 วันเท่ากับ 227 271 และ 244 กก./ซม.<sup>2</sup> และมีการพัฒนากำลังอัดเพิ่มขึ้นเป็น 360 353 และ 403 กก./ซม.<sup>2</sup> ที่อายุคอนกรีต 28 วัน ตามลำดับ เมื่อพิจารณาการพัฒนากำลังอัดของจีโอพอลิเมอร์คอนกรีตบล็อกในรูปของร้อยละของกำลังอัดที่อายุ 28 วัน เทียบกับ 7 วัน โดยภาพรวมพบว่า การใช้สารละลายโซเดียมไฮดรอกไซด์ที่มีความเข้มข้นสูงขึ้น ไม่เกิน 16 โมลาร์ มีแนวโน้มให้ร้อยละของกำลังอัดที่อายุ 28 วัน เทียบกับ 7 วัน มีแนวโน้มสูงขึ้น และมีแนวโน้มลดลงเล็กน้อยเมื่อใช้ความเข้มข้นของสารละลายโซเดียมไฮดรอกไซด์ที่มีความเข้มข้นสูงถึง 18 โมลาร์ เช่น จีโอพอลิเมอร์คอนกรีตบล็อกที่ใช้ปริมาณมวลรวม M และใช้ความเข้มข้นของสารละลายโซเดียมไฮดรอกไซด์เท่ากับ 12 14 16 และ 18 โมลาร์ ที่บ่มในอุณหภูมิห้อง และบ่มในอุณหภูมิ  $65^\circ\text{C}$  มีร้อยละของกำลังอัดที่อายุ 28 วัน เทียบกับ 7 วัน เท่ากับ 135.4 176.7 207.5 193.2 และ 130.3 166.8 196.3 184.4 ตามลำดับ การที่กำลังอัดของจีโอพอลิเมอร์คอนกรีตบล็อกมีการพัฒนาสูงขึ้น ตามอายุการบ่ม เมื่อจากการเกิดปฏิกิริยาพอลิเมอร์ไรท์เชชั่น ปฏิกิริยานี้เป็นการทำปฏิกิริยาลูกโซ่ของ Si

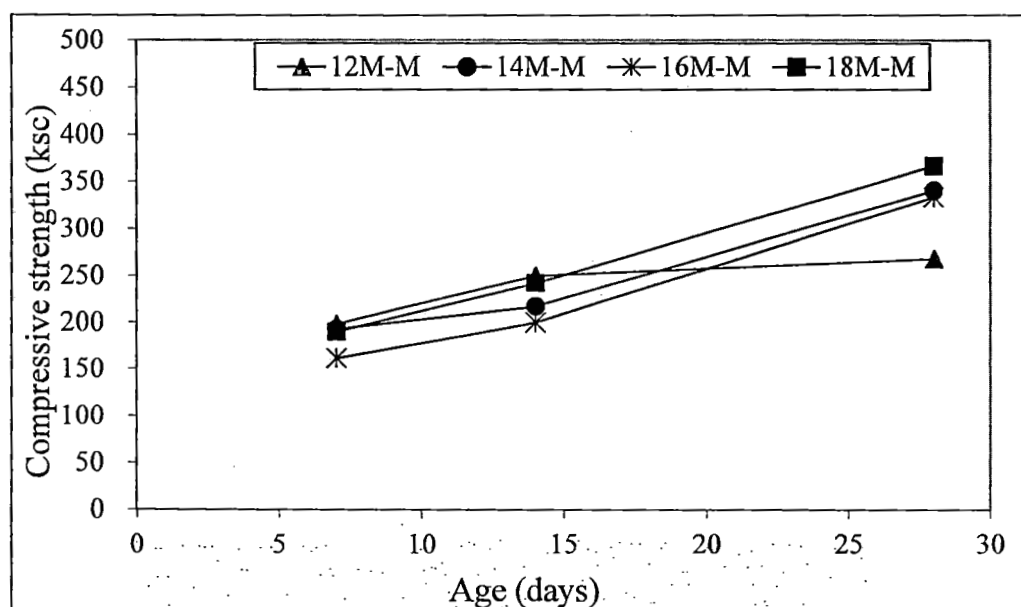
และ AI ซึ่งทำให้เกิดสมบัติในการยืดประสานกันระหว่างจีโอพอลิเมอร์และมวลรวมมากขึ้น ทำให้เกิดการอัดตัว เพิ่มความแข็งแรงคล้ายกับการก่อตัวและการแข็งตัวของชิเมนต์เพสต์ ทำให้จีโอพอลิเมอร์คงรูปรูปส์ลักษณะเดิมได้เป็นเวลานาน (Davidovits, 1991; Rattanasak *et al.*, 2009 ; Chindaprasirt *et al.*, 2009) เมื่อพิจารณาผลของอุณหภูมิที่ใช้บ่มจีโอพอลิเมอร์คงรูปรูปส์ลักษณะเดิมต่อการพัฒนาがらลังอัดของจีโอพอลิเมอร์คงรูปรูปส์ลักษณะเดิม พบว่า การบ่มจีโอพอลิเมอร์คงรูปรูปส์ลักษณะเดิมในอุณหภูมิห้องมีการพัฒนาがらลังอัดในรูปของร้อยละของがらลังอัดที่อายุ 28 วัน เทียบกับ 7 วัน สูงกว่ากลุ่มที่บ่มในอุณหภูมิ  $65^{\circ}\text{C}$  และเป็นแนวโน้มเดียวกันทุกส่วนผสม ทั้งนี้เนื่องจากจีโอพอลิเมอร์คงรูปรูปส์ลักษณะเดิมที่บ่มในตู้อบที่อุณหภูมิ  $65^{\circ}\text{C}$  เป็นการบ่มในช่วงอายุต้นๆ ซึ่งทำให้เร่งการเกิดปฏิกิริยาพอลิเมอร์ไรท์เซชันในช่วงต้นให้เร็วขึ้น (Sarker *et al.*, 2013 ; Chindaprasirt *et al.*, 2013) จึงส่งผลให้がらลังอัดของจีโอพอลิเมอร์คงรูปรูปส์ลักษณะเดิมกลุ่มนี้มีค่าสูงที่อายุต้นอยู่แล้ว และมีผลให้ร้อยละของがらลังอัดที่อายุ 28 วัน เทียบกับ 7 วัน มีค่าต่ำกว่ากลุ่มที่บ่มในอุณหภูมิห้อง

ตารางที่ 4.2 กำลังอัดของจีโอพอลิเมอร์คอนกรีตบล็อก

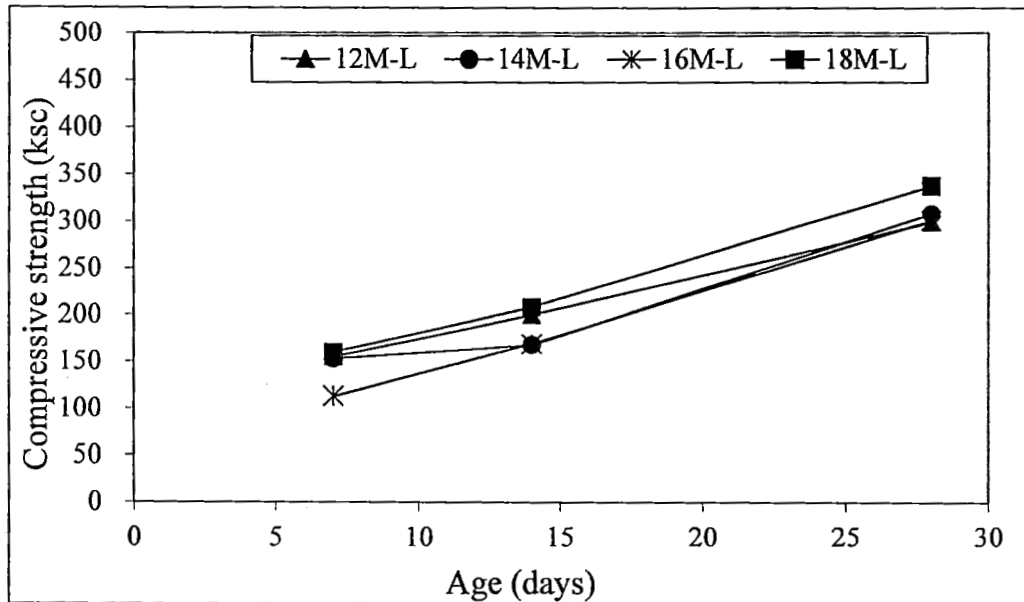
ส่วนผสม	บ่มที่อุณหภูมิห้อง				บ่มที่อุณหภูมิ 65°ช			
	กำลังอัด (กก/ซม <sup>2</sup> )			เทียบ 7 วัน (ร้อยละ)	กำลังอัด (กก/ซม <sup>2</sup> )			กำลังอัด 28 วัน เทียบ 7 วัน (ร้อยละ)
	7 วัน	14 วัน	28 วัน		7 วัน	14 วัน	28 วัน	
12 M-S	114	180	214	187.7	227	342	360	158.6
12M-M	198	250	268	135.4	271	330	353	130.3
12M-L	155	200	299	192.9	244	257	403	165.2
14M-S	126	189	251	199.2	239	352	380	159.0
14M-M	193	217	341	176.7	220	420	367	166.8
14M-L	153	168	308	201.3	264	350	413	166.3
16M-S	110	165	308	280.9	213	257	377	177.0
16M-M	161	200	334	201.3	219	263	430	196.3
16M-L	113	169	301	266.4	191	230	425	222.5
18M-S	102	214	338	331.4	151	223	358	237.1
18M-M	190	242	367	199.2	200	345	369	166.8
18M-L	160	208	338	201.3	220	355	414	188.2



ก) หินปูนปริมาณ S

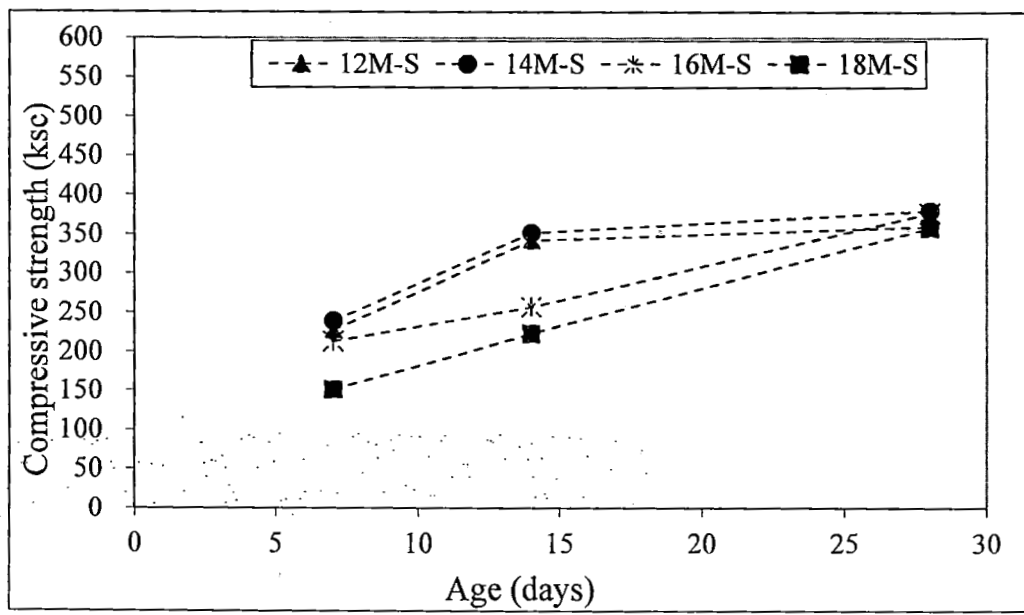


ข) หินปูนปริมาณ M

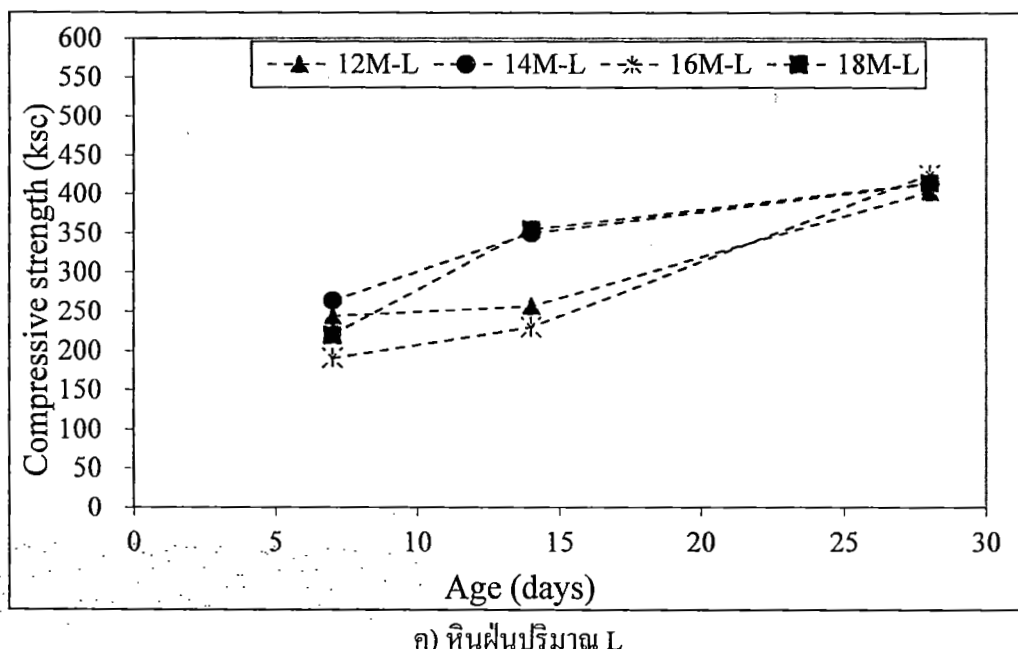
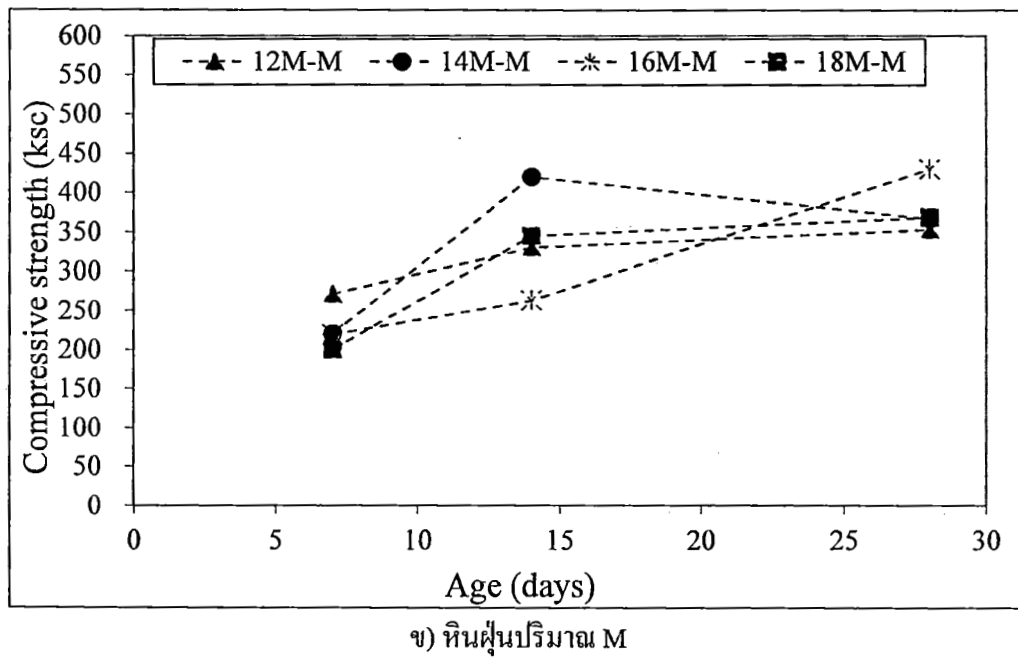


ก) หินผุนปริมาณ L

รูปที่ 4.2 ความสัมพันธ์ระหว่างกำลังอัดและอายุบ่มจีโอพอลิเมอร์คอนกรีตบล็อกจากเต้าถ่านหินที่บ่มในอุณหภูมิห้อง



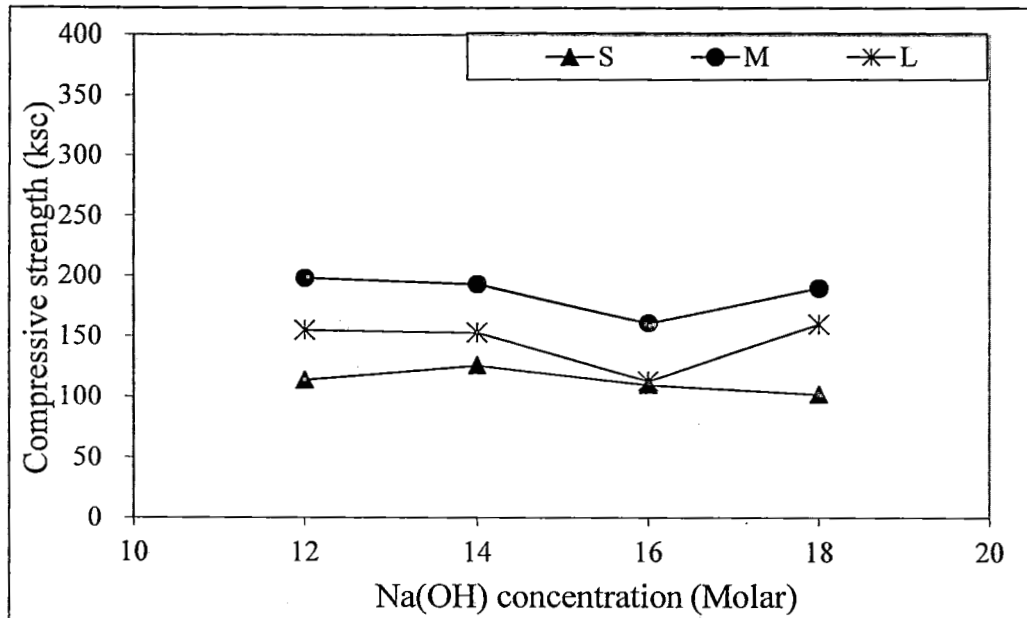
ก) หินผุนปริมาณ S



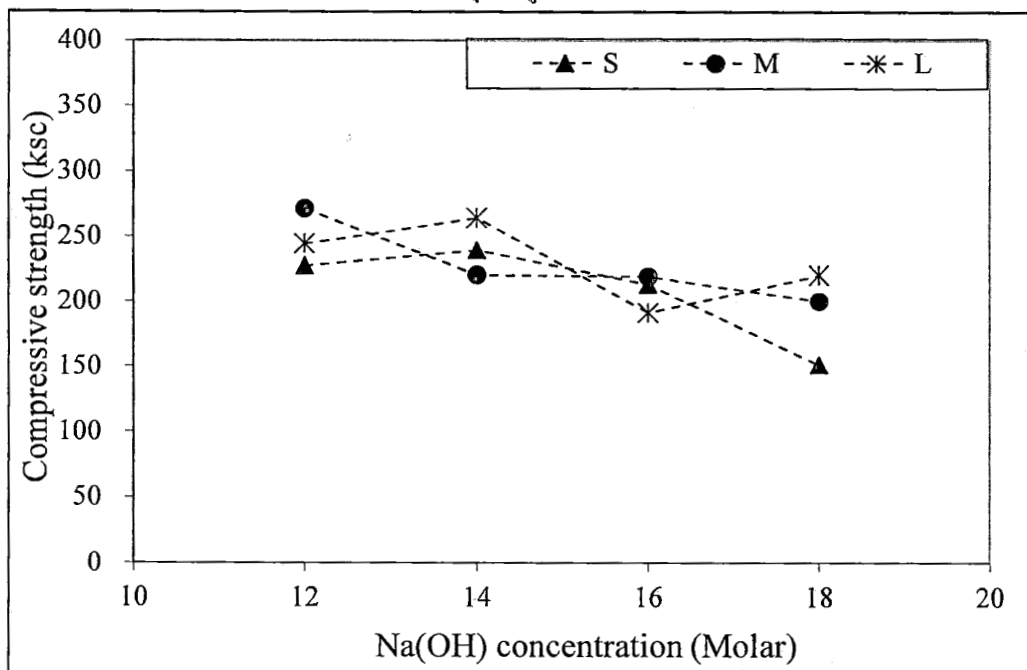
รูปที่ 4.3 ความสัมพันธ์ระหว่างกำลังอัดและอายุบ่มจีโอพอลิเมอร์คอนกรีตบล็อกจากถ่านหินที่บ่มในอุณหภูมิ 65° ช.

4.2.2 ผลของความเข้มข้นของโซเดียมไอกอกริกไซด์ต่อกำลังอัดของจีโอพอลิเมอร์คอนกรีตบล็อก เมื่อพิจารณาผลของความเข้มข้นของสารละลายโซเดียมไอกอกริกไซด์ต่อกำลังอัดของจีโอพอลิเมอร์คอนกรีตบล็อกที่อายุ 7 วัน ที่บ่มในอุณหภูมิห้องและบ่มในอุณหภูมิ 65° ช. ดังแสดงในรูปที่ 4.4(ก) และ 4.4(ข) ตามลำดับ พนว่า กำลังอัดของจีโอพอลิเมอร์คอนกรีตบล็อกมีแนวโน้มลดลงเล็กน้อยเมื่อใช้ความ

เข้มข้นของสารละลายโซเดียมไฮดรอกไซด์สูงขึ้น ซึ่งเป็นแนวโน้มเดียวกันทั้งกลุ่มที่บ่มในอุณหภูมิห้องและบ่มในอุณหภูมิ  $65^{\circ}\text{C}$ . ผลดังกล่าวอาจเกิดจากปริมาณของสารละลายโซเดียมไฮดรอกไซด์ที่มีความเข้มข้นสูงขึ้น ยังไม่สามารถเอาเชิงลึกและอุดมจากการถ่ายทอดจากตัวอย่างในช่วงอายุต้นๆ จึงทำให้มีปริมาณสารละลายโซเดียมไฮดรอกไซด์ที่มีความเข้มข้นสูงเหลืออยู่ในส่วนผสม โดยลักษณะของสารละลายโซเดียมไฮดรอกไซด์จะถูกทำให้เกิดการสูญเสียการยึดเหนี่ยวระหว่างโซเดียมไฮดรอกไซด์ที่มีความเข้มข้นสูงขึ้น มีค่าต่ำลงในช่วงอายุต้นๆ ได้ เมื่อพิจารณาผลของความเข้มข้นของสารละลายโซเดียมไฮดรอกไซด์ต่อกำลังอัดของโซเดียมไฮดรอกไซด์จะลดลงเมื่อเวลาผ่านไป ตามที่แสดงในรูปที่ 4.5(ก) และ 4.5(ข) ตามลำดับ กลับพบว่า กำลังอัดของโซเดียมไฮดรอกไซด์ต่อกำลังอัดของโซเดียมไฮดรอกไซด์ที่ใช้วัตถุรวมปริมาณ S และใช้ความเข้มข้นของสารละลายโซเดียมไฮดรอกไซด์เท่ากับ 12 14 16 และ 18 โมลาร์ ที่บ่มในอุณหภูมิห้อง มีกำลังอัดที่อายุ 28 วัน เท่ากับ 214 251 309 และ 338 กก./ซม.<sup>2</sup> ตามลำดับ การเพิ่มขึ้นของกำลังอัดในโซเดียมไฮดรอกไซด์ที่ใช้ความเข้มข้นของสารละลายโซเดียมไฮดรอกไซด์ที่มากขึ้น อาจเป็นผลจากสารละลายโซเดียมไฮดรอกไซด์ที่มีความเข้มข้นสูงขึ้น สามารถเอาเชิงลึกและอุดมจากการถ่ายทอดจากตัวอย่างในช่วงอายุต้นๆ ซึ่งทำให้เกิดปฏิกิริยาพอลิเมอร์ไรท์เซนต์ได้สมบูรณ์ และส่งผลให้โซเดียมไฮดรอกไซด์ที่มากขึ้น อาจเป็นผลของการถ่ายทอดของสารละลายโซเดียมไฮดรอกไซด์ที่สูง (สูงกว่า 15 โมลาร์) ซึ่งอาจเป็นผลจากการถ่ายทอดของสารละลายโซเดียมไฮดรอกไซด์ที่มีความเข้มข้นสูงมาก มีความหนืดมากขึ้นและส่งผลให้การระเหาเชิงลึกและอุดมจากการถ่ายทอดจากตัวอย่างในช่วงต้นๆ นอกจากนั้น กำลังอัดของโซเดียมไฮดรอกไซด์ที่สูงขึ้นกับการขัดตัวเชิงกลของบล็อกคอนกรีตที่ส่งผลให้วัสดุประสานและมวลรวมมีการอัดตัวกันแน่นขึ้น และส่งผลให้กำลังอัดคอนกรีตบล็อกสูงขึ้นอีกด้วย

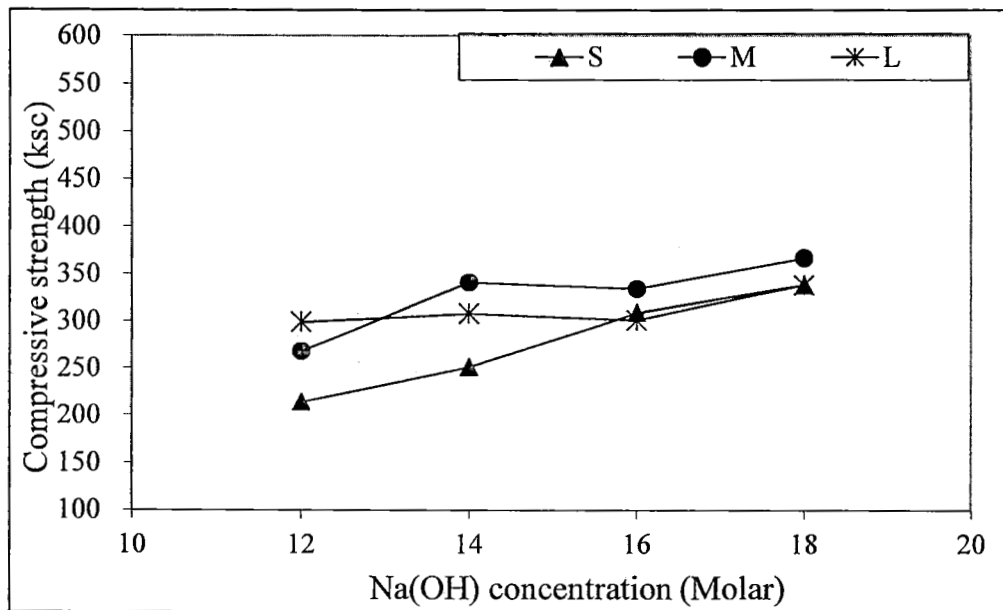


(ก) บ่มที่อุณหภูมิห้อง

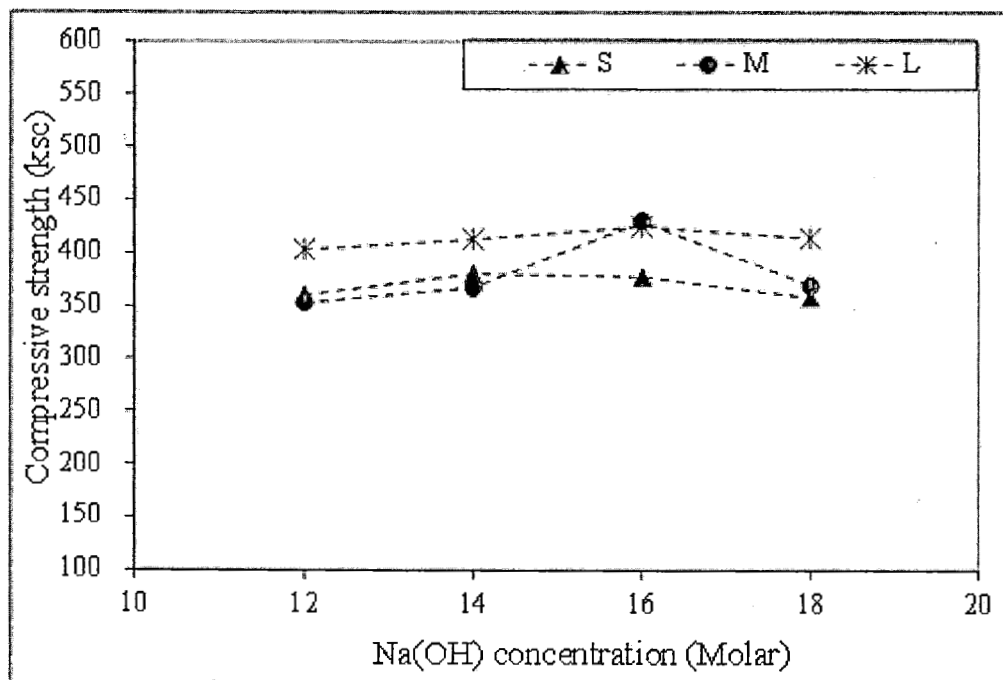


(ข) บ่มที่อุณหภูมิ 65°C

รูปที่ 4.4 ผลของความเข้มข้นของสารละลายน้ำเดี่ยมไฮดรอกไซด์ต่อกำลังอัดของจีโอพอลิเมอร์  
ก่อนกรีดบล็อกที่อายุ 7 วัน



ก) บ่มที่อุณหภูมิห้อง



ข) บ่มที่อุณหภูมิ 65°ช

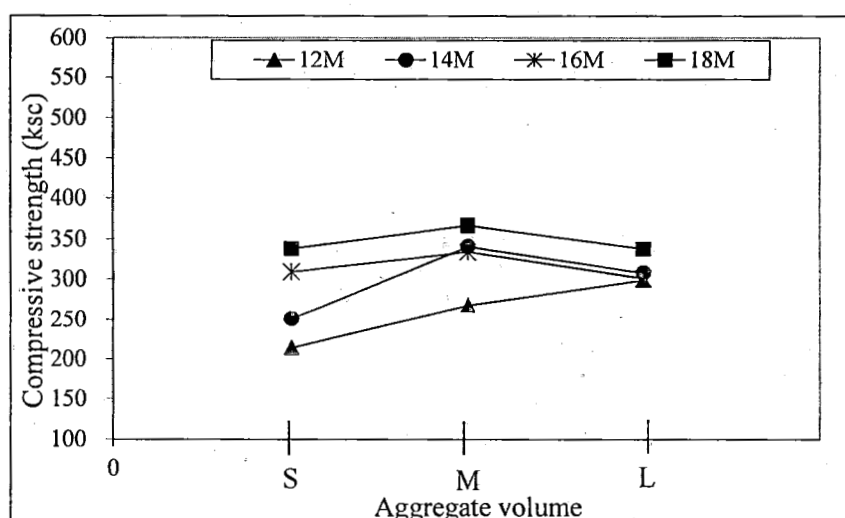
รูปที่ 4.5 ผลของความเข้มข้นของสารละลายโซเดียมไฮดรอกไซด์ต่อกำลังอัดของจีโอพอลิเมอร์คอนกรีตบล็อกที่อายุ 28 วัน

#### 4.2.3 ผลของปริมาณมวลรวมต่อกำลังอัดของจีโอพอลิเมอร์คอนกรีตบล็อก

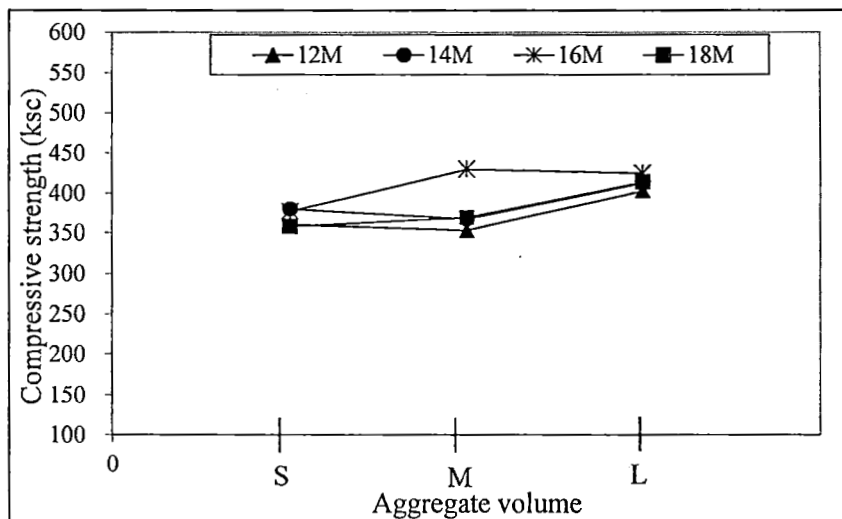
เมื่อพิจารณาผลของปริมาณมวลรวมต่อกำลังอัดของจีโอพอลิเมอร์คอนกรีตบล็อก ที่บ่มในอุณหภูมิห้องและบ่มในอุณหภูมิ 65°ช ที่ อายุ 28 วัน ดังแสดงในรูปที่ 4.6(ก) และ 4.6(ข) ตามลำดับ เมื่อ

พิจารณาค่าถ่วงที่บ่มในอุณหภูมิห้อง พนวฯ จีโอพอลิเมอร์คอนกรีตบล็อกที่ใช้มวลรวมปริมาณ M ส่างผลให้กำลังอัดของจีโอพอลิเมอร์คอนกรีตบล็อกมีแนวโน้มสูงสุด และกำลังอัดของจีโอพอลิเมอร์คอนกรีตบล็อกมีแนวโน้มลดลงเมื่อใช้ปริมาณมวลรวมมากขึ้นเป็น L เช่น กำลังอัดของจีโอพอลิเมอร์คอนกรีตบล็อกที่ใช้สารละลายโซเดียมไฮดรอกไซด์ความเข้มข้นเท่ากับ 14 โมลาร์ ที่อายุ 28 วัน เมื่อใช้ปริมาณของมวลรวม S M และ L ให้กำลังอัดที่อายุ 28 วัน เท่ากับ 251.341 และ 308 กก./ซม.<sup>2</sup> ตามลำดับ ผลการศึกษาครั้งนี้เป็นที่น่าสังเกตว่า การใช้ปริมาณมวลรวมที่มากเกินไป ส่างผลให้กำลังอัดของจีโอพอลิเมอร์คอนกรีตบล็อกต่ำลง น่าจะเป็นผลจากหินฝุ่นที่มากขึ้น ส่างผลให้ปริมาณของวัสดุประสาน ในส่วนผสมลดลง จึงมีผลให้การยึดเกาะระหว่างผิวของมวลรวมมีน้อย ความแข็งแรงของคอนกรีตบล็อกจึงต่ำลงด้วย ขณะเดียวกันการใช้ปริมาณมวลรวมที่ต่ำเกินไป อาจทำให้มวลรวมที่มีความแข็งแรงที่ช่วยรับแรงอัดมีปริมาณน้อยลง จึงทำให้การรับแรงของจีโอพอลิเมอร์คอนกรีตบล็อกลดลงได้ การรับแรงของคอนกรีตบล็อกเป็นไปในสองลักษณะ คือ ผลของการอัดตัวของมวลรวม (packing effect) กับผลจากการยึดเกาะของวัสดุประสาน (Tangpagasit et al., 2005) ซึ่งขึ้นกับสมบัติของจีโอพอลิเมอร์เพสต์ ดังนั้น การใช้มวลรวมที่มีปริมาณสูงมากไปการยึดประสานก็ต่ำลง มีผลให้กำลังอัดต่ำลงได้ หรือการมวลรวมที่มีปริมาณน้อยไปอาจส่งผลต่อการอัดตัวของคอนกรีตบล็อกที่มีมวลรวมน้อยไป ก็จะต้านการรับแรงเชิงกลได้ต่ำลง (Joseph and Mathew, 2012)

เมื่อพิจารณาค่าถ่วงที่บ่มในอุณหภูมิ 65° พบว่า การใช้มวลรวมที่มีปริมาณมากขึ้น มีแนวโน้ม ให้กำลังอัดของจีโอพอลิเมอร์คอนกรีตบล็อกมีแนวโน้มสูงขึ้น ซึ่งอาจเป็นผลจากเพสต์ที่เกิดจากการบ่มที่อุณหภูมิสูง มีคุณภาพดี จึงส่งผลให้การยึดเกาะได้ดีขึ้น ถึงแม้วัสดุจะมีปริมาณสูง นอกจากนี้ความแข็งแรงของคอนกรีตบล็อกไม่ได้มีปัญหาที่จุดยึดประสานระหว่างมวลรวมกับจีโอพอลิเมอร์เพสต์ ดังนั้นการเพิ่มปริมาณมวลรวมที่มีความแข็งแรง จะช่วยให้คอนกรีตบล็อกมีความแข็งแรงเพิ่มขึ้น ซึ่งอาจเป็นผลจากการอัดตัวของมวลรวม



ก) บ่มที่อุณหภูมิห้อง



ฯ) บ่มที่อุณหภูมิ 65°ช

รูปที่ 4.6 ผลของปริมาณมวลรวมต่อกำลังอัดของจีโอพอลิเมอร์คอนกรีตบล็อกที่อายุ 28 วัน

#### 4.2.4 ผลของอุณหภูมิต่อกำลังอัดของจีโอพอลิเมอร์คอนกรีตบล็อก

เมื่อพิจารณาผลของอุณหภูมิต่อกำลังอัดที่อายุ 7 และ 28 วัน ของคอนกรีตบล็อกที่ใช้มวลรวมปริมาณ S M และ L ดังแสดงในรูปที่ 4.7 และ 4.8 ตามลำดับ พบว่า อุณหภูมิในการบ่มคอนกรีตบล็อกที่สูงขึ้น ส่งผลให้กำลังอัดที่อายุ 7 และ 28 วัน มีค่าสูงขึ้น โดยมีแนวโน้มเหมือนกันในทุกความเข้มข้นของ NaOH และทุกกลุ่มของปริมาณมวลรวมหมายที่ต่างกัน การที่อุณหภูมิสูงขึ้นมีผลต่อการเพิ่มของกำลังอัดในจีโอพอลิเมอร์คอนกรีตบล็อก เป็นผลจากการเพิ่มอุณหภูมิในการบ่มเป็นตัวเร่งปฏิกิริยาจีโอพอลิเมอร์ เช่น ให้เกิดปฏิกิริยาไดเร็วและสมบูรณ์มากขึ้น (Sarker et al., 2013 ; Chindaprasirt et al., 2013)

พิจารณาประสิทธิภาพของอุณหภูมิบ่ม (Effective curing temperature) ต่อกำลังอัดจีโอพอลิเมอร์ คอนกรีตบล็อกตามสมการที่ (1)

$$E_T = \frac{[(C_{65} - C_R) \times 100]}{C_R} \quad (1)$$

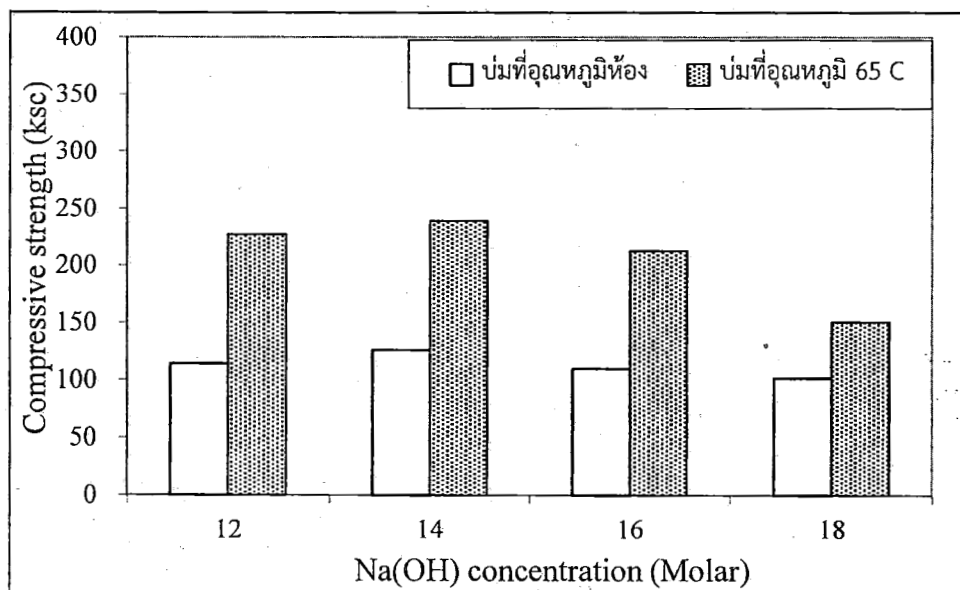
เมื่อ  $E_T$  = ประสิทธิภาพของอุณหภูมิบ่ม (ร้อยละ)

$C_{65}$  = กำลังอัดจีโอพอลิเมอร์คอนกรีตบล็อกที่บ่มในอุณหภูมิ 65 °ช (กก/ซม<sup>2</sup>)

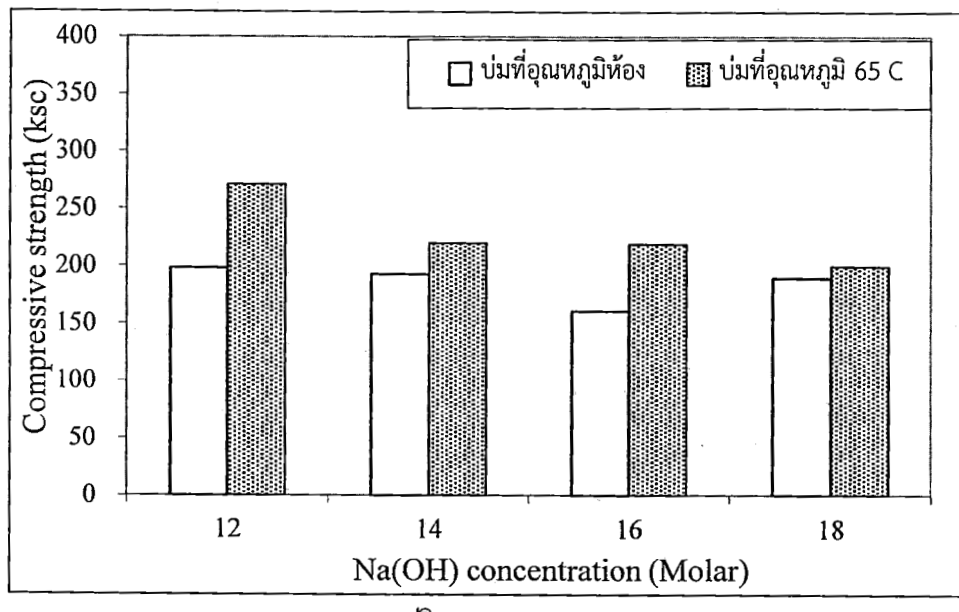
$C_R$  = กำลังอัดจีโอพอลิเมอร์คอนกรีตบล็อกที่บ่มในอุณหภูมิห้อง (กก/ซม<sup>2</sup>)

เมื่อพิจารณาผลของความเข้มข้นของสารละลายน้ำเดย์มายไซดรอกไซด์ต่อประสิทธิภาพของอุณหภูมิบ่มในจีโอพอลิเมอร์คอนกรีตบล็อก ที่ใช้มวลรวมปริมาณ S ที่อายุ 7 และ 28 วัน ดังรูปที่ 4.9 พบว่า การใช้ความเข้มข้นของสารละลายน้ำเดย์มายไซดรอกไซด์สูงขึ้น ส่งผลให้ประสิทธิภาพของอุณหภูมิที่ใช้บ่มจีโอพอลิเมอร์คอนกรีตบล็อกลดลงอย่างชัดเจน โดยมีแนวโน้มเหมือนกันทั้งที่อายุ 7 และ 28 วัน เช่น จีโอพอลิเมอร์

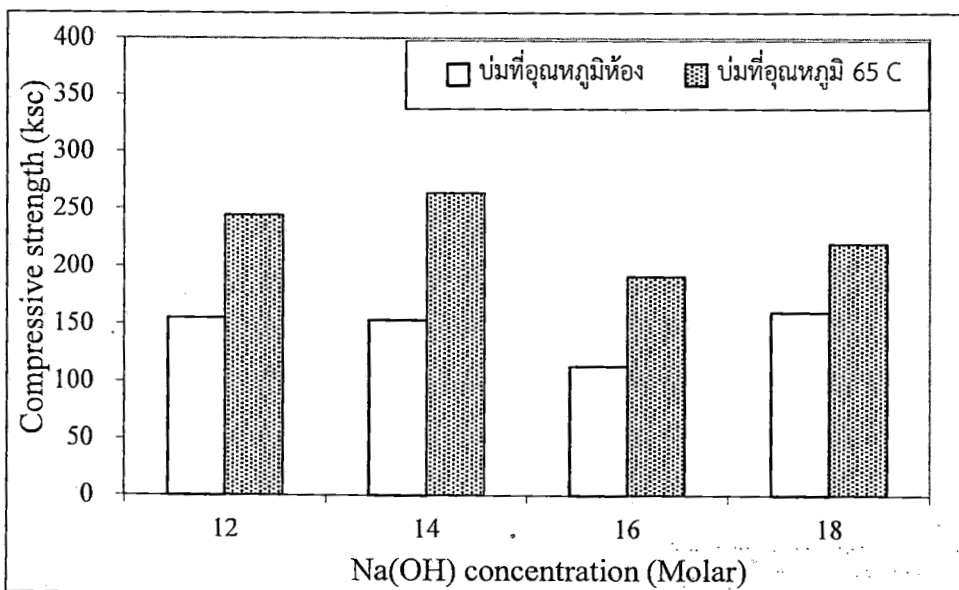
กอนกรีตบล็อกที่ใช้มวลรวมปริมาณ S และใช้ความเข้มข้นของสารละลายน้ำซึ่งเดิมไม่ได้รอกไซด์เท่ากับ 12 14 16 และ 18 มอลาร์ ให้ประสิทธิภาพของอุณหภูมินั่นที่อายุ 28 วัน เท่ากับ ร้อยละ 68.2 51.6 22.0 และ 5.9 ตามลำดับ ซึ่งแสดงให้เห็นว่า การใช้อุณหภูมินั่นที่สูงขึ้น มีผลต่อการเพิ่มกำลังอัดของจีโอพอลิเมอร์ กอนกรีตบล็อก ในกลุ่มที่ใช้สารละลายน้ำซึ่งเดิมไม่ได้รอกไซด์ที่มีความเข้มข้นต่ำกว่าความเข้มข้นสูง การที่อุณหภูมินั่นสูงขึ้น มีประสิทธิภาพต่อการเพิ่มกำลังอัดของจีโอพอลิเมอร์กอนกรีตบล็อก เมื่อใช้ความเข้มข้นของสารละลายน้ำซึ่งเดิมไม่ได้รอกไซด์ต่ำลง น่าจะเป็นผลจากสารละลายน้ำซึ่งเดิมไม่ได้รอกไซด์ที่มีความเข้มข้นสูง สามารถชะลอชีวภาพและอุดมินาจากถ่านหินได้มาก และทำให้เกิดปฏิกิริยาพอลิเมอร์ไวร์เรชันที่ส่งผลให้จีโอพอลิเมอร์กอนกรีตบล็อกมีกำลังอัดสูงได้ในอุณหภูมิห้องอยู่แล้ว (Hanjitsuwan *et al.*, 2014 ; Palomo *et al.*, 1999) โดยไม่จำเป็นต้องกระตุ้นปฏิกิริยาโดยใช้อุณหภูมิที่สูงขึ้น ส่วนกลุ่มที่ใช้สารละลายน้ำซึ่งเดิมไม่ได้รอกไซด์ที่มีความเข้มข้นต่ำ จะมีปริมาณของชีวภาพและอุดมินาที่ถูกชะจากถ่านหินลดลง ดังนี้การกระตุ้นให้เกิดปฏิกิริยาพอลิเมอร์กอนกรีตบล็อกกลุ่มนี้อย่างตัดเจน นอกจากนั้น การศึกษาครั้งนี้พบว่าการใช้อุณหภูมินั่นที่สูงขึ้น มีประสิทธิภาพต่อการเพิ่มกำลังอัดของจีโอพอลิเมอร์กอนกรีตบล็อกในช่วงอายุต้นๆ (7 วัน) มากกว่า อายุที่นานขึ้น (28 วัน) ทั้งนี้เนื่องจากการกระตุ้นการเกิดปฏิกิริยาพอลิเมอร์กอนกรีตบล็อกในช่วงต้นๆ โดยใช้อุณหภูมินั่นที่สูง ดังกล่าว เกิดขึ้นในช่วงอายุต้นๆ ของการบ่มจีโอพอลิเมอร์กอนกรีตบล็อก (Chindaprasirt *et al.*, 2013)



ก) ปริมาณมวลรวม S

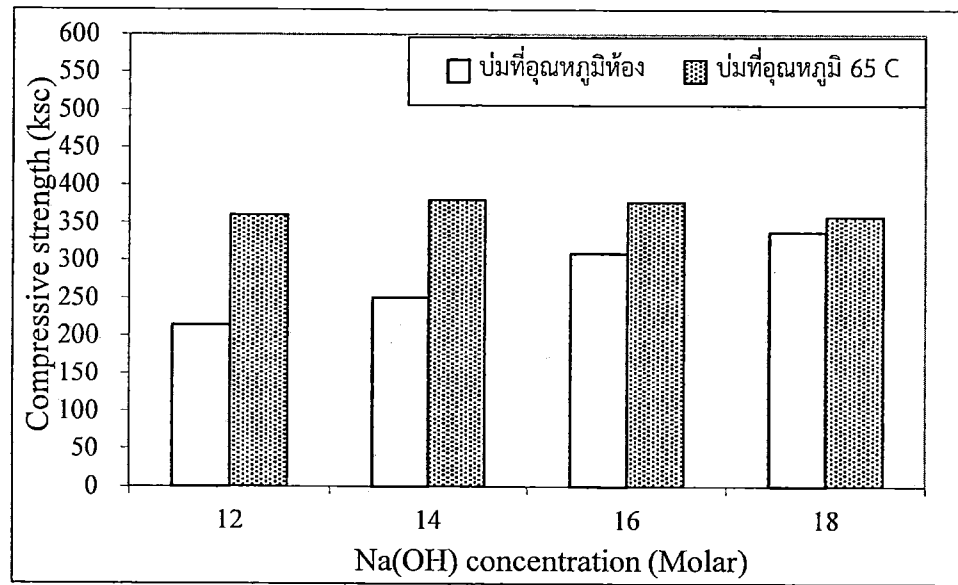


ข) ปริมาณมวลรวม M

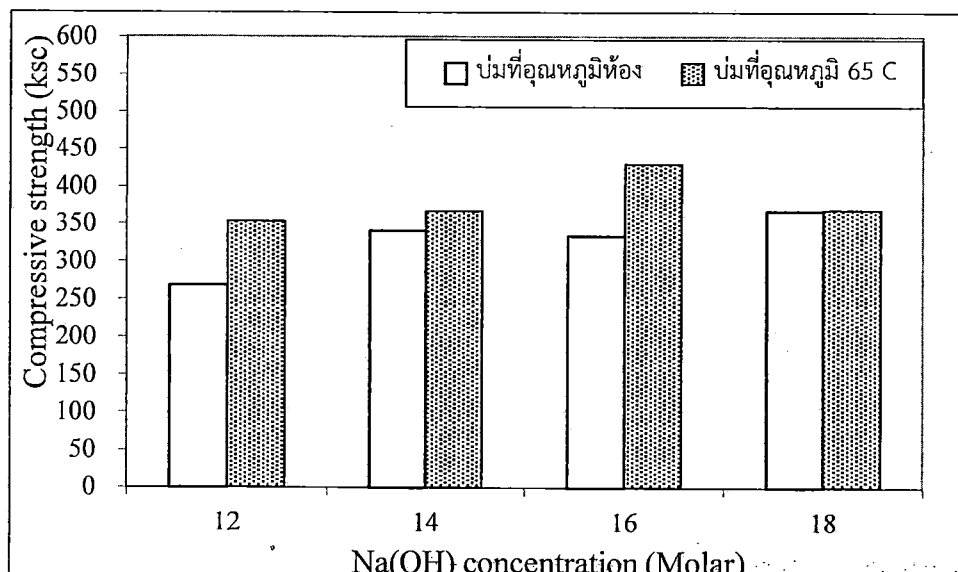


ค) ปริมาณมวลรวม L

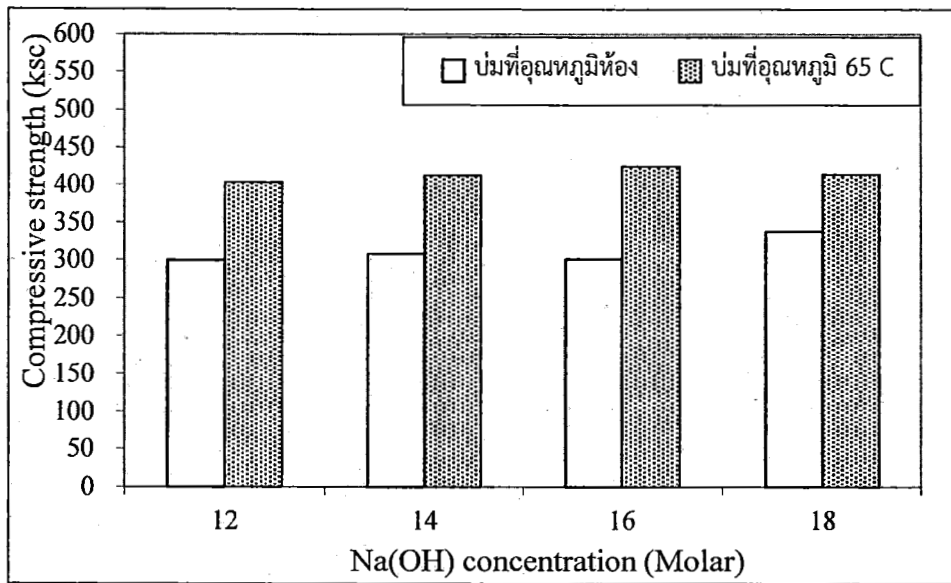
รูปที่ 4.7 ผลของอุณหภูมิบ่มต่อกำลังอัดของจีโอพอลิเมอร์คอนกรีตบล็อกที่อายุ 7 วัน



ก) ปริมาณมวลรวม S

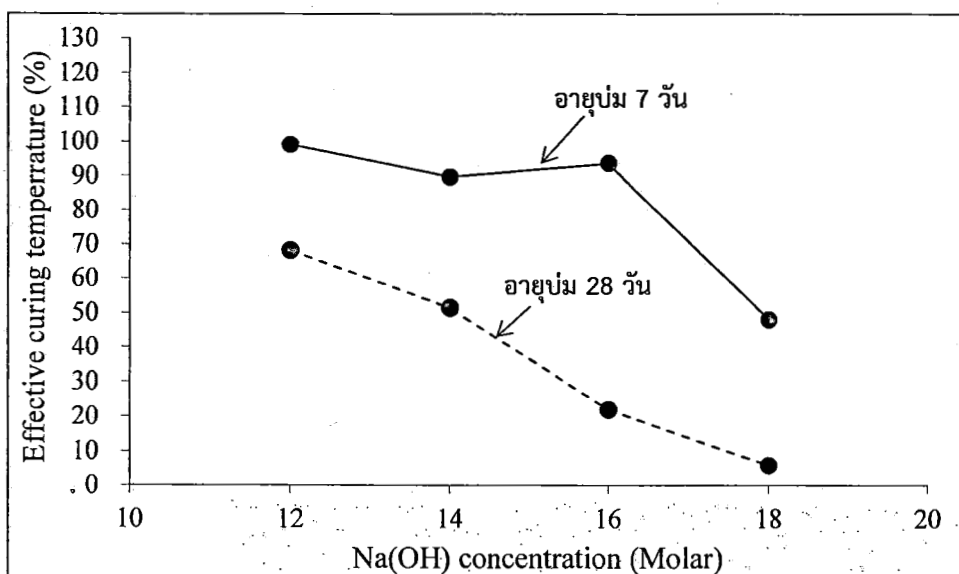


ข) ปริมาณมวลรวม M



ค) ปริมาณมวลรวม L

รูปที่ 4.8 ผลของอุณหภูมิน้ำมันต่อกำลังอัดของจีโอพอลิเมอร์คอนกรีตบล็อกที่อายุ 28 วัน



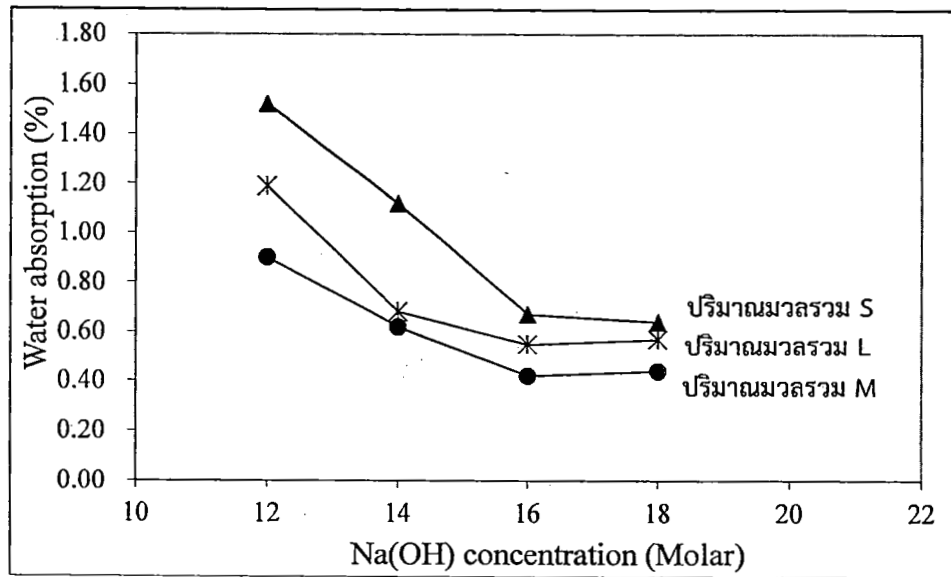
รูปที่ 4.9 ผลของความเข้มข้นของสารละลายโซเดียมไฮดรอกไซด์ต่อประสิทธิภาพของอุณหภูมิน้ำมันในจีโอพอลิเมอร์คอนกรีตบล็อกที่ใช้มวลรวมปริมาณ S ที่อายุ 7 และ 28 วัน

### 4.3 การคุณน้ำของจีโอพอลิเมอร์คอนกรีตบล็อก

เมื่อพิจารณาผลของการเพิ่มความเข้มข้นของสารละลายโซเดียมไฮดรอกไซด์ต่อการคุณน้ำของจีโอพอลิเมอร์คอนกรีตบล็อก ในกลุ่มน้ำมันในอุณหภูมิห้องดังรูปที่ 4.10 พบว่า การใช้สารละลายโซเดียมไฮดรอกไซด์ที่มีความเข้มข้นสูงขึ้น ส่งผลให้การคุณน้ำในจีโอพอลิเมอร์คอนกรีตบล็อกต่ำลง และให้แนวโน้มในทิศทางเดียวกันในปริมาณหินผุนทั้ง 3 กลุ่ม เช่น การใช้มวลรวมปริมาณ S ในจีโอพอลิเมอร์คอนกรีตบล็อก

ที่ใช้ความเข้มข้นของสารละลายโซเดียมไฮดรอกไซด์เท่ากับ 12 14 16 และ 18 มอลาร์ ที่บ่มในอุณหภูมิห้อง ให้การคุณซึ่มน้ำเท่ากับร้อยละ 1.52 1.12 0.67 และ 0.64 ตามลำดับ ทั้งนี้เกิดจากจีโอพอลิเมอร์คอนกรีตบล็อกกลุ่มที่ใช้ความเข้มข้นของสารละลายโซเดียมไฮดรอกไซด์ที่มีความเข้มข้นต่ำ มีกำลังยึดเหนี่ยวแรงระหว่างจีโอพอลิเมอร์เพสต์กับมวลรวมต่ำกว่ากลุ่มที่ใช้สารละลายโซเดียมไฮดรอกไซด์ที่มีความเข้มข้นสูง โดยความเข้มข้นของ NaOH ที่สูงขึ้นส่งผลให้ชาaceaclikica และอุณหภูมิที่สามารถเข้าทำปฏิกิริยาพอลิเมอร์ไรท์เซชันได้ดี และทำให้มีการยึดเกาะที่ดี ส่งผลให้ความพรุนระหว่างเพสต์กับมวลรวมหยาบน้อยลง จึงทำให้ห้องว่างระหว่างมวลรวมลดลงด้วย จีโอพอลิเมอร์คอนกรีตบล็อกจึงมีการคุณซึ่มน้ำต่ำลงด้วย

เมื่อพิจารณาผลของปริมาณมวลรวม S M และ L ต่อการคุณซึ่มน้ำของจีโอพอลิเมอร์คอนกรีตบล็อกของกลุ่มที่บ่มในอุณหภูมิห้อง (รูปที่ 4.10) พบว่า การเพิ่มปริมาณมวลรวมจาก S เป็น M มีแนวโน้มให้การคุณซึ่มน้ำลดลงและมีแนวโน้มสูงขึ้นอีกรึ่งเมื่อเพิ่มปริมาณมวลรวมเป็น L เช่น จีโอพอลิเมอร์คอนกรีตบล็อกที่ใช้สารละลายโซเดียมไฮดรอกไซด์ที่ 12 มอลาร์ และใช้หินผุนปริมาณ S, M และ L หลังบ่มในอุณหภูมิห้องที่อายุ 28 วัน ให้การคุณซึ่มน้ำเท่ากับร้อยละ 1.52 0.90 และ 1.19 ตามลำดับ ผลดังกล่าวอาจเกิดจากการใช้มวลรวมที่มีปริมาณน้อย (S) ส่งผลให้ความพรุนของคอนกรีตบล็อกขึ้นกับจีโอพอลิเมอร์เพสต์ ตลอดจนช่องว่างระหว่างมวลรวมมีมากขึ้น จึงทำให้การคุณซึ่มน้ำมีค่าสูงและเป็นที่น่าสังเกตว่า การคุณซึ่มน้ำในจีโอพอลิเมอร์คอนกรีตบล็อกกลุ่มนี้ขึ้นกับความเข้มข้นของสารละลาย NaOH ค่อนข้างชัดเจน กว่ากลุ่มอื่น แต่เมื่อใช้ปริมาณมวลรวมขึ้นเป็น M กลับพบว่า การคุณซึ่มน้ำต่ำลง จีโอพอลิเมอร์คอนกรีตบล็อกทึบหัวมากขึ้น ซึ่งอาจเกิดจากปริมาณมวลรวมดังกล่าวเป็นปริมาณที่เหมาะสมในการแทรกตัวและลดช่องว่างในมวลรวม ส่วนการใช้มวลรวมสูงขึ้นเป็น L พบว่า การคุณซึ่มน้ำเพิ่มขึ้นเล็กน้อย ซึ่งเกิดจากปริมาณมวลรวมมากเกินไป ทำให้จีโอพอลิเมอร์คอนกรีตเพสต์ลดลง จึงมีผลให้การคุณซึ่มน้ำสูงขึ้น ตลอดจนมวลรวมอาจมีการคุณซึ่มน้ำเองด้วย โดยผลการทดสอบการคุณซึ่มน้ำของจีโอพอลิเมอร์คอนกรีตบล็อกในครั้งนี้ แสดงถึงว่า การคุณซึ่มน้ำของจีโอพอลิเมอร์คอนกรีตบล็อกดังที่กล่าวมาข้างต้น โดยกำลังอัดจีโอพอลิเมอร์คอนกรีตบล็อกสูงขึ้นส่งผลให้การคุณซึ่มน้ำลดลง



รูปที่ 4.10 ผลของความเข้มข้นของสารละลายน้ำดีบมีไฮดรอกไซด์ต่อการดูดซึมน้ำในจีโอพอลิเมอร์ คอนกรีตนล้อกที่อายุ 28 วัน

## บทที่ 5

### สรุปผลการวิจัยและข้อเสนอแนะ

#### 5.1 สรุปผลการวิจัย

จากการศึกษาตลอดโครงการวิจัยนี้ สามารถสรุปผลการศึกษาได้ดังต่อไปนี้

- 5.1.1 การใช้ความเข้มข้นของสารละลายโซเดียมไฮดรอกไซด์ที่สูงขึ้น ส่งผลให้จีโอพอลิเมอร์คอนกรีตบล็อกมีกำลังอัดเพิ่มขึ้นและการดูดซึมน้ำมีค่าลดลง
- 5.1.2 การใช้อัตราส่วนระหว่าง เถ้าถ่านหิน:หินฟุน เท่ากับ 1:6 โดยน้ำหนัก ส่งผลให้กำลังอัดของจีโอพอลิเมอร์คอนกรีตบล็อกมีค่าสูงสุดทั้งกลุ่มที่บ่มในอุณหภูมิห้องและบ่มในอุณหภูมิ  $65^{\circ}\text{C}$
- 5.1.3 การใช้อุณหภูมิในการบ่มสูงขึ้นส่งผลให้กำลังอัดของจีโอพอลิเมอร์คอนกรีตบล็อกสูงขึ้น โดยอุณหภูมิบ่มที่สูงขึ้นมีประสิทธิภาพต่อการเพิ่มกำลังอัดของจีโอพอลิเมอร์คอนกรีตบล็อกในกลุ่มที่ใช้ความเข้มข้นของ NaOH ต่ำ มากกว่าความเข้มข้นของ NaOH สูง
- 5.1.4 การศึกษารังนีพบว่า จีโอพอลิเมอร์ของคอนกรีตบล็อกที่ใช้ความเข้มข้นของสารละลายโซเดียมไฮดรอกไซด์เท่ากับ 18 โมลาร์ และอัตราส่วนระหว่าง เถ้าถ่านหิน:หินฟุน เท่ากับ 1:6 โดยน้ำหนัก ให้ผลคือต่อสมบัติจีโอพอลิเมอร์คอนกรีตบล็อกชนิดรับน้ำหนักมากที่สุด เนื่องจากให้การรับแรงเชิงกลที่ดีควบคู่กับการดูดซึมน้ำต่ำ

#### 5.2 ข้อเสนอแนะ

- 5.2.1 ควรศึกษาการทำจีโอพอลิเมอร์คอนกรีตบล็อกโดยการปรับเปลี่ยนปริมาณของเถ้าถ่านหินและสารเคมีผสมเพิ่มชนิดต่างๆ
- 5.2.2 ควรศึกษาการทำจีโอพอลิเมอร์คอนกรีตจากวัสดุเหลือทิ้งอื่นๆ เช่น เถ้าเกลบ เถ้าแกลบเปลือกไม้ เด็กป่าล้มน้ำมน้ํา เถ้าชานอ้อย และ ดินขาว เป็นต้น
- 5.2.3 ควรมีการส่งเสริมการผลิตจีโอพอลิเมอร์คอนกรีตบล็อกให้สามารถใช้งานได้จริงอย่างเป็นรูปธรรม เช่น ทำการอัดจีโอพอลิเมอร์คอนกรีตบล็อกในโรงงาน และนำไปใช้ในงานก่อสร้างจริง

## เอกสารอ้างอิง

- ชринทร์ เสนาวงษ์ อิทธิพล วีไลลักษณ์และ วิเชียร ชาลี. (2552). การทำคอกนกรีตบล็อกชนิดรับน้ำหนักจาก เถ้าก้อนเตาระบบฟลูอิดไดซ์เบด. การประชุมวิชาการวิศวกรรมโยธาแห่งชาติครั้งที่ 14, 13-15 พฤษภาคม 2552, มหาวิทยาลัยเทคโนโลยีสุรนารี, 1587-1592.
- ชринทร์ เสนาวงษ์ เกียรติสุดา สมนา และ วิเชียร ชาลี. (2553). กำลังอัดและกำลังยึดเหนี่ยวของจีโอพอลิเมอร์คอกนกรีตจากเถ้าถ่านหิน, *Burapha Sci.*, J.15 (1), 13-22.
- ปริญญา จินดาประเสริฐ และชัย ชาตรพิทักษ์กุล. (2547). ปูนซีเมนต์ ปอชโซล่าן และ คอนกรีต, ครั้งที่ 3, สมาคมคونกรีตไทย ขุวี หรัญ. (2551). การอัดบล็อกปูนตอนคอนกรีตพูน. การประชุมวิชาการคอกนกรีตประจำปี ครั้งที่ 4, 20-22 ตุลาคม พ.ศ. 2551, สมาคมคونกรีตแห่งประเทศไทย.
- วิเชียร ชาลี และ กิรติกร เจริญพร้อม. (2555). การต้านทานการกัดกร่อนเนื่องจากซัลเฟตของจีโอพอลิเมอร์ คอกนกรีตจากเถ้าถ่านหิน. วารสารวิจัยและพัฒนามหาวิทยาลัยเทคโนโลยีพระจอมเกล้าธนบุรี 35(2), 157-170.
- สำนักงานมาตรฐานผลิตภัณฑ์อุตสาหกรรม กระทรวงอุตสาหกรรม, (2547). มาตรฐาน ผลิตภัณฑ์อุตสาหกรรม มอก. 57-2533 คอกนกรีตบล็อกรับน้ำหนัก. พิมพ์ครั้งที่ 7, สำนักงาน มาตรฐานผลิตภัณฑ์อุตสาหกรรม กระทรวงอุตสาหกรรม, กรุงเทพมหานคร.
- สำนักงานมาตรฐานผลิตภัณฑ์อุตสาหกรรม กระทรวงอุตสาหกรรม, (2547). มาตรฐาน ผลิตภัณฑ์อุตสาหกรรม มอก. 58-2533 คอกนกรีตบล็อกไม่รับน้ำหนัก. พิมพ์ครั้งที่ 7, สำนักงาน มาตรฐาน ผลิตภัณฑ์อุตสาหกรรม กระทรวงอุตสาหกรรม, กรุงเทพมหานคร.
- สุรพันธ์ สุกันธปรีย์ จตุพล ตั้งปภาสิต ชัย ชาตรพิทักษ์กุล. (2546). การศึกษาคอกนกรีตที่มีเถ้าแกลู-เปลือกไม้ เป็นส่วนผสม. วิศวกรรมสาร ฉบับวิจัยและพัฒนา, 14(3), 1-7.
- สมิตร ส่งพิริยะกิจ และวรเชษฐ์ ป้อมเชียงพิณ. (2552). จีโอพอลิเมอร์คอกนกรีตจากเถ้าถ่านหินแม่เมaje. การประชุมวิชาการวิศวกรรมโยธาแห่งชาติ ครั้งที่ 14 มหาวิทยาลัยเทคโนโลยีสุรนารี 13-15 พฤษภาคม 2552, หน้า 1831-1836.
- อุบลลักษณ์ รัตนศักดิ์ ชาญชัย พลตรี และ วิเชียร ชาลี. (2548). การศึกษาโครงสร้างจุลภาคของวัสดุ จีโอพอลิเมอร์จากเถ้าถ่านหิน. การประชุมวิชาการโยธาแห่งชาติครั้งที่ 10, 2-4 พฤษภาคม 2548, โรงแรม แอนบ้าสชาเดอร์ชิตี้ จอมเทียน พัทยา ชลบุรี
- อุบลลักษณ์ รัตนศักดิ์ วิเชียร ชาลี และ ปริญญา จินดาประเสริฐ. (2549). การศึกษาการใช้เถ้าถ่านหินลิกไนต์ และกำลังอัดของวัสดุจีโอพอลิเมอร์จากเถ้าถ่านหิน. วารสารวิจัยและพัฒนา มจธ., 29(4), 437-446.

- Anurag, M., Deepika, C., Namrata, J., Manish, K., Nidhi, S., & Durga, D., (2008). Effect of concentration of alkali liquid and curing time on strength and water absorption of geopolymers concrete. *Eng Appl Sci*, 3, 14-18.
- ASTM C618. (1997). Standard Specification for Coal Fly Ash and Raw or Calcined Natural Pozzolan for Use in Concrete, fly ash, natural pozzolan, pozzolans. *Annual Book of ASTM Standards; V. 04.01*.
- ASTM C127-88. (2001). Standard Test Method for Density, Relative Density (Specific Gravity), and Absorption of Coarse Aggregate. *Annual Book of ASTM Standards; V. 04.01*.
- ASTM C642-97. (2001). Standard Test Method for Density, Absorption, and Voids in Hardened Concrete. *Annual Book of ASTM Standards; V. 04.01*.
- Bakharev, T., (2005). Geopolymeric materials prepared using Class F fly ash and elevated temperature curing. *Cement and Concrete Research*, 35, 1224-1232.
- Chindaprasirt, P., Chalee, W., Jaturapitakkul, C., & Rattanasak, U., (2009). Comparative study on the characteristics of fly ash and bottom ash geopolymers. *Waste Management*, 29, 539-543.
- Chindaprasirt, P., Rattanasak, U., & Taebuanhuad, S., (2013). Resistance to acid and sulfate solutions of microwave-assisted high calcium fly ash geopolymers. *Materials and Structures*, 46, 375-381.
- Davidovits, J., (1991). Geopolymer inorganic polymeric new materials. *J Therm Anal*, 37, 1633-1659.
- Gum Sung Ryu, Young Bok Lee, Kyung Taek Koh, & Young Soo Chung., (2013). The mechanical properties of fly ash-based geopolymer concrete with alkaline activators. *Construction and Building Materials*, 47, 409-418.
- Hanjitsuwan, S., Hunpratub, S., Thongbai, P., Maensiri, S., Sata, V., & Chindaprasirt, P., (2014). Effects of NaOH concentrations on physical and electrical properties of high calcium fly ash geopolymers paste. *Cement and Concrete Composites*, 45, 9-14.
- Huajun Zhu, Zuhua Zhang, Fenggan Deng, & Yalong Cao., (2013). The effects of phase changes on the bonding property of geopolymer to hydrated cement. *Construction and Building Materials*, 48, 124-130.
- Joseph, B., & Mathew, G., (2012). Influence of aggregate content on the behavior of fly ash based geopolymers concrete. *Scientia Iranica A* 19, 1188–1194.
- Palomo, A., Grutzek, MW., & Blanco, MT., (1999). Fracture behaviour of heat cured fly ash based geopolymers concrete. *Cement and Concrete Research*, 29, 1323-1329.
- Rattanasak, U., & Chindaprasirt, P., (2009). Influence of Na(OH) solution on the synthesis of fly ash geopolymers. *Miner Eng*, 22, 1073-1078.

- Sarker, K., AHaque, R., & Ramgolam, K., (2013). Fracture behaviour of heat cured fly ash based geopolymers concrete. *Materials and Design*, 44, 580-586.
- Songpiriyakij S., Kubprasit T., Jaturapitakkul C., & Chindaprasirt P., (2010) Compressive strength and degree of reaction of biomass-and fly ash-based geopolymers. *Construction and Building Materials*, 24, 236-240.
- Tangpagasit, J., Cheerarot, R., Jaturapitakkul, C., & Kiattikomol, K., (2005). Packing effect and pozzolanic reaction of fly ash in mortar. *Construction and Building Materials*, 35, 1145-1151.
- Wongpa, J., Kiattikomol, K., Jaturapitakkul, C., & Chindaprasirt, P., (2010). Compressive strength, modulus of elasticity, and water permeability of inorganic polymer concrete. *Materials and Design* 3, 4748-4754.

**ກາຄພນວກ ກ**  
**ຜລຜລິຕ (Output)**  
**ບທຄວມວິຈີຍທີ່ສ່ົງຕື່ພິມພື້ນວາຮສາວົງວິຊາກາຮະດັບຫາຕີ**

- 1) Panha Huy, Soklam Mov, ວິເຊີຍຣ ທາລີ “ກາຮຜລິຕອນກຣີຕບລີ້ອກໜີດຮັບນໍ້າໜັກຈາກຈີໂອພອລີ  
ແມ່ນ້ອງຈາກເຄົາຄ່ານ້ຳນິນ”, *Burapha Sci* (Submitted paper)



## บันทึกข้อความ

ส่วนงาน ภาควิชาชีวกรรมโยธา คณะวิศวกรรมศาสตร์ โทร. ๓๓๕๖

ที่ ศธ ๖๖๑๙.๔/

วันที่ ๘ พฤษภาคม พ.ศ. ๒๕๕๗

เรื่อง ขอส่งบทความเพื่อพิจารณาตีพิมพ์ในวารสารวิทยาศาสตร์บูรพา

เรียน กองบรรณาธิการวารสารวิทยาศาสตร์บูรพา

ข้าพเจ้า นายวิเชียร ชาลี อาจารย์ประจำภาควิชาชีวกรรมโยธา คณะวิศวกรรมศาสตร์ มหาวิทยาลัยบูรพา มีความประสงค์จะส่ง บทความวิจัยเรื่อง “การผลิตคอนกรีตบล็อกชนิดรับน้ำหนักจากจีโอลิมิเนอร์จากถ่านหิน” โดยผู้เขียน นาย Panha Huy นาย Soklam Mov และผู้ช่วยศาสตราจารย์ ดร. วิเชียร ชาลี เพื่อพิจารณาตีพิมพ์ในวารสารวิทยาศาสตร์บูรพา

หากผลการพิจารณาบทความดังกล่าวเป็นประการได้ โปรดแจ้งให้คณะผู้เขียนทราบด้วยจะ เป็นพระคุณยิ่ง

จึงเรียนมาเพื่อโปรดพิจารณาและดำเนินการต่อไป จักเป็นพระคุณยิ่ง

วิเชียร ชาลี

(ผู้ช่วยศาสตราจารย์ ดร. วิเชียร ชาลี)  
อาจารย์ประจำภาควิชาชีวกรรมโยธา

1 การผลิตคอนกรีตบล็อกชนิดรับน้ำหนักจากจีโอพอลิเมอร์จากถ่านหิน  
 2

3 Utilization of fly ash-based geopolymers in hollow load-bearing concrete masonry  
 4 blocks

5 Panha Huy, Soklam Mov, วิเชียร ชาลี \*

6 ภาควิชาวิศวกรรมโยธา คณะวิศวกรรมศาสตร์ มหาวิทยาลัยบูรพา

7 Panha Huy, Soklam Mov, Wichian Chalee \*

8 Department of Civil Engineering, Faculty of Engineering, Burapha University

9 \*Corresponding author. E-mail : [wichian@buu.ac.th](mailto:wichian@buu.ac.th)

10 บทคัดย่อ

11 งานวิจัยนี้ศึกษาผลของปริมาณมวลรวม ความเข้มข้นของสารละลาย NaOH และอุณหภูมิบ่ม ต่อกำลัง  
 12 อัด และการดูดซึมน้ำของคอนกรีตบล็อกชนิดรับน้ำหนักจากจีโอพอลิเมอร์จากถ่านหิน โดยเตรียมจีโอพอลิ  
 13 เมอร์คอนกรีตบล็อกจากถ่านหินแม่เมะ โซเดียมซิลิกเกต ( $Na_2SiO_3$ ) และโซเดียมไฮดรอกไซด์ (NaOH) ซึ่ง  
 14 กำหนดอัตราส่วนโดยไมลาร์ระหว่าง  $SiO_2/Al_2O_3$  คงที่ และใช้ความเข้มข้นของสารละลายโซเดียมไฮดรอกไซด์  
 15 เท่ากับ 12 14 16 และ 18 มोลาร์ ใช้หินฝุ่นเป็นมวลรวมในส่วนผสมในอัตราส่วน เถ้าถ่านหิน:หินฝุ่น เท่ากับ  
 16 1:4 (S) 1:6 (M) และ 1:8 (L) โดยน้ำหนัก เตรียมจีโอพอลิเมอร์คอนกรีตบล็อกโดยใช้เครื่องอัดชนิดชินวา-แรม  
 17 หลังจากนั้นบ่มจีโอพอลิเมอร์คอนกรีตบล็อกในอากาศที่อุณหภูมิห้องและที่อุณหภูมิ  $65^\circ\text{C}$  เป็นเวลา 24 ชม.  
 18 และบ่มต่อเนื่องที่อุณหภูมิห้องจนถึงอายุทดสอบ ทำการทดสอบกำลังอัดของคอนกรีตบล็อกที่อายุ 7 14 และ  
 19 28 วัน ตลอดจนทดสอบการดูดซึมน้ำในจีโอพอลิเมอร์คอนกรีตบล็อกที่อายุทดสอบ 28 วัน

20 ผลการศึกษาพบว่า เมื่อความเข้มข้นของ NaOH และอุณหภูมิบ่มที่สูงขึ้น ส่งผลให้กำลังอัดของจีโอพו  
 21 ลิเมอร์คอนกรีตบล็อกมากขึ้น การดูดซึมน้ำในจีโอพอลิเมอร์บล็อกลดลงเมื่อกำลังอัดสูงขึ้น ปริมาณมวลรวมใน  
 22 ส่วนผสมจีโอพอลิเมอร์คอนกรีตบล็อกที่มากขึ้นไม่เกินปริมาณ M (ถ่านหิน:หินฝุ่น เท่ากับ 1:6) ให้กำลังอัด  
 23 สูงขึ้น อย่างไรก็ตาม กำลังอัดมีแนวโน้มลดลงเมื่อใช้มวลรวมในส่วนผสมสูงถึงปริมาณ L (ถ่านหิน:หินฝุ่น  
 24 เท่ากับ 1:8) นอกจากนั้นพบว่า อุณหภูมิบ่มที่สูงขึ้นมีประสิทธิภาพต่อการเพิ่มกำลังอัดของจีโอพอลิเมอร์  
 25 คอนกรีตบล็อกในกลุ่มที่ใช้ความเข้มข้นของ NaOH ต่ำ มากกว่าความเข้มข้นของ NaOH สูง

26  
 27 คำสำคัญ: เถ้าถ่านหิน, จีโอพอลิเมอร์, คอนกรีตบล็อกรับน้ำหนัก, กำลังอัด, ความเข้มข้นของสารละลาย  
 28 NaOH

35

## Abstract

36 This research aimed to study the effect of aggregate content, sodium hydroxide  
37 (NaOH) concentrations and curing temperature on compressive strength and water  
38 absorption of geopolymer concrete masonry block. The geopolymer concrete block were  
39 prepared from Mae Moh fly ash with sodium silicate ( $\text{Na}_2\text{SiO}_3$ ) and sodium hydroxide (NaOH)  
40 solutions. The molar ratio of  $\text{SiO}_2/\text{Al}_2\text{O}_3$  was kept constant and concentration of NaOH was  
41 varied at 12, 14, 16, and 18 molar. The ratio of 1:4 (S), 1:6 (M) and 1:8 (L) by weight of fly ash  
42 : dust limestone were used as a aggregate. The geopolymer concrete block were prepared  
43 by using the Cinva-Ram machine. The samples were air cured at room temperature and  $65^\circ\text{C}$   
44 for 24 hours and continuous curing until the age test in air. The geopolymer concrete block  
45 was tested for compressive strength at 7, 14, and 28 days air cure. In addition, water  
46 absorption of geopolymer concrete block was tested at 28 days.

47 The results showed that the compressive strength of geopolymer concrete block  
48 increase with the increase in NaOH concentration and curing temperature. The water  
49 absorption of geopolymer concrete block is low with the concrete of high compressive  
50 strength. An increase in amount of aggregate as high as M (the ratio of 1:6 by weight of fly  
51 ash : dust limestone) result in increased compressive strength; however, the compressive  
52 strength was found to decrease when using high amount of aggregate L (the ratio of 1:8 by  
53 weight of fly ash : dust limestone). In addition, high temperature curing has more effective  
54 on increasing of compressive strength in geopolymer concrete block with lower NaOH  
55 concentration than that with higher NaOH concentration.

56

57 **Keywords:** fly ash, geopolymer, load-bearing concrete masonry blocks, compressive  
58 strength, sodium hydroxide concentration

59

60

61

62

63

64

65

66

67

## บทนำ

ค่อนกรีตบล็อกเป็นวัสดุก่อที่ทำจากปูนซีเมนต์ผสมกับทราย หินขนาดเล็ก และน้ำ ผสมให้เข้ากันดี แล้วอัดในแบบเหล็กให้แน่นและบ่มในอากาศจนมีความแข็งตัวพอที่จะนำไปใช้ในการก่อสร้างได้ ค่อนกรีตบล็อกมีทั้งแบบรับน้ำหนัก (load-bearing concrete masonry blocks) และไม่รับน้ำหนัก (concrete masonry blocks) ซึ่งมาตรฐานของสำนักงานมาตรฐานผลิตภัณฑ์อุตสาหกรรมของกระทรวงอุตสาหกรรม (มอก. 57-2533) ได้กำหนดให้ค่อนกรีตบล็อกชนิดรับน้ำหนักต้องสามารถรับน้ำหนักได้ไม่ต่ำกว่า 110 กก./ซม.<sup>2</sup> ส่วนค่อนกรีตบล็อกชนิดไม่รับน้ำหนักมาตรฐานผลิตภัณฑ์อุตสาหกรรมของกระทรวงอุตสาหกรรม (มอก. 58-2533) ได้กำหนดให้รับน้ำหนักได้ไม่ต่ำกว่า 25 กก./ซม.<sup>2</sup> การใช้งานค่อนกรีตบล็อกในอุตสาหกรรมก่อสร้างมีมากขึ้น เนื่องจากเป็นวัสดุก่อที่ก่อสร้างได้ง่าย โดยค่อนกรีตบล็อกชนิดรับน้ำหนักสามารถรับน้ำหนักบรรทุกได้ในระดับหนึ่งเท่านั้น ดังนั้นการก่อสร้างใช้งานจึงเหมาะสมกับอาคารหรือสิ่งก่อสร้างขนาดเล็ก ซึ่งไม่มีความซับซ้อนของการรับแรงเชิงกลของโครงสร้าง

แนวคิดของการผลิตค่อนกรีตโดยไม่ใช้ปูนซีเมนต์เป็นส่วนผสม เริ่มจากการใช้สารปอชโซล่าที่ประกอบด้วยชีลิกาและอะลูมินาเป็นหลัก เมื่อผสมกับต่างอัลคาไลอเรต์ สารละลายโซเดียมชีลิกเกต และเร่งปฏิกิริยาด้วยความร้อน สามารถก่อตัวและแข็งตัวให้มีกำลังรับแรงได้ สามารถใช้เป็นวัสดุเชื่อมประสาน เช่นเดียวกับซีเมนต์เพสต์ (Davidovits, 1991; Rattanasak *et al.*, 2009 ; Chindaprasirt *et al.*, 2009) ซึ่งสารจีโอพอลิเมอร์จะให้หลักการของการทำปฏิกิริยาของชีลิกา และอะลูมินา ให้เป็นโมเลกุลลูกโซ่ในลักษณะของพอลิเมอร์ โดยการทำปฏิกิริยาลูกโซ่ที่เกิดจากชีลิกอนและอะลูมิเนียมจะใช้สารละลายที่เป็นด่างสูง โดยใช้ความร้อนเป็นตัวกระตุน จะได้สารซีเมนต์ที่สามารถรับกำลังได้ และปัจจุบันพบว่า วัสดุจีโอพอลิเมอร์ สามารถทำปฏิกิริยาสมบูรณ์ได้ในอุณหภูมิปกติ (Ambient Temperature) โดยไม่ต้องใช้ความร้อนในการช่วยเร่งปฏิกิริยาอีกต่อไป (Davidovits, 1991) โดยงานวิจัยที่ผ่านมา (Huajun *et al.*, 2013 ; Gum Sung Ryu *et al.*, 2013 ; Anurag *et al.*, 2008 ; Chindaprasirt *et al.*, 2009) ได้ศึกษาถึงปัจจัยต่างๆ ที่มีผลต่อสมบัติเชิงกลของวัสดุจีโอพอลิเมอร์ เช่น ลักษณะของการบ่ม ความเข้มข้นของต่าง และชนิดของวัสดุปอชโซล่า เป็นต้น ซึ่งผลการศึกษาโดยภาพรวม พบร่วมกันว่า การใช้ต่างที่มีความเข้มข้นสูงขึ้นสามารถลดเวลาชีลิกาและอะลูมินาจากวัสดุปอชโซล่าได้ดี และส่งผลต่อสมบัติเชิงกลของวัสดุจีโอพอลิเมอร์ที่ดีขึ้น ตลอดจนการปมวัสดุจีโอพอลิเมอร์ในอุณหภูมิที่สูงขึ้นไม่เกิน 90 °C เป็นเวลาไม่เกิน 48 ชม. ก็ส่งผลดีต่อการรับแรงเชิงกลของวัสดุจีโอพอลิเมอร์อีกด้วย

สำหรับประเทศไทยยังไม่มีการใช้งานค่อนกรีตที่ใช้จีโอพอลิเมอร์เป็นวัสดุประสานในอุตสาหกรรมก่อสร้าง ทั้งนี้เนื่องจากขาดความมั่นใจในการนำมาใช้งาน เพราะมีฐานข้อมูลที่ได้จากการศึกษาวิจัยที่น้อยเกินไป และยังไม่เกิดปัญหาขาดแคลนปูนซีเมนต์ อีกทั้งไร้กํตามแนวทางการส่งเสริมเพื่อให้เกิดการใช้งานอย่างจริงจังในอุตสาหกรรมก่อสร้าง ควรเริ่มจากการศึกษาข้อมูลที่เป็นการสนับสนุนและเพิ่มความมั่นใจในการใช้งานให้มากขึ้น โดยเริ่มจากการใช้ในงานก่อสร้างค่อนกรีตที่มีความซับซ้อนไม่มาก และมีลักษณะการรับแรงเชิงกลที่ไม่เสี่ยงต่อการวินาศัยและก่อให้เกิดอันตราย เช่น ค่อนกรีตบล็อกหรือวัสดุงานก่อผนังหรือโครงสร้างง่ายๆ เป็นต้น ดังนั้นการศึกษาครั้งนี้ จึงมีวัตถุประสงค์เพื่อศึกษาการผลิตจีโอพอลิเมอร์ค่อนกรีตบล็อกชนิดรับน้ำหนัก

101 น้ำหนัก (load-bearing concrete masonry blocks) จากวัสดุจีโอเพลิเมอร์จากถ่านหิน โดยไม่ใช้  
 102 ปูนซีเมนต์เป็นส่วนผสม แต่ได้ใช้ถ่านหินที่เป็นผลพลอยได้จากการเผาถ่านหินในโรงงานผลิตไฟฟ้าในการทำ  
 103 วัสดุประสานแทน โดยมุ่งประเด็นไปที่ผลของปริมาณของมวลรวมหยาบ อุณหภูมิที่ใช้บ่มและความเข้มข้นของ  
 104 โซเดียมไฮดรอกไซด์ต่อกำลังรับแรงอัด และการดูดน้ำในจีโอเพลิเมอร์คอนกรีตบล็อก เพื่อเพิ่มฐานข้อมูลการ  
 105 วิจัยที่น่าเชื่อถือประกอบการใช้งานใหม่ๆ ให้ยิ่งขึ้น

106

## 107 วิธีการดำเนินการวิจัย

108

### 109 **วัสดุ**

110 วัสดุประสานได้ใช้ถ่านหินที่ได้โดยตรงจากโรงไฟฟ้าแม่มา ซึ่งมีความถ่วงจำเพาะ เท่ากับ  
 111 2.23 มีอนุภาคที่ค้างตะแกรงเบอร์ 325 ร้อยละ 32 และอยู่ในเกณฑ์มาตรฐาน ASTM C 618 ที่กำหนดไว้ไม่  
 112 เกินร้อยละ 34 โดยน้ำหนัก มีขนาดอนุภาคเฉลี่ยที่ 30.4 ไมครอน สำหรับองค์ประกอบทางเคมีของถ่านหิน  
 113 แม่มา มีผลกระทบของสารประกอบหลัก  $\text{SiO}_2$ ,  $\text{Al}_2\text{O}_3$  และ  $\text{Fe}_2\text{O}_3$  เท่ากับร้อยละ 70.91 และ มีค่า LOI ร้อยละ  
 114 0.11 ซึ่งจัดเป็นถ่านหิน Class F ตามมาตรฐาน ASTM C 618 โดยองค์ประกอบทางเคมีของถ่านหิน  
 115 แสดงดังตารางที่ 1 สารละลายที่ใช้ในการเตรียมจีโอเพลิเมอร์เพื่อเป็นวัสดุประสานในคอนกรีตบล็อก  
 116 ประกอบด้วย สารละลายโซเดียมซิลิกเกต ( $\text{Na}_2\text{SiO}_3$ ) ซึ่งอัตราส่วน  $\text{SiO}_2$  ต่อ  $\text{Na}_2\text{O}$  เท่ากับ 3.4 โดยน้ำหนัก  
 117 ความถ่วงจำเพาะเท่ากับ 1.36 ที่อุณหภูมิ 30°C สารละลายโซเดียมไฮดรอกไซด์ ( $\text{NaOH}$ ) เข้มข้น 12, 14, 16  
 118 และ 18 โมลาร์ มวลรวมที่ใช้ในการศึกษาครั้งนี้ ใช้หินฝุ่นที่มีความถ่วงจำเพาะ และการดูดซึมน้ำของมวลรวมที่  
 119 ทดสอบตามมาตรฐาน ASTM C127-88 เท่ากับ 2.67 และร้อยละ 9.58 ตามลำดับ

### 120 **การเตรียมตัวอย่างและการทดสอบ**

121 งานวิจัยนี้จะศึกษาการผลิตคอนกรีตบล็อกชนิดรับน้ำหนักจากวัสดุจีโอเพลิเมอร์จากถ่านหิน โดย  
 122 เตรียมจีโอเพลิเมอร์เพสต์จากถ่านหินแม่มา โซเดียมซิลิกเกต ( $\text{Na}_2\text{SiO}_3$ ) และโซเดียมไฮดรอกไซด์ ( $\text{NaOH}$ )  
 123 ซึ่งกำหนดอัตราส่วนโดยโมลาร์ระหว่าง  $\text{SiO}_2/\text{Al}_2\text{O}_3$  คงที่ และใช้ความเข้มข้นของสารละลายโซเดียมไฮดรอก  
 124 ไซด์ เท่ากับ 12 14 16 และ 18 โมลาร์ และใช้หินฝุ่นเป็นมวลรวมในสัดส่วนที่ต่างกัน 3 ขนาด โดยใช้อัตราส่วน  
 125 ถ่านหิน:หินฝุ่น เท่ากับ 1:4(S), 1:6(M) และ 1:8(L) โดยน้ำหนัก โดยมีส่วนผสมทั้งหมด 12 ส่วนผสมตาม  
 126 ตารางที่ 2 ทำการอัดจีโอเพลิเมอร์คอนกรีตบล็อกโดยใช้เครื่องอัดชนิดชิวนาร์มดังภาพที่ 1(ก) และบ่มจีโอ  
 127 เพลิเมอร์คอนกรีตบล็อกในอากาศที่อุณหภูมิห้องและที่อุณหภูมิ 65 °C เป็นเวลา 24 ชม. จากนั้นใช้พลาสติก  
 128 ใสพันรอบไว้และบ่มต่อเนื่องที่อุณหภูมิห้องจนถึงอายุทดสอบ

### 129 **การทดสอบกำลังอัด**

130 เมื่อครบกำหนดทดสอบทำการตัดตัวอย่างจีโอเพลิเมอร์คอนกรีตบล็อกเป็นทรงลูกบาศก์ขนาด  
 131 50x50x50 mm<sup>3</sup> ดังภาพที่ 1(ข) เพื่อใช้ทดสอบกำลังอัด (เฉลี่ยจาก 3 ก้อน) ที่อายุ 7 14 และ 28 วัน

134                   **ทดสอบการดูดซึมน้ำ**

135                   ในการทดสอบการดูดซึมน้ำ (absorption test) ตามมาตรฐาน ASTM C642-97 ได้ตัดตัวอย่าง  
136                   คอนกรีตบล็อก ให้มีขนาด  $50 \times 50 \times 50$  มม.<sup>3</sup> นำตัวอย่างคอนกรีตบล็อกเข้าเตาอบที่อุณหภูมิ  $100 - 110^\circ\text{C}$   
137                   เป็นเวลา 24 ชั่วโมง ซึ่งน้ำหนักตัวอย่างและแซ่ตัวอย่างคอนกรีตบล็อกให้จมอยู่ในน้ำเป็นเวลา 24 ชั่วโมง แล้ว  
138                   ใช้ผ้าเช็ดให้แห้งโดยรอบอย่างเร็ว และซึ่งน้ำหนัก ภายใน 5 นาที คำนวณหาร้อยละการดูดซึมน้ำของคอนกรีต  
139                   บล็อก จากน้ำหนักตัวอย่างคอนกรีตบล็อกหลังจากแช่น้ำ 24 ชั่วโมง ลบด้วยน้ำหนักคอนกรีตบล็อกที่อบแห้ง  
140                   หารด้วยน้ำหนักคอนกรีตบล็อกที่อบแห้งทั้งหมดคูณด้วย 100 โดยทดสอบหาร้อยละการดูดซึมน้ำที่อายุ 28 วัน

141  
142                   ผลการวิจัยและวิจารณ์ผล

143  
144                   การพัฒนากำลังอัดของจีโอพอลิเมอร์คอนกรีตบล็อก

145                   กำลังอัดของจีโอพอลิเมอร์คอนกรีตบล็อกที่ความเข้มข้นของสารละลายโซเดียมไฮดรอกไซด์ เท่ากับ  
146                    $12.14.16$  และ  $18$  เมลาร์ ที่บ่มในอุณหภูมิห้อง และ บ่มในอุณหภูมิ  $65^\circ\text{C}$  ดังตารางที่  $3$  พบว่า ทุกส่วนผสมมี  
147                   การพัฒนากำลังอัดเพิ่มขึ้นตามระยะเวลา เช่น จีโอพอลิเมอร์คอนกรีตบล็อกที่ความเข้มข้นของสารละลาย  
148                   โซเดียมไฮดรอกไซด์เท่ากับ  $12$  เมลาร์ บ่มในอุณหภูมิห้อง และหินฝุ่นที่ปริมาณ S M และ L มีกำลังอัดที่อายุ  
149                    $7$  วัน เท่ากับ  $114.198$  และ  $155 \text{ กก}/\text{ซม}^2$  ตามลำดับ และมีการพัฒนากำลังอัดเพิ่มขึ้นเป็น  $214.268$  และ  
150                    $299 \text{ กก}/\text{ซม}^2$  ที่อายุ  $28$  วัน ตามลำดับ ซึ่งแนวโน้มดังกล่าวเป็นไปในทิศทางเดียวกับจีโอพอลิเมอร์คอนกรีต  
151                   บล็อก ที่ความเข้มข้นของสารละลายโซเดียมไฮดรอกไซด์เท่ากับ  $12$  เมลาร์ ที่บ่มในอุณหภูมิ  $65^\circ\text{C}$  และ หินฝุ่น  
152                   ที่ปริมาณ S M และ L มีกำลังอัดที่อายุ  $7$  วันเท่ากับ  $227.271$  และ  $244 \text{ กก}/\text{ซม}^2$  และมีการพัฒนากำลังอัด  
153                   เพิ่มขึ้นเป็น  $360.353$  และ  $403 \text{ กก}/\text{ซม}^2$  ที่อายุคอนกรีต  $28$  วัน ตามลำดับ เมื่อพิจารณาการพัฒนากำลังอัด  
154                   ของจีโอพอลิเมอร์คอนกรีตบล็อกในรูปของร้อยละของกำลังอัดที่อายุ  $28$  วัน เทียบกับ  $7$  วัน โดยภาพรวม  
155                   พบว่า การใช้สารละลายโซเดียมไฮดรอกไซด์ที่มีความเข้มข้นสูงขึ้นไม่เกิน  $16$  เมลาร์ มีแนวโน้มให้ร้อยละของ  
156                   กำลังอัดที่อายุ  $28$  วัน เทียบกับ  $7$  วัน มีแนวโน้มสูงขึ้น และมีแนวโน้มลดลงเล็กน้อยเมื่อใช้ความเข้มข้นของ  
157                   สารละลายโซเดียมไฮดรอกไซด์ที่มีความเข้มข้นสูงถึง  $18$  เมลาร์ เช่น จีโอพอลิเมอร์คอนกรีตบล็อกที่ใช้ปริมาณ  
158                   มวลรวม M และใช้ความเข้มข้นของสารละลายโซเดียมไฮดรอกไซด์เท่ากับ  $12.14.16$  และ  $18$  เมลาร์ ที่บ่มใน  
159                   อุณหภูมิห้องและบ่มในอุณหภูมิ  $65^\circ\text{C}$  มีร้อยละของกำลังอัดที่อายุ  $28$  วัน เทียบกับ  $7$  วัน เท่ากับ  $135.4$   
160                    $176.7$   $207.5$   $193.2$  และ  $130.3$   $166.8$   $196.3$   $184.4$  ตามลำดับ การที่กำลังอัดของจีโอพอลิเมอร์คอนกรีต  
161                   บล็อกมีการพัฒนาสูงขึ้นตามอายุการบ่ม เนื่องจากการเกิดปฏิกิริยาพอลิเมอร์ไรท์เซชัน ปฏิกิริยานี้เป็นการทำ  
162                   ปฏิกิริยาลูกโซ่ของ Si และ Al ซึ่งทำให้เกิดสมบัติในการยึดประสานกันระหว่างจีโอพอลิเมอร์และมวลรวมมาก  
163                   ขึ้น ทำให้เกิดการอัดตัว เพิ่มความแข็งแรงคล้ายกับการก่อตัวและการแข็งตัวของซีเมนต์เพสต์ ทำให้จีโอพอลิ  
164                   เมอร์คอนกรีตบล็อกมีกำลังอัดสูงขึ้น (Davidovits, 1991; Rattanasak et al., 2009 ; Chindaprasirt  
165                   et al., 2009) เมื่อพิจารณาผลของอุณหภูมิที่ใช้บ่มจีโอพอลิเมอร์คอนกรีตบล็อกต่อการพัฒนากำลังอัดของจี  
166                   โอพอลิเมอร์คอนกรีตบล็อก พบร่วมกับการบ่มจีโอพอลิเมอร์คอนกรีตบล็อกในอุณหภูมิห้องมีการพัฒนากำลังอัดใน

167 รูปของร้อยละของกำลังอัดที่อายุ 28 วัน เทียบกับ 7 วัน สูงกว่ากลุ่มที่บ่มในอุณหภูมิ  $65^{\circ}\text{C}$  และเป็นแนวโน้ม  
 168 เดียวกันทุกส่วนผสม ทั้งนี้เนื่องจากจีโอลิเมอร์คอนกรีตบล็อกที่บ่มในตู้อบที่อุณหภูมิ  $65^{\circ}\text{C}$  เป็นการบ่ม<sup>1</sup>  
 169 ในช่วงอายุต้นๆ ซึ่งทำให้เร่งการเกิดปฏิกิริยาโพลิเมอร์ไว้ เช่นในช่วงต้นให้เร็วขึ้น (Sarker et al., 2013 ;  
 170 Chindaprasirt et al., 2013) จึงส่งผลให้กำลังอัดของจีโอลิเมอร์คอนกรีตบล็อกกลุ่มนี้มีค่าสูงที่อายุต้นอยู่  
 171 แล้ว และมีผลให้ร้อยละของกำลังอัดที่อายุ 28 วัน เทียบกับ 7 วัน มีค่าต่ำกว่ากลุ่มที่บ่มในอุณหภูมิห้อง<sup>2</sup>  
 172

173 ผลของความเข้มข้นของโซเดียมไฮดรอกไซด์ต่อกำลังอัดของจีโอลิเมอร์คอนกรีตบล็อก  
 174 เมื่อพิจารณาผลของความเข้มข้นของสารละลายโซเดียมไฮดรอกไซด์ต่อกำลังอัดของจีโอลิเมอร์  
 175 คอนกรีตบล็อกที่อายุ 28 วัน ที่บ่มในอุณหภูมิห้องและบ่มในอุณหภูมิ  $65^{\circ}\text{C}$ . ดังแสดงในภาพที่ 2(ก) และ 2(ข)  
 176 ตามลำดับ พบร้า กำลังอัดของจีโอลิเมอร์คอนกรีตบล็อกมีแนวโน้มสูงขึ้น ตามความเข้มข้นของสารละลาย  
 177 โซเดียมไฮดรอกไซด์ที่มากขึ้น เช่น จีโอลิเมอร์คอนกรีตบล็อกที่ใช้มวลรวมปริมาณ S และใช้ความเข้มข้นของ  
 178 สารละลายโซเดียมไฮดรอกไซด์เท่ากับ 12 14 16 และ 18 โมลาร์ ที่บ่มในอุณหภูมิห้อง มีกำลังอัดที่อายุ 28 วัน  
 179 เท่ากับ 214 251 309 และ  $338 \text{ กก}/\text{ซม}^2$  ตามลำดับ การเพิ่มขึ้นของกำลังอัดในจีโอลิเมอร์คอนกรีตบล็อก  
 180 ที่ใช้ความเข้มข้นของสารละลายโซเดียมไฮดรอกไซด์ที่มากขึ้น อาจเป็นผลจากสารละลายโซเดียมไฮดรอกไซด์  
 181 ที่มีความเข้มข้นสูงขึ้น สามารถช่วยให้โซเดียมไฮดรอกไซด์ที่มากขึ้น ซึ่งทำให้เกิดปฏิกิริยาโพลิ  
 182 เมอร์ไว้ เช่นได้สมบูรณ์ และส่งผลให้จีโอลิเมอร์คอนกรีตมีกำลังอัดสูงขึ้นได้ (Hanjitsuwan et al.,  
 183 2014 ; Palomo et al., 1999) อย่างไรก็ตาม การศึกษาที่ผ่านมา (อุบลลักษณ์ รัตนศักดิ์ และคณะ, 2549)  
 184 พบร้า การจะช่วยลดผลกระทบจากการขาดตัวเชิงกลของบล็อกคอนกรีตที่ส่งผลให้  
 185 186 187 188 189 190 191 192 193 194 195 196 197 198 199 ผลของความเข้มข้นของสารละลายโซเดียมไฮดรอกไซด์ที่มีความ  
 ผลของมวลรวมมวลรวมต่อกำลังอัดของจีโอลิเมอร์คอนกรีตบล็อก  
 เมื่อพิจารณาผลของปริมาณมวลรวมต่อกำลังอัดของจีโอลิเมอร์คอนกรีตบล็อก ที่บ่มในอุณหภูมิห้อง<sup>2</sup>  
 และบ่มในอุณหภูมิ  $65^{\circ}\text{C}$  ที่ อายุ 28 วัน ดังแสดงในภาพที่ 3(ก) และ 3(ข) ตามลำดับ เมื่อพิจารณากลุ่มที่บ่ม<sup>1</sup>  
 ในอุณหภูมิห้อง พบร้า จีโอลิเมอร์คอนกรีตบล็อกที่ใช้มวลรวมปริมาณ M ส่งผลให้กำลังอัดของจีโอลิ  
 เมอร์คอนกรีตบล็อกมีแนวโน้มสูงสุด และกำลังอัดของจีโอลิเมอร์คอนกรีตบล็อกมีแนวโน้มลดลงเมื่อใช้  
 ปริมาณมวลรวมมากขึ้นเป็น L เช่น กำลังอัดของจีโอลิเมอร์คอนกรีตบล็อกที่ใช้สารละลายโซเดียมไฮดรอก  
 ไซด์ความเข้มข้นเท่ากับ 14 โมลาร์ ที่อายุ 28 วัน เมื่อใช้ปริมาณของมวลรวม S M และ L ให้กำลังอัดที่อายุ  
 28 วัน เท่ากับ 251 341 และ  $308 \text{ กก}/\text{ซม}^2$  ตามลำดับ ผลการศึกษาครั้งนี้เป็นที่น่าสังเกตว่า การใช้ปริมาณ  
 มวลรวมที่มากเกินไป ส่งผลให้กำลังอัดของจีโอลิเมอร์คอนกรีตบล็อกต่ำลง น่าจะเป็นผลจากหินผุนที่มากขึ้น  
 ส่งผลให้ปริมาณของวัสดุประสาน ในส่วนผสมลดลง จึงมีผลให้การยึดเกาะระหว่างผิวของมวลรวมมีน้อย ความ

200 แข็งแรงของคอนกรีตบล็อกจึงต่ำลงด้วย ขณะเดียวกันการใช้ปริมาณมวลรวมที่ต่ำเกินไป อาจทำให้มวลรวมที่มี  
 201 ความแข็งแรงที่ช่วยรับแรงอัดมีปริมาณน้อยลง จึงทำให้การรับแรงของจีโอพอลิเมอร์คอนกรีตบล็อกลดลงได้  
 202 การรับแรงของคอนกรีตบล็อกเป็นไปในสองลักษณะคือ ผลของการอัดตัวของมวลรวม (packing effect) กับ  
 203 ผลกระทบการยึดเกาะของสัดประสาณ (Tangpagasit et al., 2005) ซึ่งขึ้นกับสมบัติของจีโอพอลิเมอร์เพสต์  
 204 ดังนั้น การใช้มวลรวมที่มีปริมาณสูงมากไปการยึดประสาณก็ต่ำลง มีผลให้กำลังอัดต่ำลงได้ หรือการมวลรวมที่มี  
 205 ปริมาณน้อยไปอาจส่งผลต่อการอัดตัวของคอนกรีตบล็อกที่มีมวลรวมน้อยไป ก็จะด้านการรับแรงเชิงกลได้  
 206 ต่ำลง (Joseph and Mathew, 2012)

207 เมื่อพิจารณากลุ่มที่ป่มในอุณหภูมิ 65 °C พบร่วมการใช้มวลรวมที่มีปริมาณมากขึ้นมีแนวโน้ม ให้กำลังอัด  
 208 ของจีโอพอลิเมอร์คอนกรีตบล็อกมีแนวโน้มสูงขึ้น ซึ่งอาจเป็นผลจากเพสต์ที่เกิดจากการบ่มที่อุณหภูมิสูงมี  
 209 คุณภาพดี จึงส่งผลให้การยึดเกาะได้ดีขึ้น ถึงแม้มวลรวมจะมีปริมาณสูง นอกจากนี้ความแข็งแรงของคอนกรีต  
 210 บล็อกไม่ได้มีปัญหาที่จุดยึดประสาณระหว่างมวลรวมกับจีโอพอลิเมอร์เพสต์ ดังนั้นการเพิ่มปริมาณมวลรวมที่มี  
 211 ความแข็งแรง จะช่วยให้คอนกรีตบล็อกมีความแข็งแรงเพิ่มขึ้น ซึ่งอาจเป็นผลจากการอัดตัวของมวลรวม

#### 213 ผลของอุณหภูมิต่อกำลังอัดของจีโอพอลิเมอร์คอนกรีตบล็อก

214 เมื่อพิจารณาผลของอุณหภูมิต่อกำลังอัดที่อายุ 28 ของคอนกรีตบล็อกที่ใช้มวลรวมปริมาณ S M และ  
 215 L ดังแสดงในภาพที่ 4(ก) 4(ข) และ 4(ค) ตามลำดับ พบร่วม อุณหภูมิในการบ่มคอนกรีตบล็อกที่สูงขึ้น ส่งผลให้  
 216 กำลังอัดที่อายุ 28 วัน มีค่าสูงขึ้น โดยมีแนวโน้มเมื่อยืนกันในทุกความเข้มข้นของ NaOH และทุกกลุ่มของ  
 217 ปริมาณมวลรวมที่ต่างกัน การที่อุณหภูมิสูงขึ้นมีผลต่อการเพิ่มของกำลังอัดในจีโอพอลิเมอร์คอนกรีต  
 218 บล็อก เป็นผลจากการเพิ่มอุณหภูมิในการบ่มเป็นตัวเร่งปฏิกิริยาจีโอพอลิเมอร์ใช้ชันให้เกิดปฏิกิริยาได้เร็ว  
 219 และสมบูรณ์มากขึ้น (Sarker et al., 2013 ; Chindaprasirt et al., 2013)

220 พิจารณาประสิทธิภาพของอุณหภูมิป่ม (Effective curing temperature) ต่อกำลังอัดจีโอพอลิเมอร์  
 221 คอนกรีตบล็อกตามสมการที่ (1)

$$222 E_T = \frac{[(C_{65} - C_R) \times 100]}{C_R} \quad (1)$$

223 เมื่อ  $E_T$  = ประสิทธิภาพของอุณหภูมิป่ม (ร้อยละ)

224  $C_{65}$  = กำลังอัดจีโอพอลิเมอร์คอนกรีตบล็อกที่ป่มในอุณหภูมิ 65 °C (กก/ซม<sup>2</sup>)

225  $C_R$  = กำลังอัดจีโอพอลิเมอร์คอนกรีตบล็อกที่ป่มในอุณหภูมิห้อง (กก/ซม<sup>2</sup>)

226 เมื่อพิจารณาผลของความเข้มข้นของสารละลายโซเดียมไฮดรอกไซด์ต่อประสิทธิภาพของอุณหภูมิป่ม<sup>2</sup>  
 227 ในจีโอพอลิเมอร์คอนกรีตบล็อก ที่ใช้มวลรวมปริมาณ S ที่อายุ 7 และ 28 วัน ดังภาพที่ 5 พบร่วม การใช้ความ  
 228 เข้มข้นของสารละลายโซเดียมไฮดรอกไซด์สูงขึ้น ส่งผลให้ประสิทธิภาพของอุณหภูมิที่ใช้บ่มจีโอพอลิเมอร์  
 229 คอนกรีตบล็อกลดลงอย่างชัดเจน โดยมีแนวโน้มเมื่อยืนกันทั้งที่อายุ 7 และ 28 วัน เช่น จีโอพอลิเมอร์คอนกรีต  
 230 บล็อกที่ใช้มวลรวมปริมาณ S และใช้ความเข้มข้นของสารละลายโซเดียมไฮดรอกไซด์เท่ากับ 12 14 16 และ  
 231 บล็อกที่ใช้มวลรวมปริมาณ S และใช้ความเข้มข้นของสารละลายโซเดียมไฮดรอกไซด์เท่ากับ 12 14 16 และ

232 18 โมลาร์ ให้ประสิทธิภาพของอุณหภูมิบ่มที่อายุ 28 วัน เท่ากับ ร้อยละ 68.2 51.6 22.0 และ 5.9  
 233 ตามลำดับ ซึ่งแสดงให้เห็นว่า การใช้อุณหภูมิบ่มที่สูงขึ้น มีผลต่อการเพิ่มกำลังอัดของจีโอพอลิเมอร์คองกรีต  
 234 บล็อก ในกลุ่มที่ใช้สารละลายโซเดียมไฮดรอกไซด์ที่มีความเข้มข้นต่างกันว่าความเข้มข้นสูง การที่อุณหภูมิบ่ม<sup>2</sup>  
 235 สูงขึ้น มีประสิทธิภาพต่อการเพิ่มกำลังอัดของจีโอพอลิเมอร์คองกรีตบล็อก เมื่อใช้ความเข้มข้นของสารละลาย  
 236 โซเดียมไฮดรอกไซด์ต่ำลง น่าจะเป็นผลจากสารละลายโซเดียมไฮดรอกไซด์ที่มีความเข้มข้นสูง สามารถชะลอซี  
 237 ลิกาและอลูมีนาจากเด็ก้านหินได้มาก และทำให้เกิดปฏิกิริยาพอลิเมอร์ไวร์ท์เขี้ยวน้ำที่ส่งผลให้จีโอพอลิเมอร์  
 238 คองกรีตบล็อกมีกำลังอัดสูงได้ในอุณหภูมิห้องอยู่แล้ว (Hanjitsuwan *et al.*, 2014 ; Palomo *et al.*,  
 239 1999) โดยไม่จำเป็นต้องกระตุ้นปฏิกิริยาโดยใช้อุณหภูมิที่สูงขึ้น ส่วนกลุ่มที่ใช้สารละลายโซเดียมไฮดรอกไซด์ที่  
 240 มีความเข้มข้นต่ำ จะมีปริมาณของซีลิกาและอลูมีนาที่ถูกชะลากจากเด็ก้านหินลดลง ดังนั้นการกระตุ้นให้  
 241 เกิดปฏิกิริยาพอลิค่อนเด็นเซ่นโดยใช้อุณหภูมิบ่มที่สูงขึ้น จึงมีผลต่อการเพิ่มกำลังอัดของจีโอพอลิเมอร์  
 242 คองกรีตบล็อกกลุ่มนี้อย่างชัดเจน นอกจากนั้น การศึกษาครั้งนี้พบว่า การใช้อุณหภูมิบ่มที่สูงขึ้น มี  
 243 ประสิทธิภาพต่อการเพิ่มกำลังอัดของจีโอพอลิเมอร์คองกรีตบล็อกในช่วงอายุตันๆ (7 วัน) มากกว่าอายุที่นาน  
 244 ขึ้น (28 วัน) ทั้งนี้เนื่องจากการกระตุ้นการเกิดปฏิกิริยาพอลิค่อนเด็นเซ่นโดยใช้อุณหภูมิบ่มที่สูงตั้งแต่ล่า  
 245 เกิดขึ้นในช่วงอายุตันๆ ของการบ่มจีโอพอลิเมอร์คองกรีตบล็อก (Chindaprasirt *et al.*, 2013)

246  
 247 **การคุณค่ามีน้ำของจีโอพอลิเมอร์คองกรีตบล็อก**  
 248 เมื่อพิจารณาผลของความเข้มข้นของสารละลายโซเดียมไฮดรอกไซด์ต่อการคุณค่ามีน้ำของจีโอพอลิเมอร์  
 249 คองกรีตบล็อก ในกลุ่มที่บ่มในอุณหภูมิห้องดังภาพที่ 6 พบว่า การใช้สารละลายโซเดียมไฮดรอกไซด์ที่มีความ  
 250 เข้มข้นสูงขึ้น ส่งผลให้การคุณค่ามีน้ำในจีโอพอลิเมอร์คองกรีตบล็อกต่ำลง และให้แนวโน้มในทิศทางเดียวกันใน  
 251 ปริมาณหินผุนผุนทั้ง 3 กลุ่ม เช่น การใช้มวลรวมปริมาณ S ในจีโอพอลิเมอร์คองกรีตบล็อกที่ใช้ความเข้มข้นของ  
 252 สารละลายโซเดียมไฮดรอกไซด์เท่ากับ 12 14 16 และ 18 โมลาร์ ที่บ่มในอุณหภูมิห้องให้การคุณค่ามีน้ำเท่ากับ  
 253 ร้อยละ 1.52 1.12 0.67 และ 0.64 ตามลำดับ ทั้งนี้เกิดจากจีโอพอลิเมอร์คองกรีตบล็อกกลุ่มที่ใช้ความ  
 254 เข้มข้นของสารละลายโซเดียมไฮดรอกไซด์ที่มีความเข้มข้นต่ำ มีกำลังยึดเหนี่ยวระหว่างจีโอพอลิเมอร์เพสต์กับ  
 255 มวลรวมต่ำกว่ากลุ่มที่ใช้สารละลายโซเดียมไฮดรอกไซด์ที่มีความเข้มข้นสูง โดยความเข้มข้นของ NaOH ที่  
 256 สูงขึ้นส่งผลให้ชะลอซีลิกาและอลูมีนาที่สามารถเข้าทำปฏิกิริยาพอลิเมอร์ไวร์ท์เขี้ยวน้ำได้ และทำให้มีการยึดเกาะ  
 257 ที่ดี ส่งผลให้ความพรุนระหว่างเพสต์กับมวลรวมหยาบน้อยลง จึงทำให้ช่องว่างระหว่างมวลรวมลดลงด้วย จีโอ  
 258 พอลิเมอร์คองกรีตบล็อกจึงมีการคุณค่ามีน้ำต่ำลงด้วย

259 เมื่อพิจารณาผลของปริมาณมวลรวม S M และ L ต่อการคุณค่ามีน้ำของจีโอพอลิเมอร์คองกรีตบล็อก  
 260 ของกลุ่มที่บ่มในอุณหภูมิห้อง (ภาพที่ 5) พบว่า การเพิ่มปริมาณมวลรวมจาก S เป็น M มีแนวโน้มให้การคุณค่า  
 261 น้ำลดลงและมีแนวโน้มสูงขึ้นอีกครั้งเมื่อเพิ่มปริมาณมวลรวมเป็น L เช่น จีโอพอลิเมอร์คองกรีตบล็อกที่ใช้  
 262 สารละลายโซเดียมไฮดรอกไซด์ที่ 12 โมลาร์ และใช้หินผุนปริมาณ S, M และ L หลังบ่มในอุณหภูมิห้องที่อายุ  
 263 28 วัน ให้การคุณค่ามีน้ำเท่ากับร้อยละ 1.52 0.90 และ 1.19 ตามลำดับ ผลดังกล่าวอาจเกิดจากการใช้มวลรวม  
 264 ที่มีปริมาณน้อย (S) ส่งผลให้ความพรุนของคองกรีตบล็อกขึ้นกับจีโอพอลิเมอร์เพสต์ ตลอดจนช่องว่างระหว่าง

265 มวลรวมมีมากขึ้น จึงทำให้การดูดซึมน้ำมีค่าสูงและเป็นที่น่าสังเกตว่า การดูดซึมน้ำในจีโอพอลิเมอร์คอนกรีต  
 266 บล็อกกลุ่มนี้มีขั้นกับความเข้มข้นของสารละลาย NaOH ค่อนข้างชัดเจนกว่ากลุ่มอื่น แต่เมื่อใช้ปริมาณมวลรวม  
 267 ขั้นเป็น M กลับพบว่า การดูดซึมน้ำต่ำลง จีโอพอลิเมอร์คอนกรีตบล็อกทึบน้ำมากขึ้น ซึ่งอาจเกิดจากปริมาณ  
 268 มวลรวมดังกล่าวเป็นปริมาณที่เหมาะสมในการแทรกตัวและลดช่องว่างในมวลรวม ส่วนการใช้มวลรวมสูงขึ้น  
 269 เป็น L พบว่า การดูดซึมน้ำเพิ่มขึ้นเล็กน้อย ซึ่งเกิดจากปริมาณมวลรวมมากเกินไป ทำให้จีโอพอลิเมอร์คอนกรีต  
 270 เพสต์ลดลง จึงมีผลให้การดูดซึมน้ำสูงขึ้น ตลอดจนมวลรวมอาจมีการดูดน้ำเองด้วย โดยผลการทดสอบการดูดซึมน้ำ  
 271 ของจีโอพอลิเมอร์คอนกรีตบล็อกในครั้งนี้ สอดคล้องกับกำลังอัดของจีโอพอลิเมอร์คอนกรีตบล็อกดังที่กล่าว  
 272 มาข้างต้น โดยกำลังอัดจีโอพอลิเมอร์คอนกรีตบล็อกสูงขึ้นส่งผลให้การดูดซึมน้ำลดลง  
 273

#### 274 สรุปผลการวิจัย

##### 275 ผลการศึกษาสรุปได้ดังนี้

- 276 1. การใช้ความเข้มข้นของสารละลายโซเดียมไฮดรอกไซด์ที่สูงขึ้น ส่งผลให้จีโอพอลิเมอร์คอนกรีตบล็อกมี  
 277 กำลังอัดเพิ่มขึ้นและการดูดซึมน้ำมีค่าลดลง
- 278 2. การใช้อัตราส่วนระหว่าง เถ้าถ่านหิน:หินฝุ่น เท่ากับ 1:6 โดยน้ำหนัก ส่งผลให้กำลังอัดของจีโอพอลิ  
 279 เมอร์คอนกรีตบล็อกมีค่าสูงสุดทั้งกลุ่มที่บ่มในอุณหภูมิห้องและบ่มในอุณหภูมิ  $65^{\circ}\text{C}$
- 280 3. การใช้อุณหภูมิในการบ่มสูงขึ้นส่งผลให้กำลังอัดของจีโอพอลิเมอร์คอนกรีตบล็อกสูงขึ้น โดยอุณหภูมิบ่ม  
 281 ที่สูงขึ้นมีประสิทธิภาพต่อการเพิ่มกำลังอัดของจีโอพอลิเมอร์คอนกรีตบล็อกในกลุ่มที่ใช้ความเข้มข้น  
 282 ของ NaOH ต่ำ มากกว่าความเข้มข้นของ NaOH สูง
- 283 4. การศึกษารังนีพบว่า จีโอพอลิเมอร์ของคอนกรีตบล็อกที่ใช้ความเข้มข้นของสารละลายโซเดียมไฮ  
 284 ดรอกไซด์เท่ากับ 18 มอลาร์ และอัตราส่วนระหว่าง เถ้าถ่านหิน:หินฝุ่น เท่ากับ 1:6 โดยน้ำหนัก ให้  
 285 ผลดีต่อสมบัติจีโอพอลิเมอร์คอนกรีตบล็อกชนิดรับน้ำหนักมากที่สุด เนื่องจากให้การรับแรงเชิงกลที่ดี  
 286 ควบคู่กับการดูดซึมน้ำต่ำ

#### 287 288 กิตติกรรมประกาศ

289 ผู้เขียนขอขอบคุณ ทุนอุดหนุนการวิจัยงบประมาณเงินรับฝาก (เงินงบประมาณแผ่นดิน) มหาวิทยาลัย  
 290 บูรพา โครงการส่งเสริมการวิจัยในสถาบันอุดมศึกษาและการพัฒนามหาวิทยาลัยสำนักงานคณะกรรมการการ  
 291 อุดมศึกษาประจำปีงบประมาณพ.ศ. 2557 (HERP)

292

293

294

295

296

297

- 298 เอกสารอ้างอิง
- 299
- 300 สำนักงานมาตรฐานผลิตภัณฑ์อุตสาหกรรม กระทรวงอุตสาหกรรม, (2547). มาตรฐานผลิตภัณฑ์อุตสาหกรรม  
301 มอก. 57-2533 ค่อนกรีดบล็อกรับน้ำหนัก. พิมพ์ครั้งที่ 7, สำนักงานมาตรฐานผลิตภัณฑ์อุตสาหกรรม  
302 กระทรวงอุตสาหกรรม, กรุงเทพมหานคร.
- 303 สำนักงานมาตรฐานผลิตภัณฑ์อุตสาหกรรม กระทรวงอุตสาหกรรม, (2547). มาตรฐานผลิตภัณฑ์อุตสาหกรรม  
304 มอก. 58-2533 ค่อนกรีดบล็อกไม่รับน้ำหนัก. พิมพ์ครั้งที่ 7, สำนักงานมาตรฐาน  
305 ผลิตภัณฑ์อุตสาหกรรม กระทรวงอุตสาหกรรม, กรุงเทพมหานคร.
- 306 อุบลลักษณ์ รัตนศักดิ์ วิเชียร ชาลี และ ปริญญา จินดาประเสริฐ. (2549). การศึกษาการซ่อมบำรุงตัวถ่านหินลิกไนต์  
307 และกำลังอัดของวัสดุจีโอโพลิเมอร์จากถ่านหิน. วารสารวิจัยและพัฒนา มหา, 29(4), 437-446.
- 308 Anurag, M., Deepika, C., Namrata, J., Manish, K., Nidhi, S., & Durga, D., (2008). Effect of  
309 concentration of alkali liquid and curing time on strength and water absorption of  
310 geopolymers concrete. *Eng Appl Sci*, 3, 14-18.
- 311 ASTM C618. (1997). Standard Specification for Coal Fly Ash and Raw or Calcined Natural  
312 Pozzolan for Use in Concrete, fly ash, natural pozzolan, pozzolans. *Annual Book of*  
313 *ASTM Standards; V. 04.01*.
- 314 ASTM C127-88. (2001). Standard Test Method for Density, Relative Density (Specific Gravity),  
315 and Absorption of Coarse Aggregate. *Annual Book of ASTM Standards; V. 04.01*.
- 316 ASTM C642-97. (2001). Standard Test Method for Density, Absorption, and Voids in Hardened  
317 Concrete. *Annual Book of ASTM Standards; V. 04.01*.
- 318 Bakharev, T., (2005). Geopolymeric materials prepared using Class F fly ash and elevated  
319 temperature curing. *Cement and Concrete Research*, 35, 1224-1232.
- 320 Chindaprasirt, P., Chalee, W., Jaturapitakkul, C., & Rattanasak, U., (2009). Comparative study on  
321 the characteristics of fly ash and bottom ash geopolymers. *Waste Management*, 29,  
322 539-543.
- 323 Chindaprasirt, P., Rattanasak, U., & Taebuanhuad, S., (2013). Resistance to acid and sulfate  
324 solutions of microwave-assisted high calcium fly ash geopolymer. *Materials and*  
325 *Structures*, 46, 375-381.
- 326 Davidovits, J., (1991). Geopolymer inorganic polymeric new materials. *J Therm Anal*, 37, 1633-  
327 1659.
- 328 Gum Sung Ryu, Young Bok Lee, Kyung Taek Koh, & Young Soo Chung., (2013). The mechanical  
329 properties of fly ash-based geopolymer concrete with alkaline activators. *Construction*  
330 *and Building Materials*, 47, 409-418.

- 331 Hanjitsuwan, S., Hunpratub, S., Thongbai, P., Maensiri, S., Sata, V., & Chindaprasirt, P., (2014).  
332 Effects of NaOH concentrations on physical and electrical properties of high calcium  
333 fly ash geopolymer paste. *Cement and Concrete Composites*, 45, 9-14.
- 334 Huajun Zhu, Zuhua Zhang, Fenggan Deng, & Yalong Cao., (2013). The effects of phase  
335 changes on the bonding property of geopolymer to hydrated cement. *Constrction*  
336 and *Building Materials*, 48, 124-130.
- 337 Joseph, B., & Mathew, G., (2012). Influence of aggregate content on the behavior of fly ash  
338 based geopolymer concrete. *Scientia Iranica A* 19, 1188–1194.
- 339 Palomo, A., Grutzek, MW., & Blanco, MT., (1999). Fracture behaviour of heat cured fly ash  
340 based geopolymer concrete. *Cement and Concrete Research*, 29, 1323-1329.
- 341 Rattanasak, U., & Chindaprasirt, P., (2009). Influence of Na(OH) solution on the synthesis of fly  
342 ash geopolymer. *Miner Eng*, 22, 1073-1078.
- 343 Sarker, K., AHaque, R., & Ramgolam, K., (2013). Fracture behaviour of heat cured fly ash based  
344 geopolymer concrete. *Materials and Design*, 44, 580-586.
- 345 Tangpagasit, J., Cheerarot, R., Jaturapitakkul, C., & Kiattikomol, K., (2005). Packing effect and  
346 pozzolanic reaction of fly ash in mortar. *Constrction and Building Materials*, 35,  
347 1145-1151.
- 348
- 349
- 350
- 351
- 352
- 353
- 354
- 355
- 356
- 357
- 358
- 359
- 360
- 361
- 362
- 363

364

ตารางที่ 1 องค์ประกอบทางเคมีของถ้วยตานหิน

องค์ประกอบทางเคมี (%)	ถ้วยตานหิน
Silicon Dioxide, $\text{SiO}_2$	34.10
Aluminum Oxide, $\text{Al}_2\text{O}_3$	19.90
Iron Oxide, $\text{Fe}_2\text{O}_3$	16.91
Calcium Oxide, $\text{CaO}$	18.75
Magnesium Oxide, $\text{MgO}$	-
Sodium Oxide, $\text{Na}_2\text{O}$	0.69
Potassium Oxide, $\text{K}_2\text{O}$	2.38
Sulfur Trioxide, $\text{SO}_3$	2.21
Loss On Ignition, LOI	0.11

365

ตารางที่ 2 ส่วนผสมจีโอพอลิเมอร์คอนกรีตบล็อก

ส่วนผสม	ส่วนผสมจีโอพอลิเมอร์คอนกรีตบล็อก						ความเข้มข้น ของ NaOH (มิลาร์)				
	ถ้วยตานหิน (กรัม)	หินฝุ่น (กรัม)			NaOH (กรัม)	$\text{Na}_2\text{O}:\text{SiO}_3$ (กรัม)					
		ถ้วยตานหิน : หินฝุ่น									
		1:4	1:6	1:8							
12M-S	1544	6176	0	0	336	668	12				
12M-M	1544	0	9264	0	336	668	12				
12M-L	1544	0	0	12352	336	668	12				
14M-S	1544	6176	0	0	336	668	14				
14M-M	1544	0	9264	0	336	668	14				
14M-L	1544	0	0	12352	336	668	14				
16M-S	1544	6176	0	0	336	668	16				
16M-M	1544	0	9264	0	336	668	16				
16M-L	1544	0	0	12352	336	668	16				
18M-S	1544	6176	0	0	336	668	18				
18M-M	1544	0	9264	0	336	668	16				
18M-L	1544	0	0	12352	336	668	16				

367

368

369

370 ตารางที่ 3 กำลังอัดของจีโอพอลิเมอร์คอนกรีตบล็อก

ส่วนผสม	ปั่นที่อุณหภูมิห้อง			ปั่นที่อุณหภูมิ $65^{\circ}\text{C}$				
	กำลังอัด ( $\text{กก}/\text{ซม}^2$ )			กำลังอัด 28 วัน เทียบ 7 วัน (ร้อยละ)	กำลังอัด ( $\text{กก}/\text{ซม}^2$ )			กำลังอัด 28 วัน เทียบ 7 วัน (ร้อยละ)
	7 วัน	14 วัน	28 วัน		7 วัน	14 วัน	28 วัน	
12 M-S	114	180	214	187.7	227	342	360	158.6
12M-M	198	250	268	135.4	271	330	353	150.6
12M-L	155	200	299	192.9	244	257	403	165.2
14M-S	126	189	251	192.9	239	352	380	159.0
14M-M	193	217	341	176.7	220	420	367	166.8
14M-L	153	168	308	201.3	264	350	413	166.3
16M-S	110	165	309	280.9	213	257	377	177.0
16M-M	161	200	334	201.3	219	263	430	196.3
16M-L	113	169	301	280.9	191	230	425	222.5
18M-S	102	214	338	331.4	151	223	358	237.1
16M-M	190	242	367	193.2	200	345	369	196.3
18M-L	160	208	338	211.3	220	355	414	188.2

371

372

373

374

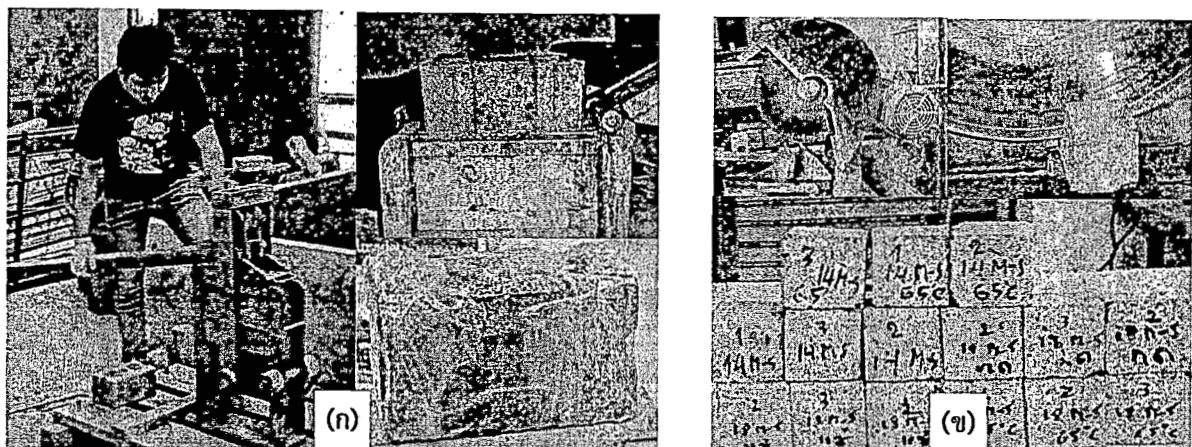
375

376

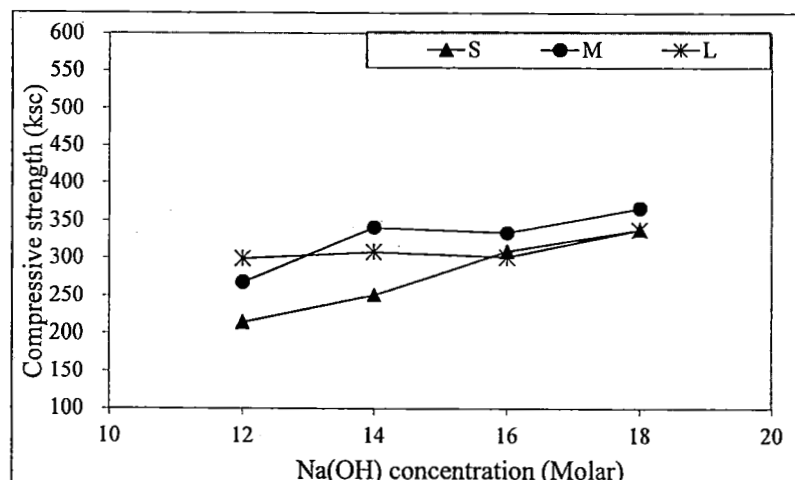
377

378

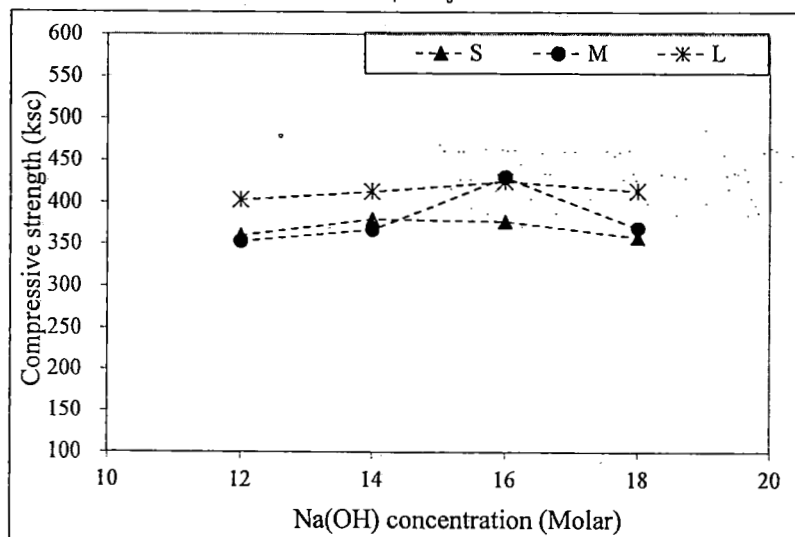
379



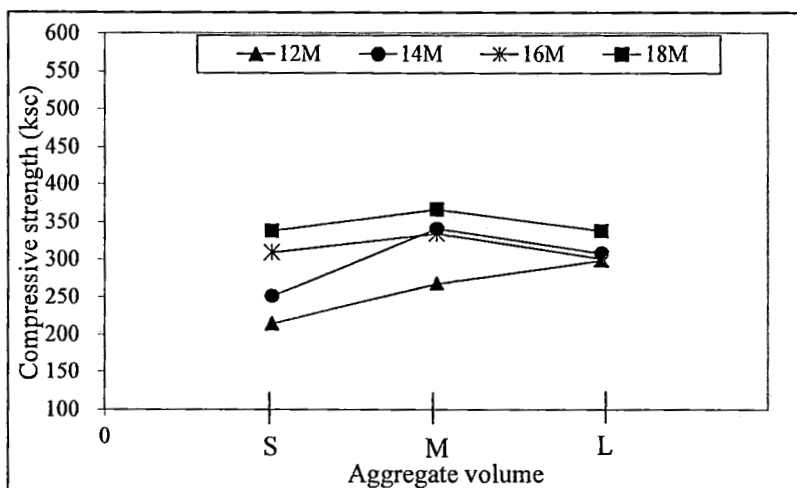
380  
381 ภาพที่ 1 การเตรียมตัวอย่างจีโอพอลิเมอร์คอนกรีตบล็อกโดย ก) การอัดคอนกรีตบล็อก ข) การตัดตัวอย่าง  
382 เพื่อทดสอบกำลังอัด



383  
384 ก) บ่มที่อุณหภูมิห้อง

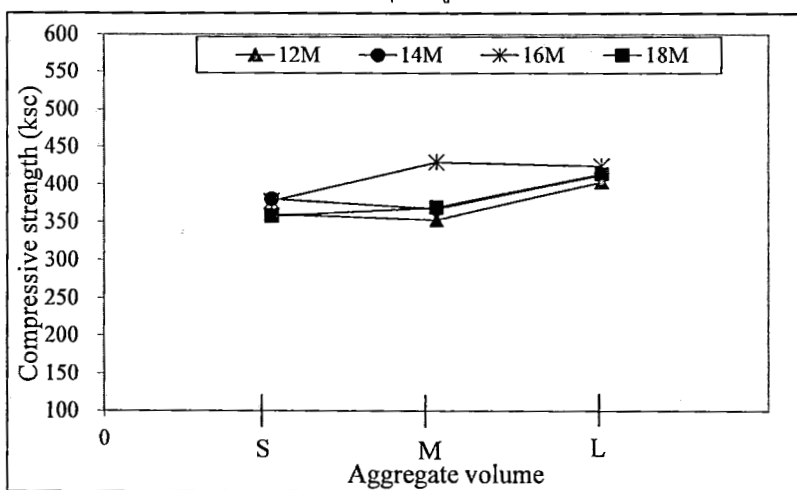


385  
386 ข) บ่มที่อุณหภูมิ 65°  
387 ภาพที่ 2 ผลของความเข้มข้นของสารละลายน้ำดีมายไฮดรอกไซด์ต่อกำลังอัดของจีโอพอลิเมอร์คอนกรีตบล็อก  
388 ที่อายุ 28 วัน

389  
390

391

ก) บ่อมที่อุณหภูมิห้อง

392  
393

394

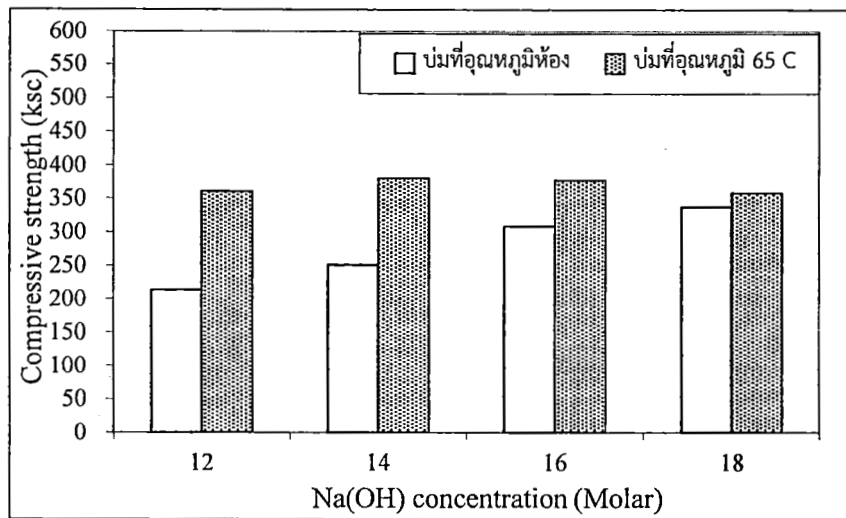
ข) บ่อมที่อุณหภูมิ 65°ช

395 ภาพที่ 3 ผลของปริมาณมวลรวมต่อกำลังอัดของจีโอพอลิเมอร์คอนกรีตบล็อกที่อายุ 28 วัน

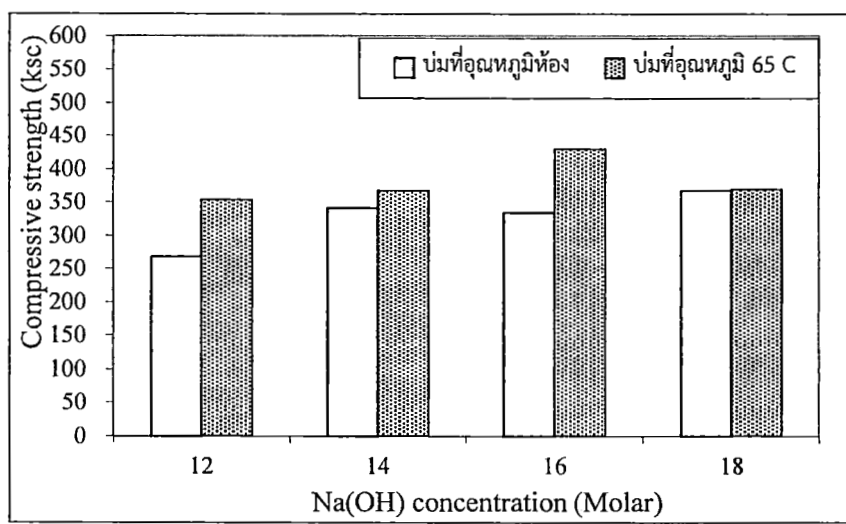
396

397

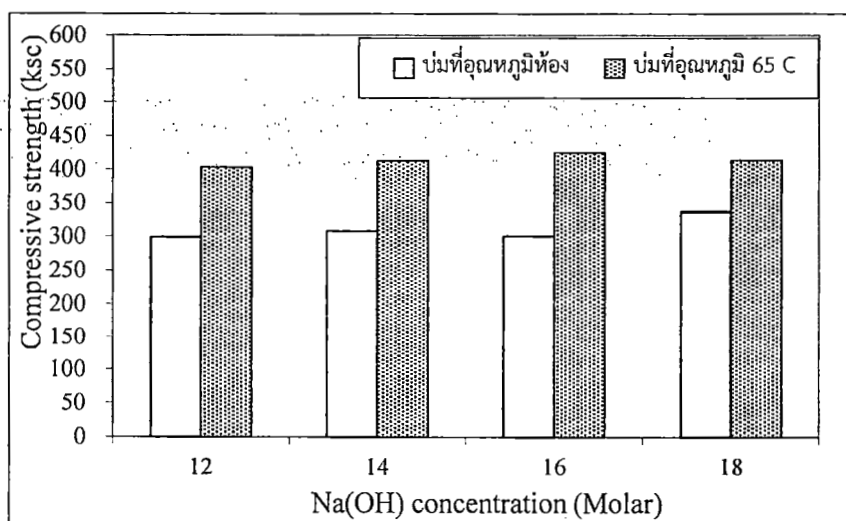
398



ก) ปริมาณมวลรวม S



ข) ปริมาณมวลรวม M



ค) ปริมาณมวลรวม L

ภาพที่ 4 ผลของอุณหภูมิบ่มต่อกำลังอัดของจีโอพอลิเมอร์คอนกรีตบล็อกที่อายุ 28 วัน

399

400

401

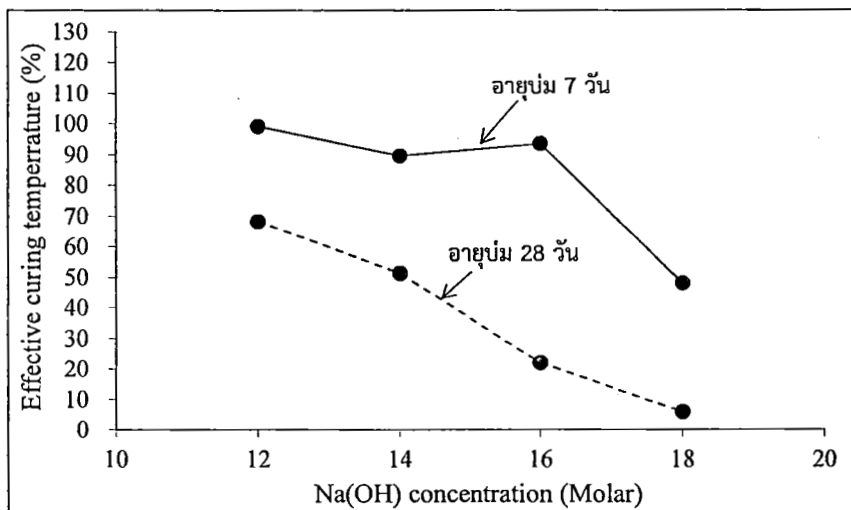
402

403

404

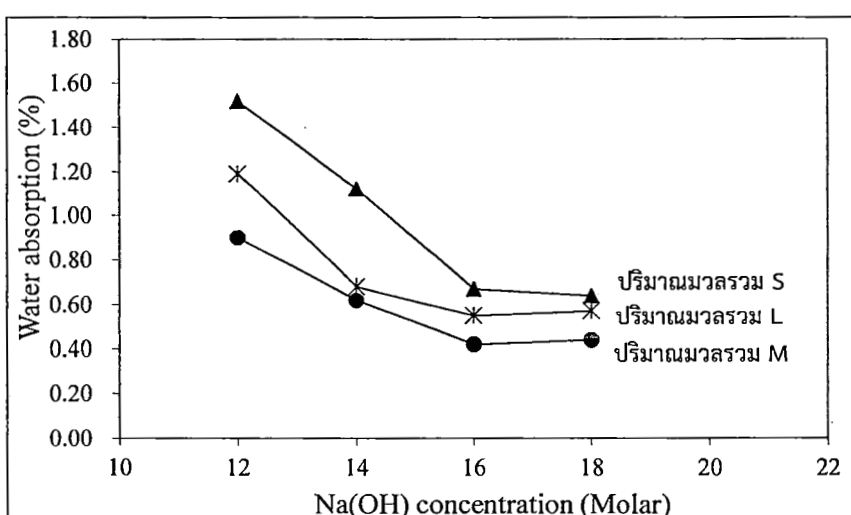
405

406

407  
408

409 ภาพที่ 5 ผลของความเข้มข้นของสารละลายโซเดียมไฮดรอกไซด์ต่อประสิทธิภาพของอุณหภูมิปั่นในจีโอพอลิ  
410 เมอร์คองกรีตบล็อกที่ใช้มวลรวมปริมาณ S ที่อายุ 7 และ 28 วัน

411

412  
413

414 ภาพที่ 6 ผลของความเข้มข้นของสารละลายโซเดียมไฮดรอกไซด์ต่อการดูดซึมน้ำในจีโอพอลิเมอร์คองกรีต  
415 บล็อกที่อายุ 28 วัน

416

ภาคผนวก ข  
รายงานการเงิน

รายงานสรุปการเงิน  
เลขที่โครงการ (NRPM 13 หลัก) 2557A10862004  
โครงการส่งเสริมการวิจัยในอุดมศึกษาและพัฒนามหาวิทยาลัยวิจัยแห่งชาติ  
สำนักงานคณะกรรมการการอุดมศึกษา

ชื่อมหาวิทยาลัย บูรพา  
ชื่อโครงการ การผลิตคุณวีดีบล็อกชนิดรับน้ำหนักจากโพอลิเมอร์จากถ่านหิน

ชื่อหัวหน้าโครงการวิจัยผู้รับทุน / ผู้วิจัย (อ./ คร./ พก./ รศ./ ศ.) วิชัย ชาลี

ภาระงานในช่วงตั้งแต่วันที่ (วัน/เดือน/ปี) 01/10/2556 ถึงวันที่ (วัน/เดือน/ปี) 30/09/2557

ระยะเวลาดำเนินการ 1 ปี เดือน ตั้งแต่วันที่ (วัน/เดือน/ปี) 01/10/2556 ถึงวันที่ (วัน/เดือน/ปี) 30/09/2557

รายจ่าย

หมวด	รายจ่ายสะสม จากรายงาน ครั้งก่อน	ค่าใช้จ่าย งวดปัจจุบัน	รวมรายจ่าย สะสมจนถึง งวดปัจจุบัน	งบประมาณ	คงเหลือ
				รวมทั้งโครงการ	(หรือเกิน)
1. ค่าตอบแทน	0.00	0.00	0.00	0.00	0.00
2. ค่าจ้าง	30,000	30,000	60,000	60,000	0.00
3. ค่าวัสดุ	40,000	20,000	60,000	60,000	0.00
4. ค่าใช้สอย	92,000	112,000	204,000	204,000	0.00
5. ค่าใช้จ่ายอื่นๆ	18,000	18,000	36,000	36,000	0.00
(โปรดระบุเป็นข้อย่อย) (ค่าเงินทุนอุดหนุนการวิจัยของมหาวิทยาลัยเป็นค่าสาธารณูปโภค					
รวม	180,000	180,000	360,000	360,000	0.00

จำนวนเงินที่ได้รับและจำนวนเงินคงเหลือ

จำนวนเงินที่ได้รับ

งวดที่ 1	180,000	บาท เมื่อ ต.ค. 2556
งวดที่ 2	144,000	บาท เมื่อ มิ.ย. 2557
รวม	324,000	บาท

ลงนามหัวหน้าโครงการวิจัยผู้รับทุน

ลงนามเจ้าหน้าที่การเงินโครงการ

ภาคผนวก ค  
ประวัตินักวิจัย

## ประวัติผู้วิจัย

### หัวหน้าโครงการวิจัย

ชื่อ – นามสกุล (ภาษาไทย)	นายวิเชียร ชาลี
ชื่อ – นามสกุล (ภาษาอังกฤษ)	Mr. Wichian Chalee
ตำแหน่งปัจจุบัน	ผู้ช่วยศาสตราจารย์

หน่วยงานที่อยู่ที่สามารถติดต่อได้สะดวก

ภาควิชาวิศวกรรมโยธา คณะวิศวกรรมศาสตร์  
มหาวิทยาลัยบูรพา อ.เมือง จ.ชลบุรี 20131  
โทรศัพท์ 038-102-222 ต่อ 3356  
โทรสาร 038-102-222 ต่อ 3355  
E-mail [wichian@buu.ac.th](mailto:wichian@buu.ac.th)

### ประวัติการศึกษา

ปริญญาตรี วิศวกรรมศาสตรบัณฑิต (วิศวกรรมโยธา) มหาวิทยาลัยขอนแก่น พ.ศ. 2541  
ปริญญาโท วิศวกรรมศาสตรมหาบัณฑิต (วิศวกรรมโยธา) มหาวิทยาลัยเทคโนโลยีพระจอมเกล้าธนบุรี  
พ.ศ. 2546

ปริญญาเอก วิศวกรรมศาสตรดุษฎีบัณฑิต (วิศวกรรมโยธา) มหาวิทยาลัยเทคโนโลยีพระจอมเกล้า

ธนบุรี พ.ศ. 2550

### สาขาวิชาการที่มีความชำนาญพิเศษ

วัสดุก่อสร้าง, คุณคิตรสมวัสดุป้องโชลนและถาวร, ความคงทนของคอนกรีต

## ผลงานวิชาการ

### บทความวิจัยที่คีพิมพ์ในวารสารวิจัยระดับนานาชาติ

- 1) T. Cheewaket, C. Jaturapitakkul and W. Chalee, "Concrete durability presented by acceptable chloride level and chloride diffusion coefficient in concrete—10-year results in marine site", *Materials and Structures (Article in Press)* (impact factor = 1.184)
- 2) P. Chindaprasirt and W. Chalee, "Effect of sodium hydroxide concentration on chloride penetration and steel corrosion of fly ash-based geopolymers concrete under marine site", *Construction and Building Materials* 63, 2014, pp. 303–310
- 3) W. Chalee1, T. Sasakul, P. Suwanmaneechot, and C. Jaturapitakkul, "Utilization of rice husk-bark ash to improve the corrosion resistance of concrete under 5-year exposure in a marine environment", *Cement and concrete composites* 37, 2013, pp. 47–53 (impact factor = 2.523)
- 4) T. Cheewaket, C. Jaturapitakkul and W. Chalee, "Initial corrosion presented by chloride threshold penetration of concrete up to 10 year-results under marine site", *Construction and Building Materials* 37, 2012, pp. 693–698 (impact factor = 2.293)
- 5) Rattapon Somna, Chai Jaturapitakkul, Pokpong Rattanachu, Wichian Chalee, "Effect of ground bagasse ash on mechanical and durability properties of recycled aggregate concrete", *Materials and Design* 36, 2012, pp. 597–603 (impact factor = 2.913)
- 6) Rattapon Somna, Chai Jaturapitakkul, Wichian Chalee, Pokpong Rattanachu, "Effect of W/B ratio and ground fly ash on properties of recycled aggregate", *ASCE's Journal of Materials in Civil Engineering*, 24, 2012, pp. 16-22 (impact factor = 0.898)
- 7) T. Cheewaket, C. Jaturapitakkul and W. Chalee, 2010, "Long term performance of chloride binding capacity in fly ash concrete in a marine environment", *Construction and Building Materials* 24 (2010) 1352–1357 (impact factor = 2.293)
- 8) W. Chalee, P. Ausapanit and C. Jaturapitakkul, 2010, "Utilization of fly ash concrete in marine environment for long term design life analysis", *Materials and Design* (2010) 31 : pp. 1242-1249 (Impact factor = 2.913)

- 9) C. Sanawong and W. Chalee, 2010, "Water permeability in fly ash based geopolymers concrete", J. of Civil engineering and architecture 4 (2010) 15-19
- 10) W. Chalee and C. Jaturapitakkul\*, 2009, "Effect of W/B ratios and fly ash finenesses on chloride diffusion coefficient of concrete in marine environment", Materials and Structures (2009) 42 : pp. 505-514 (Impact factor = 1.184)
- 11) W. Chalee, C. Jaturapitakkul\*, and P. Chindaprasirt' 2009 "Predicting the chloride penetration of fly ash concrete in seawater" Marine Structures, 22, 2009, pp.341-353 (Impact factor = 1.333)
- 12) Prinya Chindaprasirt, Wichian Chalee, Chai Jaturapitakkul, and Ubolluk Rattanasak\*, 2009, "Comparative study on the characteristics of fly ash and bottom ash geopolymers ,," Waste Management, Vol.29, No. 2, pp 539-543. (Impact factor = 1.338)
- 13) Chalee, W., Teekavanit, M., Kiattikomol, K., Siripanichgorn, A., and Jaturapitakkul, C.\*, 2007, "Effect of W/C ratio on covering depth of fly ash concrete in marine environment," Construction and Building Materials, Vol.21, No.5, pp. 965-971 (Impact factor = 2.293)

#### บทความวิจัยที่ตีพิมพ์ในวารสารวิจัยระดับชาติ

- 1) มนเทียร ทีมวานิช, ประสิทธิ์ อุตส่าห์พาณิช, วิเชียร ชาลี, เอนก ศิริพาณิชกร, ชัย ชาตรพิทักษ์กุล และไกร วุฒิ เกียรติโภณล, 2549, "ผลการทดสอบของน้ำทะเลต่อการซึมผ่านของคลอไรด์ และการเกิดสนิมเหล็กในคอนกรีตที่ผสมถ่านหิน" วิศวกรรมสารฉบับวิจัยและพัฒนา, ปีที่ 17, ฉบับที่ 2
- 2) วิเชียร ชาลี, มนเทียร ทีมวานิช, ประสิทธิ์ อุตส่าห์พาณิช และ ชัย ชาตรพิทักษ์กุล, 2550, "ผลการทดสอบของน้ำทะเลต่อกำลังอัด, การซึมผ่านของคลอไรด์ และการกัดกร่อนของเหล็กเสริมในคอนกรีตที่ผสมถ่านหินที่อยู่ในสภาพแวดล้อมทะเลเป็นเวลา 4 ปี" วารสารฉบับวิจัยและพัฒนา มจช., ปีที่ 30, ฉบับที่ 1, หน้า 153-166.
- 3) อุบลลักษณ์ รัตนศักดิ์, วิเชียร ชาลี, และ ปริญญา จินดาประเสริฐ, 2549, "การศึกษาการซึมถ่านหินลิกไนต์ และกำลังอัดของวัสดุจีโอพอลิเมอร์จากถ่านหิน," วารสารฉบับวิจัยและพัฒนา มจช., ปีที่ 29, ฉบับที่ 4, หน้า 437-446.
- 4) ปิยพงษ์ สุวรรณ์มนี โชค, ขาวชัย สาสกุล, วิเชียร ชาลี และชัย ชาตรพิทักษ์กุล, 2551, "ผลการทดสอบของน้ำทะเลต่อคอนกรีตปูนซีเมนต์ปอร์ตแลนด์ประเภทที่ 1 และประเภทที่ 5 ผสมถ่านหินจากระบบฟลูอิดไดซ์เบด", วารสารวิจัยและพัฒนา มหาวิทยาลัยเทคโนโลยีพระจอมเกล้าธนบุรี, ปีที่ 31, ฉบับที่ 2, หน้า 357-370.

- 5) วิเชียร ชาลี และ อุบลลักษณ์ รัตนศักดิ์, 2552, “การศึกษาสมบัติความคงทนของวัสดุจีโอพอลิเมอร์จากถ่านเตา”, Burapha Sci., J.14 (1) หน้า 47-55
- 6) ชринทร์ เสนาวงษ์, เกียรติสุดา สมนา และ วิเชียร ชาลี, 2553, “กำลังอัดและกำลังยึดเหนี่ยวของจีโอพอลิเมอร์คอนกรีตจากถ่านหิน”, Burapha Sci., J.15 (1) หน้า 13-22
- 7) ชринทร์ เสนาวงษ์ และ วิเชียร ชาลี, 2554, “การแทรกซึมของคลอไรด์ในจีโอพอลิเมอร์คอนกรีตจากถ่านหินภายใต้สภาวะแวดล้อมทะเล”, วารสารวิชาการพระจอมเกล้าฯ พระนครเหนือ 21 (2) : 187-195
- 8) กิตติกร เจริญพร้อม และ วิเชียร ชาลี, 2554, “ความลึกของการแทรกซึมคลอไรด์ในคอนกรีตที่แข็งในสิ่งแวดล้อมทะเล”, วารสารวิชาการพระจอมเกล้าฯ พระนครเหนือ 21 (3) : 257-266
- 9) วิเชียร ชาลี และ ชัย ชาตรพิทักษ์กุล, 2554, “ความสามารถในการกัดกีบคลอไรด์ในคอนกรีตที่ผสมถ่านเกล็นเปลือกไม้มภายใต้สภาวะแวดล้อมทะเล”, วารสารวิจัยและพัฒนามหาวิทยาลัยเทคโนโลยีพระจอมเกล้าธนบุรี 34 (3) : 203-213
- 10) วิเชียร ชาลี และ ชัย ชาตรพิทักษ์กุล, 2554, “ปริมาณคลอไรด์วิกฤตของคอนกรีตที่ผสมถ่านหินภายใต้สิ่งแวดล้อมทะเล”, วารสารวิชาการเทคโนโลยีอุตสาหกรรม ปีที่ 7 ฉบับที่ 1 มกราคม – มิถุนายน 2554 หน้า 21-28
- 11) วิเชียร ชาลี และ ชัย ชาตรพิทักษ์กุล, 2554, “การปรับปรุงความคงทนของคอนกรีตในสภาวะแวดล้อมทะเลโดยใช้ถ่านหิน”, Burapha Sci. J. 16 (2) : 51-62
- 12) ปิยพงษ์ สุวรรณณ์ โขติและ วิเชียร ชาลี, 2555, “การแทรกซึมของคลอไรด์และการกัดกร่อนเหล็กในคอนกรีตปูนซีเมนต์ปอร์ตแลนด์ประเภทที่ 5 ผสมถ่านหินที่ได้จากการเผาแบบฟลูอิด ไดซ์เบดและพูลเวอร์ไรซ์ ภายใต้สิ่งแวดล้อมทะเล”, วารสารวิชาการพระจอมเกล้าฯ พระนครเหนือ 22 (3), 2555: 1-13
- 13) วิเชียร ชาลี และ กิตติกร เจริญพร้อม, 2555, “การดำเนินการกัดกร่อนเนื่องจากชั้นเฟตของจีโอพอลิเมอร์คอนกรีตจากถ่านหิน”, วารสารวิจัยและพัฒนามหาวิทยาลัยเทคโนโลยีพระจอมเกล้าธนบุรี 35(2), หน้า 157-170
- 14) พัชกร แนบทอง, วิเชียร ชาลี, 2555, “การใช้แกลเลียมคาร์ไบด์ที่ไม่ผ่านการบดในงานคอนกรีต”, Burapha Sci. J. 17(2) : 38-49
- 15) วิเชียร ชาลี และ ธีรพงศ์ เชื้อพลบ, 2556, “การประเมินการแทรกซึมของคลอไรด์ในคอนกรีตที่ผสมถ่านหินภายใต้สภาวะแวดล้อมทะเลเดควยคลีนอัลตร้าโซนิก”, วารสารวิจัยและพัฒนามหาวิทยาลัยเทคโนโลยีพระจอมเกล้าธนบุรี -36(2), หน้า 197-213
- 16) วิเชียร ชาลี, 2556, “ระดับคลอไรด์วิกฤตในคอนกรีตที่ผสมถ่านเกล็นเปลือกไม้ที่แข็งในสภาวะแวดล้อมทะเล” วารสารวิทยาศาสตร์บูรพา 18(2), หน้า 132-143

- 17) กิรติกร เจริญพร้อม, วิเชียร ชาลี, 2556 “ความสัมพันธ์ระหว่างสัมประสิทธิ์การซึมผ่านน้ำกับสัมประสิทธิ์การแทรกซึมของคลอไรด์ในคอนกรีตหลังแช่น้ำทะเล 10 ปี”, วารสารวิชาการพระจอมเกล้าฯ พระนครเหนือ 23 (1): 107-119
- 18) วิกนกนเณตร จื่นนกคุ้ม วริศรา โกระวิโยธิน และ วิเชียร ชาลี, 2557 “ผลของการเพิ่มน้ำหนักสารละลายโซเดียมไฮดรอกไซด์ต่ออัตราการหลงองน้ำและการล้างอัดของจีโอพอลิเมอร์คอนกรีตพูนจากถ่านหิน” วารสารวิชาการพระจอมเกล้าฯ พระนครเหนือ (ตอบรับดีพิมพ์)

### บทความประทับใจการประชุมสัมนาทางวิชาการระดับนานาชาติ

- 1) W. Chalee, P. Suwanmaneechot and C. Jaturapitakkul (2011). CORROSION PERFORMANCE OF CONCRETE CONTAINING RICE HUSK-BARK ASH UNDER 5-YEAR EXPOSURE IN MARINE SITE. Modern Methods and Advances in Structural Engineering and Construction ISEC-6, Zurich, June 21-26, 21-28.
- 2) Koonthong, S., Chawkitchareon, P., and Chalee, W. (2010). Compressive strength and thermal conductivity of concrete masonry block containing plastic label waste. The 3rd Technology and Innovation for Sustainable Development International Conference, TISD 2010, Thailand, pp.801-804
- 3) Yimsiri, S. and Chalee, W. (2010). Damage of reinforced concrete building due to adjacent deep excavation. 3<sup>rd</sup> ASEAN Civil Engineering Conference, 3ACEC, Manila, Philippine
- 4) Suwanmaneechot, P., Jaturapitakkul, C., and Chalee, W. (2009). Chloride penetration of concrete containing rice husk-bark ash in marine exposure site. 4th International Conference in Construction Materials: Performance, Innovstions and Structural Implications, Nagoya, Japan, pp. 725-730, 725-730.
- 5) Chalee, W. and Jaturapitakkul, C. (2008). Long Term Performance of Fly Ash Concrete in Marine Environment. The 8th ISOPE Pacific/Asia Offshore Mechanics Symposium, Bangkok, Thailand, 11th-14th November 2008, pp. 178-182
- 6) T. Klabprasit, C. Jaturapitakkul, W. Chalee, P. Chindaprasirt and S. Songpiriyakij (2008). Influence of Si/A1 ratio on Compressive Strength of Rice Husk-Bark Ashes and Fly Ash-based Geopolymer Paste. The 3rd ACF international conference ACF/VCA, Rex Hotel, Ho Chi Minh City, Vietnam, November 11-13, 2008, pp 151-157

## บทความประคองการประชุมสัมนาทางวิชาการระดับชาติ

- 1) นำพล บุตรเชื้อไทย เที่ยง ชีวะเกตุ และ วิเชียร ชาลี, 2556, “การแทรกซึมของคลอไรด์ในคอนกรีตที่ทำจากมวลรวมจากเศษคอนกรีตที่ผสมถ่านหินภายใต้สภาวะแวดล้อมทะเล”การประชุมวิชาการ โยธาแห่งชาติ ครั้งที่ 18, 8-10 พฤษภาคม 2556 อำเภอเมือง จังหวัดเชียงใหม่ หน้า MAT113-MAT118.
- 2) วิชัย พรมรักษ์, อภิชาติ ทุมสุด และ วิเชียร ชาลี, 2556, “การป้องกันการกัดกร่อนของคอนกรีตเสริมเหล็กในสิ่งแวดล้อมทะเลโดยใช้กากแคลเซียมคาร์บอเนต”การประชุมวิชาการ โยธาแห่งชาติ ครั้งที่ 18, 8-10 พฤษภาคม 2556 อำเภอเมือง จังหวัดเชียงใหม่ หน้า MAT107-MAT112
- 3) กีรติกร เจริญพร้อม เที่ยง ชีวะเกตุ วิเชียร ชาลี, 2556, “ผลของถ่านปาล์มน้ำมันต่อสัมประสิทธิ์การแทรกซึมของคลอไรด์ในคอนกรีตภายใต้สภาวะแวดล้อมทะเล”การประชุมวิชาการ โยธาแห่งชาติ ครั้งที่ 18, 8-10 พฤษภาคม 2556 อำเภอเมือง จังหวัดเชียงใหม่ หน้า MAT234-MAT238
- 4) กีรติกร เจริญพร้อม เที่ยง ชีวะเกตุ ชัย ชาตรพิทักษ์กุล และ วิเชียร ชาลี, ๒๕๕๔, “การแทรกซึมของคลอไรด์ในคอนกรีตที่ผสมถ่านปาล์มน้ำมันบดละเอียดที่แช่ในสิ่งแวดล้อมทะเล”การประชุมวิชาการ คอนกรีตประจำปีครั้งที่ 7, 19-21 ตุลาคม 2554 อำเภอเมือง จังหวัดระยอง หน้า MAT94-MAT100.
- 5) วิเชียร ชาลี, ปิยพงษ์ สุวรรณณ์โภติ, ชัย ชาตรพิทักษ์กุล และ รัชชัย สาสกุล 2553, “ผลของถ่านถ่านหิน ที่ 3 แหล่งต่อการดำเนินการการแทรกซึมของคลอไรด์ในคอนกรีตที่แช่ในน้ำทะเล”, การประชุมวิชาการคอนกรีตประจำปีครั้งที่ 6, 20-22 ตุลาคม 2553 อำเภอชะอำ จังหวัดเพชรบูรณ์ หน้า 40-48.
- 6) ชรินทร์ เสนาวงษ์ อิทธิพล วีไลลักษณ์และ วิเชียร ชาลี, 2552, “การทำคอนกรีตบล็อกชนิดรับน้ำหนักจากถ่านกันเตาระบบฟลูอิดไดซ์เบด”, การประชุมวิชาการวิศวกรรมโยธาแห่งชาติครั้งที่ 14, 13-15 พฤษภาคม 2552, มหาวิทยาลัยเทคโนโลยีสุรนารี หน้า 1587-1592
- 7) ชรินทร์ เสนาวงษ์ เกียรติสุค่า สมนา บริญญา จินดาประเสริฐ และ วิเชียร ชาลี, “คุณสมบัติเชิงกลของจีโอพอลิเมอร์คอนกรีตจากถ่านหิน”, การประชุมวิชาการคอนกรีตประจำปี ครั้งที่ 5, 20-22 ตุลาคม 2552
- 8) ศิชน คุณทอง เพ็ชรพร เชาวกิจเจริญ และ วิเชียร ชาลี, “ขนาดของเสียประเภทลากพาลสติกที่เหมาะสมในการทำคอนกรีตมวลเบา”, การประชุมวิชาการวิทยาศาสตร์ วิศวกรรม และการจัดการสิ่งแวดล้อมครั้งที่ 1, 22-23 กันยายน 2552, จุฬาลงกรณ์มหาวิทยาลัย, หน้า 39-44

- 9) ศิชน คุณทอง เพ็ชรพร เชาวกิจเจริญ และ วิเชียร ชาลี, “ปริมาณของเสียประเภทลากพาสติกที่เหมาะสมในการหากอนกรีตมวลเบา”, การประชุมวิชาการวิทยาศาสตร์ และเทคโนโลยีแห่งประเทศไทยครั้งที่ 35, 15-17 ตุลาคม 2552, เดอะไทร์สอร์ท ชลบุรี
- 10) P. Suwanmaneechot , C. Jaturapitakkul and W. Chalee , 2551, “Water permeability of fly ash concrete in marine environment”, การประชุมวิชาการคอนกรีตและจีโอพอลิเมอร์แห่งชาติครั้งที่ 2, 5-6 กันยายน 2551, คณะวิศวกรรมศาสตร์ มหาวิทยาลัยขอนแก่น หน้า 49-55.
- 11) รัฐพล สมนา วิเชียร ชาลี และ ชัย จาตุรพิทักษ์กุล, 2551, “ผลกระทบของเดือด้านหิน 3 แหล่ง ต่อกำลังอัดของมอร์ตาร์ในสารละลายแมกนีเซียมชัลไฟฟ์”, การประชุมวิชาการคอนกรีตและจีโอพอลิเมอร์แห่งชาติครั้งที่ 2, 5-6 กันยายน 2551, คณะวิศวกรรมศาสตร์ มหาวิทยาลัยขอนแก่น หน้า 107-112.
- 12) วิเชียร ชาลี และ ชัย จาตุรพิทักษ์กุล, 2551, “ความสัมพันธ์ระหว่างการแทรกซึมของคลอไรด์โดยวิธีเร่งกับสัมประสิทธิ์การแทรกซึมของคลอไรด์ในคอนกรีต”, การประชุมวิชาการคอนกรีตและจีโอพอลิเมอร์แห่งชาติครั้งที่ 2, 5-6 กันยายน 2551, คณะวิศวกรรมศาสตร์ มหาวิทยาลัยขอนแก่น หน้า 66-72.
- 13) วิเชียร ชาลี และ ชัย จาตุรพิทักษ์กุล, 2550, “สัมประสิทธิ์การแทรกซึมของคลอไรด์ในคอนกรีตที่ผสมเดือด้านหินที่แข็งในสภาพแวดล้อมทะเล”, การประชุมวิชาการคอนกรีตแห่งชาติครั้งที่ 3, 24-26 ตุลาคม 2550, โรงแรมลองบีช การเด็น โซเทล แอนด์ สปา, พัทยา ชลบุรี หน้า 103-109
- 14) นวัชชัย สาสกุล , ปิยพงษ์ สุวรรณมณี โขติ, วิเชียร ชาลี, ชัย จาตุรพิทักษ์กุลและ เอกชัย ภักรวงศ์ ไพบูลย์, 2550, “กำลังอัดและการซึมผ่านคลอไรด์ในคอนกรีตที่ใช้เดือด้านหินแทนที่ปูนซีเมนต์ปอร์ตแลนด์ประเภทที่ 5 ในสภาพแวดล้อมทะเล”, การประชุมวิชาการ โยธาแห่งชาติครั้งที่ 12, 2-4 พฤษภาคม 2550, โรงแรมอมรินทร์ลากูน จ. พิษณุโลก หน้า 41-46

### บทความวิชาการ

- 1) วิเชียร ชาลี และ ชัย จาตุรพิทักษ์กุล, 2552, “คอนกรีตในสภาพแวดล้อมทะเล” โยธาสาร (วิศวกรรมสถานแห่งประเทศไทย), ปีที่ 20, ฉบับที่ 6. หน้า 82-89.
- 2) วิเชียร ชาลี, 2552, “ความคงทนของคอนกรีตในสภาพแข็งตัว” พัฒนาเทคนิคศึกษา, มจพ, ปีที่ 21, ฉบับที่ 69. หน้า 11-17.
- 3) วิเชียร ชาลี, 2554, “อายุการใช้งานของโครงสร้างคอนกรีตเสริมเหล็กในสิ่งแวดล้อมทะเล” โยธาสาร (วิศวกรรมสถานแห่งประเทศไทย), ปีที่ 23, ฉบับที่ 2. หน้า 1-6.